

МИНИСТЕРСТВО ГЕОЛОГИИ СССР  
ОБЪЕДИНЕНИЕ «ГИДРОСТЕГЕОЛОГИЯ»

Уч. № 0160

Экз. № 639

# ГЕОЛОГИЧЕСКАЯ И ГИДРОГЕОЛОГИЧЕСКАЯ КАРТЫ СССР

МАСШТАБА 1:200 000

СЕРИЯ МОСКОВСКАЯ

Лист О-37-ХХII

## Объяснительная записка

Составители: А. А. Мелек, А. И. Евсценков, Н. И. Кусалова

Редакторы: Н. С. Ильина, Н. В. Родионов

Утверждено Научно-редакционным советом ВСЕГЕИ 20 июля 1967 г.,  
протокол № 26 и гидрогеологической секцией Научно-редакционного  
совета ВСЕГЕИ при ВСЕГИГЕО 19 апреля 1968 г., протокол № 5

МОСКВА 1986

## О ГЛАВЛЕНИЕ

	Стр.
Введение . . . . .	5
Стратиграфия . . . . .	13
Тектоника . . . . .	62
Геоморфология . . . . .	69
Полезные ископаемые . . . . .	78
Подземные воды . . . . .	89
Общая характеристика подземных вод . . . . .	89
Основные гидрогеологические закономерности . . . . .	121
Народнохозяйственное значение подземных вод . . . . .	128
Литература . . . . .	129
Приложения . . . . .	137

## ВВЕДЕНИЕ

Территория листа 0-37-ХШ, ограниченная координатами 57°20' - 58°00' с.ш. и 40°00' - 41°00' в.д., расположена в Нерехтском и Костромском районах Костромской области, Некрасовском, Ярославском и Даниловском районах Ярославской области.

В о р о г р а ф и ч е с к о м о т н о ш е н и и терри-  
тория листа подразделяется на три района. На северо-западе выде-  
ляется первый из них - Даниловская гряда, являющаяся северо-вос-  
точным продолжением Угличской возвышенности и представляющая со-  
бой густо расщеленную холмисто-грядовую моренную равнину с  
абс. высотами 160-200 м. Вторым районом является долины рек Вол-  
ги и Костромы, входящие в состав Костромской низины, протягиваю-  
щейся на север за пределы описанной территории вплоть до г.Буя.  
Низина заболочена, и в центральной части ее располагаются озера.

Часть Костромской низины затоплена вследствие подпора вод  
р.Волги плотиной Горьковской ГЭС, в результате чего образовалось  
Костромское водохранилище. Третий район - правобережье р.Волги -  
отличается пологохолмистым ледниковым рельефом, расщеленным со-  
временной речной сетью рек Кубани, Черной, Солоницей и др. Пре-  
обладающие абс. высоты поверхности здесь 130-160 м, максимальная  
высота - 197,3 м.

К л и м а т характеризуется холодной продолжительной снеж-  
ной зимой и коротким умеренно теплым довольно влажным летом.  
Среднегодовая температура воздуха +3°20'. Средняя многолетняя тем-  
пература июля +17,6°, января -11,7°, абсолютный максимум  
июля +35°, абсолютный минимум января -50°. Снеговой покров дер-  
жится с середины ноября до середины апреля. Толщина его в сред-  
нем 50 см. Почва промерзает на глубину 0,8-1,0 м. Годсподствующи-  
ми ветрами являются юго-западные, которые приносят значительные  
количества влаги, обуславливавшие летом дождливую и прохладную  
погоду, а зимой снегопады. В среднем за год выпадает 554 мм  
осадков, половина которых приходится на период с июня по сен-

тябрь включительно. При малой годовой испаряемости (300-350 мм, из которых до 75% падает на вегетационный период) создается положительный баланс влаги, что особенно имеет место осенью, а в дождливые годы нередко и летом. Все это содействует обильному половенному и грунтовому стоку, а также развитию болот. Образование последних особенно способствует наличие обширных выровненных площадей с неглубоким залеганием глины и суглинков, отличающихся слабыми фильтрационными свойствами.

В 1959-1960 гг. средние годовые расходы воды на р.Солонице у с.Бортиково и р.Касть у д.Рыбово были равны 3,37 и 2,05 м<sup>3</sup>/с. Наибольшие расходы наблюдались 14-16 апреля и достигали соответственно 102 и 79,5 м<sup>3</sup>/с, наименьшие (16-17 июня, 17-19 июля на р.Солонице и 31 июля - 2 августа на р.Касть) - 1,08 и 0,2 м<sup>3</sup>/с.

В период 1941-1960 гг. средние годовые уровни воды на Волге у г.Костромы и на Костромском водоканале составляли 375 и 394 см над кулем графика. Высота паводка в тех же пунктах и на р.Солонице у д.Бортиково отмечалась на уровне 432, 532 и 512 см, межени - 175, 251, 407 см. Начало весеннего ледохода на р.Солонице в 1941-1960 гг. наблюдалось 1-25 апреля, продолжительность ледохода 3-7 дней; замерзание р.Солоницы происходило в срок 25 октября - 26 ноября (в среднем - 12 ноября). На р.Волге до затопления счищение льда наблюдалось в срок 18 апреля - 1 мая (в среднем 23 апреля), замерзание 20 октября - 27 декабря (в среднем 20 ноября) х.

Территория листа расположена в лесной зоне, в подзоне тайги с почвами подзолистого типа. Леса занимают около 35% площади.

Мощность почвенного покрова не превышает 1 м.

Площадь листа достаточно обширна. Наиболее крупные населенные пункты: города Кострома и Нерехта, рабочий поселок Красный Профинтерн, райцентр - пос.Некрасовское, ж.-д.ст.Бурмакино. В сельском хозяйстве основное значение имеют льноводство и молочное животноводство. Промышленность (лесная, текстильная, деревообрабатывающая, торфодобывальная, пищевая и металлопромышленная) сосредоточена в Костроме, Нерехте, Красном Профинтерне, Некрасовском, Толбухине, Косынине.

Иго-западную часть территории пересекают участок железной дороги Ленинград - Горький, восточную - Москва - Киров, северо-западную - участок основной магистрали Северной железной дороги.

Х/ Данные для гидрологической характеристики взяты из Гидрологического ежегодника (1963) и статьи Г.Г.Еремина (1930).

Кроме того, имеется местная железнодорожная линия - Ярославль - Красный Профинтерн. Шоссейная дорога соединяет Кострому с Ярославлем, а улучшенные грунтовые дороги - Кострому с Нерехтой, Туношонку с Бурмакиным, Нерехту с г.Фурмановым. На левом берегу р.Волги имеются лишь грунтовые дороги, которые временами недоступны для автомобильного транспорта. Существенное значение имеет навигация по рекам Волге и Костроме. В зоне подтопления Костромского водохранилища в летнее время единственными средствами сообщения являются лодки и вертолеты.

Многочисленные и разнообразные геологические исследования территории листа 0-37-ХХХ ведутся с 1885 г. по настоящее время. По методике и целенаправленности они могут быть подразделены на пять групп. К первой группе относятся маршрутные и мелкомасштабные исследования общего характера, оправившиеся в основном на описание обнажений (1885-1925 гг.). Вторая группа включает связанные с инженерно-геологическими и гидрогеологическими исследованиями средне- и крупномасштабные съемки (1:200 000, 1:420 000, 1:1 000 000, 1:50 000, 1:84 000) с бурением до глубины 70 м (и дальними скважинами в г.Костроме и пос.Некрасовском до 200 м) участков долины р.Волги (1927-1952 гг.). В третью группу входят работы по полезным ископаемым (1937-1963 гг.). В четвертую - работы, посвященные выявление глубинного строения: структурное бурение и геофизические исследования (1947-1964 гг.). В пятую - сводные геологические и гидрогеологические работы (1940-1964 гг.), в том числе геологические карты масштабов 1:1 000 000, 1:500 000, 1:200 000, 1:420 000.

Из мелкомасштабных и маршрутных исследований наибольшее значение имели труды К.О.Мишаевича (1880) и С.Н.Никитина (1884, 1885). К.О.Мишаевич на основании фактических расчленений верхнепреречинских отложений на ярусы и горизонты, а С.Н.Никитин, продолживший исследования К.О.Мишаевича, дополнил стратиграфическую схему меловых и верхнепреречинских отложений. С.Н.Никитин был составлены геологические карты масштаба 1:420 000, на которых, на основании факта выявки соли из соляных источников, впервые было показано распространение пермо-триасовых отложений в устье р.Солоницы у пос.Некрасовское и с.М.Соли.

Подчине, А.П.Ивановым (1910) и М.А.Вейденбаумом (1923, 1925) было отмечено широкое развитие среднего кембрия в окрестностях г.Костромы. М.А.Вейденбаумом было установлено присутствие киммерийских отложений, распространение которых С.Н.Никитин отрицал. Нижний мел он подразделял на неоком и апт, тогда как

Е.Д.Солкина и Н.А.Сапрыкина (1925 г.) все нижнемеловые отложения относили только к горизив-баррему. Однако за алтские отложения М.А.Вейценбаум принимал белые пески неогенового и четвертичного возраста.

Средне- и крупномасштабные съемки (1:200 000, 1:100 000, 1:50 000, 1:84 000 и др.) с бурением в основном до 70 м проводились с 1927 по 1952 г. на отдельных участках р.Волги, в связи с инженерно-геологическими и гидрогеологическими изысканиями для строительства плотин и водоснабжения городов Костромы и Ярославля (В.В.Штильмарк и В.П.Гричук, 1931 г., Н.В.Родионов, 1932 г.; А.И.Кашлачев, 1932 г.; В.В.Попов, 1934 г.; Г.Я.Бородлев и Е.Е.Соколова, 1941 г.; В.Г.Хименков, 1947 г.; В.А.Сутягин, 1952 г.; И.К.Акимов, 1952 г.), а также выбора места заложения глубокой структурной скважины в пос.Некрасовское - с.Мал.Соли (В.П.Ступаков, 1952 г.; В.А.Сутягин, 1952 г.).

Скважинами были вскрыты четвертичные, нижнемеловые, верхнеюрские и нижнетриасовые отложения. Материал этот позволил уточнить распространение мезозойских и четвертичных отложений в пределах долины р.Волги. В.В.Штильмарком и В.П.Гричуком было отмечено отсутствие в долине р.Волги осадков верхнего кимериджа и волжских ярусов, а В.В.Поповым впервые установлено развитие горизонтов-барремских отложений на отдельных участках между г.Костромой и пос.Некрасовским при отсутствии их непосредственно западнее г.Костромы. В.П.Ступаковым на основании геологической съемки масштаба 1:200 000 в долине р.Волги, от с.Некрасовского до устья р.Кубани, была составлена геологическая карта дочетвертичных отложений. За недостатком материала эта карта страдает схематичностью и неточностью. Верхнерусские отложения не расчищены, а в с.Малые Соли показаны триасовые отложения, в действительности перекрытые здесь ирой.

Вопросы тектоники освещались В.В.Поповым, В.Г.Хименковым, В.П.Ступаковым. В.В.Попов и В.Г.Хименков отметили высокое залегание кровли юры и перво-триаса в районе г.Костромы с погружением их на север и запад от р.Солоницы. Они указали также на наличие между Ярославлем и Костромой древней тектонической депрессии, формировавшейся в палеозойское и мезозойское время, осложненной последующей эрозией. В.П.Ступаковым было отмечено резкое погружение мезозойских отложений на север и запад от пос.Некрасовского, наличие здесь флексураобразного перегиба и глубоких трещин, с которыми он связывал выходы минерализованных пермских вод по р.Солонице. На существование этого раскола указывал ранее по р.Солонице. На существование этого раскола указывал ранее (1950 г.) также М.А.Гаталинский. По кривле оксфорда В.П.Ступаков

были выделены Большесольское и Костромское поднятия, разделенные небольшим прогибом. На основе анализа палеогеографии и литологии палеозойских образований по глубоким скважинам В.П.Ступаковым (1952 г.) были представлены общие соображения о перспективах нефтегазоносности изученной им части территории листа 0-37-ХIII.

Строение долины р.Волги наиболее правильно отрезил В.Г.Хименков, выделивший пойму и две надпойменные террасы, а также И.К.Акимов, установивший, что первая надпойменная терраса в районе Костромской низины подстлается не только глинистыми и флювиогляциальными, но и озерными образованиями.

Описание четвертичных отложений, расщлененных по стратиграфической схеме Г.Ф.Мирчинка, было дано в отчетах Н.В.Родионова (1932 г.), Г.Я.Бородлева и Е.Е.Соколовой (1941 г.), И.К.Акимова (1952 г.). К.К.Марков и В.П.Гричук, посетившие территорию листа 0-37-ХIII в 1931 и 1940 гг., проводили границу вадайского оледенения в 250-260 км севернее рассматриваемого района, в то время как А.И.Москвитин (1947, 1950, 1954) считал, что это оледенение заходило и в пределы северо-западной части территории листа 0-37-ХIII.

В.В.Штильмарком и В.П.Гричуком (1931 г.) впервые была составлена гидрогеологическая карта района г.Костромы (по данным бурения и откачек). Н.В.Родионов (1932 г.) установил, что наибольшее значение для водоснабжения Костромы имеют воды в межморенных отложениях, в то время как надморенные и нижнемеловые водоносные горизонты содержат малодебитные спорадически распространенные воды, а юрские глинистые породы безводны. Геологические условия минеральных источников у с.Б.Соли описаны Н.С.Щелениным (1929), А.М.Левиным (1931). Химический состав приведен в работах А.Андрюкина (1905), И.И.Горского (1926), А.М.Левина (1931), А.Н.Бунеева (1953) и др.

После С.Н.Никитина геологические карты масштаба 1:420 000 территории, частично включавшей лист 0-37-ХIII, были составлены на уровне знаний 30-х годов Д.И.Гордеевым (1933 г.) и Е.И.Сомовым (1939 г.). Карта Д.И.Гордеева мало уточняет карту С.Н.Никитина. Е.И.Сомов уделяет много внимания четвертичным отложениям и геоморфологии, дает сведения о водоносности. Е.И.Сомов присоединяется к мнению В.В.Попова о тектоническом происхождении "Ярославско-Костромской низины", существовавшей, по его мнению, уже в первом-триасе.

Изучение полезных ископаемых производилось с тридцатых годов и в первое время носило отрывочный характер. Из этих исследо-

ваний могут быть отмечены работы Н.С.Ильиной (1937 г.) по пескам и гравию у г.Нерехты, а из более поздних – отчет В.Д.Лукьянова и В.Д.Кокиной (1950 г.), охарактеризовавших ряд месторождений гравия в районе сел Иванцево, Холм, Емельяновка и др. В 1957 г. И.А.Коганом была составлена сводка полезных ископаемых Костромской области с приложением карты полезных ископаемых и плана размещения новых предприятий. В том же году для Ярославской области Л.С.Загоровой был дан обзор минерально-сырьевой базы, а С.П.Варлаховским (1959 г.) составлен справочник минеральных ресурсов строительных материалов.

Работы, посвященные выявление глубинного строения – структурное бурение и геофизические исследования, связанные с проблемой нефтегазоносности Русской платформы, ведутся с 1947 г. Опорными скважинами (в городах Солигаличе, Любиме, Вологде и др.), окружившими со всех сторон территорию листа, было определено ее положение в приосевой части палеозойской Московской синеклизы. По данным бурения, Д.Н.Утехиним и М.И.Яковлевым (ГУДР) в 1948 г. были составлен ряд структурных карт листа 0-37 масштаба 1:1000000. В 1961–1963 гг. в селах Мал.Соли и Бабайки ГУДР было пробурено три структурные скважины. Из них наиболее глубокая (№ 3-р) временно приостановлена на глубине 2798,5 м в аргиллитах волнистой серии венецкого комплекса.

Геофизические работы значительно развернулись с 50-х годов. В 1951 г. на территории листа 0-37-ХIII Н.А.Карповым (1952 г.) была произведена электроразведка (методом ВЭЗ), а в районе сел Некрасовское – Мал.Соли – детальная съемка и составлены структурные карты масштаба 1:200 000 по двум опорным горизонтам в первых отложениях. В этом же году М.Г.Шмидтом (1952 г.) по сейсморазведочным данным была составлена структурная карта почве и подошве карбона для района пос.Некрасовское – с.Мал.Соли. При этом были выявлены локальные поднятия, расположенные к юго-западу от с.Мал.Соли и в районе с.Девяшово. В 1956 г. на территории, включавшей и лист 0-37-ХIII, была выполнена аэромагнитная съемка масштаба 1:1 000 000 (Р.А.Гадаров, 1956 г.), в 1957 г. – масштаба 1:500 000 (И.И.Власова, В.Л.Соколов, 1958 г.) и в 1959 г. – масштаба 1:200 000 (В.Н.Зандер и др., 1960 г.). Р.А.Гадаровым при этом была дана карта изотипсмагнитного поля Ата, карта рельефа кристаллического фундамента и схема тектонического районирования. И.И.Власовой и В.Л.Соколовым была составлена карта магнитных аномалий Ата, захватывающая только восточную часть территории листа 0-37-ХIII. В.Н.Зандер кроме карты магнитного

поля в изолиниях АТ представил карты поверхности и велественно-го состава фундамента масштаба 1:2 500 000. В 1958–1959 гг. на основе гравитационной съемки на лист 0-37-ХIII была составлена карта изоманом сильности в редукции Буте масштаба 1:200 000 (О.М.Кабанов и др., 1959 г.; Н.Г.Гуревич, 1960 г.), а позднее А.В.Бибиковой (1964 г.) – сводная гравитационная карта листа 0-37 масштаба 1:1 000 000. В 1961 г. были проведены сейсмические исследования с точечным зондированием и профилированием корреля- и др., 1963 г.), позволившие уточнить строение поверхности фундамента в пределах территории листа 0-37-ХIII, расположенного на глубинах от 2600 до 3400 м.

На основе геофизических исследований, глубокого бурения и геологических съемок в 1963–1964 гг. были составлены тектонические схемы центральных районов Русской платформы (В.Н.Троицкий и др., 1963 г.; К.Ю.Волков и др., 1964 г.), карты поверхности кристаллического фундамента той же территории масштаба 1:500 000 и структурные карты по ряду стратиграфических горизонтов масштаба 1:200 000 (К.Ю.Волков и др., 1964 г.).

Сводные геологические карты масштаба 1:1 000 000 листа 0-37 были составлены А.А.Балтийской, Е.М.Великовской и О.А.Глико в 1940 г. Объяснительная записка составлена Б.М.Данышним. В настоящее время эта карта утратила свое значение. В 1947–1949 гг. Московским геологическим управлением (Е.М.Пирогова и др.; Е.Е.Альтовская и Е.М.Пульхриктудова) были составлены сводные геологические и гидрогеологические карты масштаба 1:500 000 листа 0-37-Г, обобщавшие накопленные к тому времени материалы по стратиграфии, тектонике, геоморфологии, гидрогеологии. В 1951–1954 гг. Д.Л.Фрухт (ВНИГИ) была выполнена компилиятивная работа по геологии Костромского Поволжья с составлением геологических карт масштаба 1:200 000. Карта листа 0-37-ХIII была неравномерно и недостаточно насыщена фактическим материалом и потому отличалась схематичностью и неточностью. Из-за отсутствия материалов по листу 0-37-ХIII такими же недостатками страдает и Геологическая карта Русской платформы со снятым покровом мезозойских и кайнозойских отложений, составленная в масштабе 1:2 500 000 Е.П.Бруис и др. (1959 г.). В 1960 г. ГУДР был вторично издан в масштабе 1:1 000 000 лист 0-37 (Е.М.Пирогова и А.И.Теперина, 1960 г.), составленный с использованием материалов опорных скважин, что позволило авторам на более современном уровне знаний осветить

строение кристаллического фундамента и древних осадочных комплексов.

В томе ГУ Геологии ССР (1948 г.) наиболее ценными для описываемого района явились разделы стратиграфии юрских (авторы П.А.Герасимов и Э.А.Константинович) и меловых (С.А.Добров) отложений. Исследования П.А.Герасимова (1948, 1955 гг.) по фауне юрских отложений явились продолжением трудов С.Н.Никитина, К.О.Миляшевича и других основоположников стратиграфии юры и мела Русской платформы, включая Ярославско-Костромское Полуостровье.

Стратиграфия триаса бассейна рек Вятки, Ветлуги, Керженца, разработанная Г.И.Бломом (1953, 1954, 1955, 1956 гг.) и В.И.Игнатьевым (1955, 1956 гг.), легла в основу расчленения триасовых отложений, принятого в настоящей записке.

В сводной работе Д.И.Гордеева (1941 г.) дана характеристика водноносных горизонтов дочетвертичных (пермских и мезозойских), в особенности, четвертичных отложений. Палеозойские водноносные горизонты охарактеризованы в монографии Г.В.Богомолова и др. (1962 г.).

С 1953 по 1958 г. ВНИГИ опубликован ряд монографий, освещающих стратиграфию, палеогеографию, тектонику, перспективы нефтегазоносности нижнепалеозойских (ред. З.П.Иванова, 1957 г.), девонских (ред. М.Ф.Филиппова, 1958 г.), каменноугольных (ред. Н.С.Ильина, 1958 г.), пермских (Т.В.Макарова, 1957 г.), мезозой-кайнозойских (ред. О.В.Флерова, 1958 г.) отложений. Крупной сводной работой является сборник, составленный коллективом ВНИГИ под редакцией С.К.Нечитайло (1957 г.).

Все перечисленные выше материалы, в том числе данные по 600 скважинам, пробуренным различными организациями, были использованы при составлении представляемых геологических и гидрогеологической карт и объяснительной записки. Были учтены также данные геологической и гидрогеологической съемок масштаба 1:200 000 территории соседних листов 0-37-ХVII, 0-37-ХXII (П.А.Большакова и др., 1963 г.) и 0-37-ХXIX (Г.В.Абрамов и др., 1960 г., 1962 г.). В основу представляемых геологических и гидрогеологической карт легла комплексная геолого-гидрогеологическая съемка масштаба 1:200 000, проведенная Вторым гидрогеологическим управлением в 1962-1964 гг. (А.И.Евсекенков, А.А.Медем, Н.И.Кусалова, 1964 г.). Съемка сопровождалась бурением 86 скважин глубиной до 50 м и 28 колонковых скважин глубиной до 265 м с гамма- и электрокар-

тажем. Одновременно проводились откачки (51 откачка), наблюдения за режимом подземных вод, вертикальное электрическое зондирование (около 20 профилей), на реках Солонице и Черной – гидрогеологические наблюдения.

На составленной в результате этих работ геологической карте дочетвертичных отложений существенно изменились, по сравнению с прежними картами, контуры распространения отложений, что обусловлено широким распространением вымытых погребенных долин. Впервые до подъяруса и горизонта расчленены нижнетриасовые отложения и выделены охарактеризованные спорами и пыльцой алт и неоген. Расчленение четвертичных отложений получило палинологическое обоснование. Впервые составлены геологическая карта четвертичных отложений и гидрогеологическая карта.

В настоящей объяснительной записи характеристика древних осадочных комплексов волынской и валдайской серий, кембрия, девона и карбона приведена по роторной скважине 3-Р (с.Мал.Соли), по предварительным данным. Стратиграфическое расчленение отложений этого возраста произведено комиссией ГУДР и ВНИГИ на основании литологических признаков и характера электрокаротажной диаграммы, в сопоставлении с оторванными скважинами центральной части Русской платформы. Описание оренбургского яруса карбона, а также перми до татарского яруса включительно дано по структурно-картировочной скважине 3-К (В.А.Васильев, 1962 г.), татарского яруса и более молодых отложений – по материалам геологической съемки Второго гидрогеологического управления (А.И.Евсекенков, А.А.Медем, Н.И.Кусалова, 1964 г.). В настоящей записи введение, стратиграфия дочетвертичных отложений и тектоника написаны А.А.Медем, стратиграфия четвертичных отложений, геоморфология и полезные ископаемые – А.И.Евсекенковым, подземные воды – Н.И.Кусаловой. Восточная рамка гидрогеологической карты не сбита с рамкой соответствующей карты листа 0-37-ХXII ввиду наличия различных геологических основ.

## СТРАТИГРАФИЯ

В пределах территории листа 0-37-ХIII, приуроченной к центральной части Московской синеклизы, вскрытая мощность осадочного чехла (по скв.З-Р в с.Мал.Соли) составляет 2798,5 м. Установлено, что в строении осадочного покрова принимают участие протерозойская группа (вендский комплекс), кембрийская, ордовикская, девонская, каменноугольная, пермская, триасовая, юрская, меловая, неогеновая и четвертичная системы.

х/ Съемка территории листа 0-37-ХVII не закончена.

# ПРОТЕРОЗОИСКАЯ ГРУППА

## ВЕРХНЕПРОТЕРОЗОЙСКАЯ ПОДГРУППА

### Вендинский комплекс

Бурением вскрыта лишь верхняя часть протерозоя, относящаяся к Волынской и вандайской сериям вендинского комплекса.

### Волынская серия - Pt<sub>3</sub>v<sup>f</sup>

Волынская серия выделена по скв. З-Р в интервале 2780–2798,5 м. Вскрыта мощность 18,5 м. Она представлена зеленовато-серыми чешуичатыми некарбонатными аргиллитами, резко отличающимися от вышележащих отложений. Возраст установлен предположительно, по характерному для волынской серии московской синеклизы литологическому составу и путем сопоставления с литологическими и стратиграфическими аналогами из Переславль-Залесской свяжини, где возраст соответствующих отложений определен также условно.

### Вандайская серия - Pt<sub>3</sub>v<sup>d</sup>

К вандайской серии отнесены залегающие на глубине 2329–2780 м тонкопереслаивающиеся глины, песчаники и алевролиты общей мощностью 451 м. Глины аргиллитоподобные темно-серые и зеленовато-серые спидистые жирные. Алевролиты и мелко-тонкозернистые глинистые песчаники светло-серые кварц-половинчатые сплошные косослоистые. В верхней части этих отложений (глубина 2589–2596 м) встречены обрывки водорослей: *Oscillotorites wernackii* Scher., оболочки *Cyathosphaeraea plicata* Naum., *L. gracilis* Naum., *Glyptostroma plana* Naum., *Discina scabva* Naum., *Spiriopsis* шлага Naum. и *Sp. plana* Naum. – форм, характерных для вандайской серии, в особенности для котлинского горизонта X/ .

### Кемерийская система

#### Нижний отдел

##### Вандайская серия

Ломоносовская (?) свита – См<sub>1</sub>f<sup>m?</sup>. Отложение мощностью 102 м, условно отнесенное к ломоносовской (наддлями-

X/Определения растительных остатков вендинского комплекса и кембрия, а также заглаечения юго-западе вмещающих пород произведены палинологом Н.И.Умновой (ГУДР).

наритовой) свите, слагаются зеленовато-серыми и красновато-коричневыми алеритистами глинями с прослойками красновато- и зеленовато-серых алевролитов. Нижняя граница проведена в подошве прослоя (9 м) песчаника, верхняя – по смене песчано-глинистых пород глинами, что хорошо отражено диаграммой электрометрии.

#### Лонгаская (?) свита – См<sub>1</sub>f<sup>n?</sup>

147,5 м представлена зеленовато-серыми и красновато-коричневыми глинами и алевролитами с тонкими прослойками глауконитового песка. Возраст определен по сопоставлению с Переславль-Залесской свяжиной, где литологически сходные и занимающие одинаковое стратиграфическое положение отложения содержат характерный для лонгасской свиты спорово-пыльцевой комплекс.

#### Средний (?) отдел

Тискрекий горизонт – См<sub>2</sub>? t, мощность 79,5 м представлена серыми песками и песчаниками, залегающими непосредственно на "синих глинах". Пески и песчаники содержат большое количество растительных остатков с преобладанием оболочек водорослей групп *Ascanthodiscodium* Tim., *Oodium* Tim., *Dasydiacodium* Tim. и *Lophodiaceodium* Tim., среди которых в большом количестве отмечены виды *Dictyoprosoponphaera foveum* (Andr.), *Vegianium reticulatum* (Tim.), *Histridiosphaeridium cristatum* Dawie, *Latoporata spectatissima* Naum. и др. Комплекс растительных остатков характеризует тискрекский горизонт.

### Ордовикская система

#### Нижний отдел

##### Тремадокский ярус – О<sub>1</sub>t

Тремадокский ярус мощностью 81 м (1919–2000 м), в нижних 16 м представлен серыми и красновато-фиолетовыми песчаниками, сменяющимися кверху сланцеватыми мергелистами зеленовато-серыми глинами, алевролитами и глинистыми доломитами. С глубины 396,3–1967 м определены оболочки водорослей *Diaconodiscus* Tim.: *Ascanthodiscodium* Tim., *Reticulodiscodium* Tim., *Dasydiacodium* Tim., *Lophodiaceodium* Tim. и *Oodium* Tim. Постоянно присутствуют *Verginia pentagona* (Tim.), *Pulvinosphaeridium polygonale* (Eis.), *Hypotrichosphaeridium oblongum* (Tim.), *H. pungens* (Tim.), *Unipora pentagona* (Tim.), *Latoporata spectatissima* Naum., *Concentrica* atava Naum. Этот комплекс растительных остатков характерен для

пакерортского горизонта, что не исключает принадлежность верхней части описываемых отложений леэстскому горизонту тремадокского яруса.

#### Онтикий надгоризонт – О<sub>1</sub>сп

##### Средний отдел

###### Живетский ярус

Онтикий надгоризонт мощностью 56 м в нижней части представлен зеленовато-серыми аргиллитогодобными глинами и песчаниками. В щие залегают зеленовато-серые глинистые известняки. В сходных и занимающих одинаковое стратиграфическое положение отложениях, вскрытых опорной скважиной в г. Любиме, встречена руково-дящая фауна аренитского яруса – онтийского надгоризонта.

#### Средний отдел

##### Пуртеский надгоризонт

###### Таллинский горизонт – О<sub>2</sub>тг мощностью

46 м представлен серовато-зелеными, белыми и серыми глинистыми, местами органогенными известняками и доломитами, а в верхней части – глинами. Принадлежность таллинскому горизонту подтверждается комплексом спор и пыльцы, содержанием: *Verguvahium convexum* (Andr.), *V. marginulata* (Andr.), *Pulvinosphaeridium polygonale* (Els.), *Hystrichosphaeridium oblongum* (Tim.), *H. rugosum* (Tim.), *H. viticulosum* (Andr.), *H. satiricum* (Andr.) и др. Спорово-пыльцевой комплекс, по заключению Н.И.Умновой (ГУЦР), характерен для талинского горизонта. Верхняя граница талинского горизонта прописана условно, по характеру диаграммы электрометрии.

К южерской идве рской – 30 нты – 0<sub>2</sub>тг+ид мощностью 164 м в нижней части сложен песчаниками и доломитовыми мергелями, сменяющимися кверху известняками и доломитами с прослойми антидиритов. Вверху залегают песчаники и крепкие доломиты. Верхняя граница проводится по электроразведке. Растительные остатки представлены *Rhorosphaera* Naum., *Marginata* Naum. и *Porata* Naum.: *Leiosphosphrosphaera minutissima* Naum., *Ascytosporesphaera rugosa* Naum., *Ac. pilosa* (Andr.), *Ac. aff. triplicata* (Tim.) и др. – комплекс, встречающийся в Кужерском и илаверском горизонтах.

Кроме раковинки *Lingula* sp. фауны не обнаружено. Однако положение в разрезе, литологические признаки и особенности mineralного состава достаточно определенно указывают на пирусский возраст охарактеризованных отложений.

На ровский горизонт – D<sub>2</sub>нг мощностью 57 м в нижней части слагается желтовато-фиолетовыми и коричневато-зелеными глинистыми доломитами с прожилками гипса и антимонита, а в верхних 19 м – зеленовато-серыми глинами. Доломиты содержат остатки перекристаллизованной фауны, а также редкие обломки острокол, брахиопод и трохихинков. Среди последних Р.Б.Самойловой определены *Trochiliscus siccidium raderi* forma minor Karpinsky и T. cf. *bulbiformis* Karpinsky. Растительные остатки и характерный литологический состав подтверждают принадлежность описанных отложений наровскому горизонту.

Староскольский горизонт – D<sub>2</sub>ст. К староскольскому горизонту отнесены отложения мощностью 146 м (глубина 1435–1981 м), представленные светло-серыми и белыми песчаниками и песчаниками с тонкими прослойками зеленовато-серых слюдистых глин и прослоем (0,3 м керна) песчанистого доломита. На глубине 1464–1467 м найден экземпляр *Ampulloides* sp. Представители рода *Ampulloides* встречаются в староскольском горизонте живетского яруса. С глубины 1448–1449 м определены споры и пыльца *Archaeozonotrites lasius* Naum., *A. microannulatus* Naum., *A. rugosus* Naum., *A. perlatus* Naum., *Retusotritetes parvifammatus* Naum., *R. ruschovi* Naum. и др. Литологические признаки, палеонтологические определения и стратиграфическое положение подтверждают староскольский возраст описанных отложений.

#### ДЕВОНСКАЯ СИСТЕМА

## Верхний отдел

### Франский ярус

Нижний польярус

Шенгский горизонт -  $D_3 v$  мощность

54 м в нижней части слагается резко отличающимися по окраске от старооскольских отложений красновато-коричневыми кварцевыми песчанками (37 м), а в верхней - красными, фиолетовыми, голубовато-зеленовато-серыми песчаниками и алевролитами с прослойями глин. В песчаниках и глинах встречен характерный для швентойского горизонта спорово-пыльцевой комплекс с *Archaeozonotritetes*: *A. rugosus* Naum., *A. lasius* Naum., *A. micromanifestus* Naum., *Cutipolites extremovii* Pich.-K./

Саргавеский горизонт -  $D_3 v$  мощностью 69 м слагается в нижней части серыми карбонатными глинами, смешивающимися выше зеленовато- и желтовато-серыми известняками с черными налетами органического вещества. Нижняя граница четкая, по смене пестроцветных песчаников и алевролитов серыми глинами. В литотологически сходных и занимавших одинаковое стратиграфическое положение отложениях в городах Любиме, Вологде, Солигаличе и др. встречен комплекс руковоядшей фауны саргаевского горизонта.

Семилукский горизонт -  $D_3 v$ . Отложения мощностью 82 м, относенные к семилукскому горизонту, в нижней части (7 м) сложены глинистыми зеленовато-серыми известняками, переслаивающимися с коричневыми мергелистами глинами и мергелями. Выше залегают зеленые и буро-зеленые глины с редкими прослойями известняков. Из нижней части отпределены: *Cyrtospirifer disjunctus* (Sow.), *Chonetes medianus* Ljasch., *Productella* sp., *Atrypa ex gr., tubaeostata* Paek., *A. ex gr. uralica* Nal., *A. ex gr. kolovschka* Nal., *A. sp. xx/* и *остракоды* *Schizophoria* sp. xx/ и *амфиситы* *Amphisites irinae* Gleb., *Neodrapetzel Zasp.*, *Acratia valentiae* Eg., *A. petiniana* Eg., *Knexiella cerata* Eg., *la parva* Zasp., *Semilukiella arenata* Eg., *Uniconus glaber* Trautsch. Из глин верхней части - *Ellesmerita incognita* Gleb. et Zasp. характерна для среднефранского польяру-

са и большинство форм - для семилукского горизонта. Спорово-пыльцевой комплекс из нижней части описываемых отложений характерен для среднефранского польяруса. В нем преобладает пыльца голосеменных: *Archaeoperisaceus elongatus* Naum., *A. tenueri* Naum., *A. angustus* Naum., *A. miris* Naum. и споры *Archaeozonotritetes semilucensis* Naum., *A. notatus* Naum., *Retusotritetes pychosus* Naum., *R. communis* Naum., *Lophozonotritetes crassatus* Naum.

Верхний подъярус

Бургский горизонт -  $D_3 v$ . В основании бургского горизонта мощность 30 м залегает серый органогенный известник (2,5 м), выше - пещник (9 м) и зеленовато-серая слоистая глина с прослойями кварцевого пещника и песка. Среди этих пород встречена *Lingula* sp. и определены споры *Archaeozonotritetes naivikini* Naum., *Eumelozonotritetes cf.* Naum., *A. dominicus* Naum., *H. mancus* Naum., *Stenozonotritetes grunosi* Naum., *Archaeoperisaaecus concinnus* Naum. - формы, характерные для спорово-пыльцевого комплекса бургского горизонта.

Боронежский горизонт -  $D_3 v$  мощностью 51 м представлен красновато-коричневыми и зелеными алевролитами и глинами с прослойами известняков и доломитов. Встречены остроклы: *Evlaeaella aff. ljaschenkovi* Eg. и трохиликс - *Trochilius sexcostatus* Prinada. В спорово-пыльцевом комплексе: *Archaeozonotritetes semilucensis* Naum., *A. rugosus* Naum., *A. naliwickii* Naum., *A. micromanifestus* Naum., *Kutmenoszonotritetes deliquescens* Naum. и др. Палеонтологическая характеристика подтверждается возрастом красных отложений.

Ливенский горизонт -  $D_3 v$ . Ливенский горизонт мощностью 70 м (интервал 1079-1149 м) сложен известковистыми зеленовато-серыми глинами и доломитизированными мергелями с гнейздаами гипса и ангидрита. Граница с воронежским горизонтом нечеткая; она проводится по подъеме известковистых глин, содержащих обломки костей панцирных рыб. В спорово-пыльцевом комплексе с глубины III-II/III м преобладают виды: *Leiotritetes microgigas* Naum., *Retusotritetes pychosus* Naum., *Hymenozonotritetes radiatus* Naum., *H. deliquesens* Naum., *H. eximus* Naum., *H. dominicus* Naum., *Archaeozonotritetes hamulus* Naum., *Stenozonotriteres simplex* Naum., *Lophozonotritetes grumosus* Naum., *L. concessus* Naum. Этот спорово-пыльцевой спектр, по заключению Е.И.Генингты, имеет симметричный характер и может соответствовать отложением каламановско-ливенского возраста.

Х/ Спорово-пыльцевые комплексы девона изучены Е.И.Генингты.

XX/ Определения Г.П.Дышленко.

XXX/ Определения Д.Н.Утехина.

## Фаменский ярус

КАМЕННОУГОЛЬНАЯ СИСТЕМА

### Нижний отдел

Задонский – елецкий горизонт – D<sub>2</sub><sup>d-e</sup>. Нерасчлененные задонский и елецкий горизонты мощностью ~77 м представлены зеленовато-серыми мергелями и доломитами, подошве которых устанавливается граница с верхнефранским подъяру-  
сом. В спорово-пыльцевом комплексе из верхней части описываемых  
отложений преобладают споры: *Trachytriletes solidus* Naum., *T.*  
*medius* Naum., *Leiotriletes microrugosus* Naum., *Lophotriletes ru-  
gosus* Naum., *Retusotriletes simplex* Naum., *R. ruchovii* Naum.,  
*Hymenozonotriletes limpidus* Naum., *H. guratus* Naum., *H. regi-  
milus* Naum., *Stenoszonotriletes cf.* Naum. и др. Данный спорово-  
пыльцевой комплекс содержит формы, встречающиеся в задонском и  
елецком горизонтах нижнефаменского подъяруса.

Верхний подъярус – D<sub>3</sub><sup>f</sup>ш<sub>2</sub>

Верхний подъярус мощностью 172 м выделен в интервале 830–  
1002 м. Он слагается зеленовато-серыми мергелями и глинами с  
прослоями серых доломитов, а также гнездами гипса и антидриита,  
содержание которых кверху значительно увеличивается. Граница с  
нижнефаменскими отложениями проводится условно – в основании  
прослойя мергеля, который, как и вся толща верхнефаменского подъ-  
яруса, выделяется на каротажной диаграмме повышенными электриче-  
скими сопротивлениями.

В спорово-пыльцевом комплексе описываются отложения в ин-  
тервале 921–924 м преобладают споры *Leiotriletes medius* Naum., *Lophotri-  
letes rotundus* Naum., *Trachytriletes commutatus* Naum., *H. ru-  
gosus* Naum., *H. pollidus* Naum., *Hymenozonotriletes micromani-  
festus* Naum., *A. famensis* Naum., *A. dedalens* Naum., *Lophozono-  
triletes curvatus* Naum. Наличие подобного спорово-пыльцевого  
комплекса, характерного для лебедянского горизонта, не исключает  
этого, что верхняя часть этой толщи может отвечать данковской гори-  
зонту верхнефаменского подъяруса.

### Турнейский ярус

Нижний подъярус

Задонский горизонт – C<sub>1</sub> ~ 2 ? Отложение  
ния мощностью 18 м, условно отнесенные к заволжскому горизонту, предста-  
влены темно-серыми и коричневато-серыми известняками с гипсом и антидриитом. Нижняя граница проводится по подошве про-  
слоя из пестняков, залегающих на верхнефаменских мергелях. Встре-  
чены остатки костей панцирных рыб, черви рода *Spirorbis*, ядра пеленоид и многочисленные сферы, по-видимому, являющиеся оста-  
ками трохилисков. В спорово-пыльцевом комплексе: *Hymenozonotri-  
letes lopidophytus* Kedo, *H. rugosus* Naum., *Archaeozonotriletes  
micromanifestus* Naum., var. *minor* Naum., *A. fabus* (Jusch.),  
*Lophozonotriletes lebedianensis* Naum., *L. curvatus* Naum.  
и др. Возраст вышеупомянутых пород, по заключению Н.И.Умновой, не мо-  
жет озерско-хованского времени. Отнесение рассматриваемых отло-  
жений к заволжскому горизонту основывается также на сопоставле-  
нии с литологически сходными отложениями, вскрытыми в пределах  
Московской синеклизы (Лубим, Поварово, Редкино).

### Визейский ярус

Средний (?) подъярус – C<sub>1</sub> v<sub>2</sub> ?

Средний подъярус мощностью 8 м выделен условно, в интерва-  
ле 804–812 м. Керна с этого интервала не поднято. Электрокаротаж-  
ные диаграммы сходны с диаграммами электрометрии Переславль-За-  
лесской и Любимской опорной скважин, где занимавшие такое же стра-  
тиграфическое положение отложения представлены палеонтологически  
окарбонизированными песчано-глинистыми породами средневизайского  
подъяруса (яснопольского надгоризонта), несогласно залегающими  
на известняках заволжского горизонта.

Верхний подъярус

Оксий (?) надгоризонт – C<sub>1</sub> v<sub>2</sub> ?

К оксикому надгоризонту предположительно отнесена толща мощ-  
ностью 54 м, представленная серыми кристаллическими и органоген-  
ными известняками.

ными известняками, а также коричневато-серыми крепкими доломитами, в верхней части с прослойми аргиллита. По литологическим признакам и положению в разрезе эта толща может быть сопоставлена с окским надгоризонтом верхневизейского подъяруса городов Лодомля и Переславля Залесского.

#### Серпуховский (?) надгоризонт – $C_{1,4}$ ?

Серпуховский надгоризонт мощностью 12 м с достаточной уверенностью выделяется по литологическим признакам. Он представлен белыми, серыми и желтовато-серыми плотными известняками. Верхней границей серпуховского надгоризонта является маркирующий – венерийский горизонт Московского яруса, залегающий несогласно на отложениях серпуховского надгоризонта.

#### Средний отдел

##### Московский ярус

##### Нижний подъярус

Верейский горизонт –  $C_{2,1}$ . Верейский горизонт мощностью 20 м сложен пестроцветными оранжево-красными, реже светло-голубыми алевролитами глинами и желтовато-красными глинистыми алевролитами, фауны в которых не встретено. По составу и окраске глины и алевролиты резко отделяются от подстилающих покрытых их известняков и доломитов, что является характерной особенностью верейского горизонта Московской синеклизы.

##### Нижний и верхний подъярусы

Каширский и подольский горизонты –  $C_{2,2}-\text{inf}$ . Однообразие литологического состава и характера электрокаротажных диаграмм при слабом выходе карна не дало возможности разделить каширский и подольский горизонты.

Общая мощность их 109 м (интервал 609–718 м). Карн с глубины 685–687 м представлен зеленовато-и розовато-серыми, местами доломитизированными крепкими известняками с редкими гнездами гипса, с гастраподами, членниками криноидей, иглами ежей, с глубины 613–615 м – светло-серыми микрозернистыми пористыми известняками

с гипсом в порах, с фауной. Фауна еще не определена. Отнесение описанных пород к каширскому и подольскому горизонтам основано на положении их в разрезе и аналогии с палеонтологически охарактеризованными отложениями Московской синеклизы.

##### Верхний подъярус

Мячковский (?) горизонт –  $C_{2,3}^{\text{sc}}$ ? К мячковскому горизонту мощностью 36 м условно отнесены светло-серые и белые органогенные плотные известняки. Аналогичные отложения, вскрытые Любимской и другими опорными скважинами, содержат характерную для мячковского горизонта фауну фузуллинов.

#### Верхний отдел

##### Гжельский ярус – $C_{3,6}$

Гжельский ярус мощностью 135 м представлен белыми и желтоватыми доломитизированными известняками с включениями гипса, а в нижней части – с прослоем (7 м) белой и фиолетовой глины, содержащей неопределенные обломки раковин. Выше залегают белые и серовато-белые мелкозернистые доломиты. Верхние 10 м слагаются доломитизированными трещиноватыми известняками, превращенными местами в доломит. Нижняя граница гжельского яруса условная. По литологическим признакам и стратиграфическому положению описываемые отложения сопоставимы с вскрытыми Любимской и другими глубокими скважинами отложениями, содержащими фауну брахиопод, кораллов, фузуллинов, характерных для гжельского яруса. В верхней 10-метровой пачке встречаены фораминиферы: *Daihinia robusta* Raus., *D. vogangalensis* Raus., *Pseudofusulina aff. subtilis* (Scheiwe.), *P. sokensis* Raus./. Присутствие последней формы указывает на принадлежность верхней пачки к зоне Daixina *sokensis*, т.е. к ногинской (псевдобузулиновой) толще гжельского яруса.

##### Пермская система

##### Нижний отдел

Ассыльский ярус –  $P_1^{\text{as}}$  Ассыльский горизонт мощностью 31–36 м. К этому горизонту относятся морские известняки с криноидами, иглами ежей, с глубины 613–615 м – светло-серыми микрозернистыми пористыми известняками

x/ Определения Т.А. Никитиной.

несены белые, серые, желтовато-розовые плотные микро- и тонко-зернистые доломиты, поры которых выполнены селенитом, реже глинистым материалом. Встречены гнезда гипса и кремневые стяжения. Определены фузуллины: *Pseudofusulina gregaria* Lee., Р. kottowii Scheffw. и фораминиферы: *Tubertina* sp., *Clobivalvulina* sp., *Schebertella* sp., *Triticites* sp. и др. Fauna характерна для шиханского горизонта.

#### Сакмарский (?) ярус – $R_1$ ?

К сакмарскому ярусу мощностью 9–12 м отнесены белые со слабым желтоватым оттенком микро- и мелкокристаллические окременные пористые доломиты, содержащие редкие и неопределенные органические остатки. Ввиду литологического сходства сакмарского и асельского ярусов граница между ними условная.

#### Артинский (?) ярус – $R_1$ ?

К артинскому ярусу мощностью 20–28,5 м предположительно отнесены белые мелко- и микрокристаллические мелкопористые, за-гипсованные доломиты с четырьмя прослойками крупнокристаллического белого гипса. По нижнему из них мощностью 4 м проводится нижняя граница артинских отложений. Фауна не встречена. По насыщенности гипсом и стратиграфическому положению породы условно отнесены к артинскому ярусу.

#### Верхний отдел

##### Казанский ярус – $R_2K_2$

Казанский ярус мощностью 30–40 м сложен сильно доломитизированными, местами окраинными и загипсованными, светло-серыми, серыми, в верхней части розоватыми известняками, содержащими большое количество органических остатков плохой сохранности, в том числе зубов рыб и спикул губок. Гипс встречается в рассеянных кристаллах, гнездах и прожилках. Нижняя граница проводится по отсутствию значительной мощности прослоев гипса и появлению серой и розовой окраски пород. Определены брахиоподы: *Strophalosia* cf. *horrescens* Verr., *Cleiothyridina* cf. *stuckenbergi* Nentsch., С. cf. *pectinifera* Sow., *Cancrinella* Verr. и др. – фауна, характерная для казанского яруса.

Уржумский горизонт –  $R_2T_1$ . Нижнетатарские отложения вскрыты в с. Мел. Соли, где мощность их составляет 98 и 102 м, и частично в селах Отаница и Мельниково. Нижняя граница по скв. З-к проводится В.А. Васильевым (1962 г.) в основании бурых, розово- и красно-коричневых песчаников (34,5 м), залегающих на известняках казанского яруса и содержащих прослой (4 м) окисленного алевролита. Выше располагаются розовато- и сиренево-коричневые с серовато-зелеными пятнами глины с двумя прослойми (5–6 м) зеленовато-серых и коричневых песчаников и местами мергелей мощностью до 0,1 м. В селах Отанице и Мельникове среди глин и песчаников чаще наблюдаются прослой (0,6–4 м) оранжево-коричневых алевролитов, розовых, бледно-голубых и белых мергелей, линзы (4–5 см) бледно-розового и белого доломита. Гипс часто выполняет поры и трещины в породах, местами образуя прослой мощностью до 0,3 см.

Песчаники мелкозернистые, крепкие, из утлого-тоокатанных зерен (0,12–0,15 мм) кварца, иногда с несущественной примесью микроклина. Встречаются обломки эпидотизированных и хлоритизированных метаморфических пород, окрашенных гидроокислями железа в бурый цвет, изредка – зерна блогита и рудных минералов, частично замещенных гидроокислями железа. В акцессорной примеси – турмалин, циркон, гранат. Цемент карбонатно-гипсовый, гипсовый, пойкилитовый, контактный, поровый. Кроме того, встречаются песчаники с гипсово-пойкилитовым цементом, на 80% сложенные альбитизированным серцитизированным плагиоклазом кислого и среднего состава и андезином при содержании кварца не более 20%, а также песчаники, сложенные обломками метаморфических и кремнистых пород, порфириита, кварца, эпидота, полевого шпата. Алевриты, глины, мергели, доломиты – плотные, крепкие, местами микрослоистые. Обломочный материал алевролитов, глин и мергелей представлен кварцем, плагиоклазом, микроклином, слюдами и рудными минералами. В единичных зернах – цоизит, эпидот, циркон, корунд, турмалин, гранат. Цемент алевролитов глинисто-карбонатный (доломитовый) контактовый и заполнения пор, а также гипсовый, на отдельных участках – глинистый. В глинах рассеяны стяжения (0,01–0,02 мм) гидроокислов железа и зерна кальцита. Мергели глинистые и алевритистые, с кальцитовым цементом, известково-доломитовые и доломитовые,

Геологическая карта		Текущая фазировка, %		Активные		Теплоизлучение		Лоренце		Красивуя		Минералы		Химический состав		П2и (бесхвостый хомяк)		П2и (серебристый хомяк)		П2и (серебристо-бронзовый хомяк)		П2и (серебристо-бронзовый хомяк)	
Изотермический	%	Изотермический	%	Изотермический	%	Изотермический	%	Изотермический	%	Изотермический	%	Изотермический	%	Изотермический	%	Изотермический	%	Изотермический	%	Изотермический	%	Изотермический	%
Изотермический	%	Изотермический	%	Изотермический	%	Изотермический	%	Изотермический	%	Изотермический	%	Изотермический	%	Изотермический	%	Изотермический	%	Изотермический	%	Изотермический	%	Изотермический	%
Изотермический	%	Изотермический	%	Изотермический	%	Изотермический	%	Изотермический	%	Изотермический	%	Изотермический	%	Изотермический	%	Изотермический	%	Изотермический	%	Изотермический	%	Изотермический	%
Изотермический	%	Изотермический	%	Изотермический	%	Изотермический	%	Изотермический	%	Изотермический	%	Изотермический	%	Изотермический	%	Изотермический	%	Изотермический	%	Изотермический	%	Изотермический	%

часто огипсованные, тонкозернистые. Алевритовая примесь, представленная кварцем, редка. В мельчайших порах – гипс. Примесь кальцита незначительна, но в известковых разностях доломитов достигает 25%.

В табл. I приведено содержание некоторых минералов тяжелой и легкой фракций нижнетриасовых и татарских отложений, из которого видно, что в тяжелой фракции уркумского горизонта преобладают минералы группы эпидота, ильменит, гранат. Высокое содержание окислов и гидроокислов железа особенно отличает верхнюю часть уркумского горизонта.

В описанных отложениях по скв. З-к встречены *Darwinuloides triangula* Bel., *Darwinulina fragiliformis* Kasch., *D. theodorovichii* Bel., D. aff. *kassini* Bel. и др. – остракоды нижнетатарского подъяруса уркумского горизонта. Из верхней части нижнетатарских отложений с. Оганино Е.М. Муциной определены остракоды: *Darwinulina cf. perlonga* Schar., *Suchonella stellmachovi* Spizh., S. *nasalis* Schar., *Darwinuloides triangula* Bel., D. es aff. *edmanniana* Bel., *Permiana tuberculata* Kasch. – фагита, позволяющая предполагать наличие в верхней части уркумского горизонта сухонской свиты.

#### Верхний подъярус

**Северодвинский горизонт – Р2и.**  
Северодвинский горизонт мощностью 5,3 и 12,6 м вскрыт в с. Мал. Соли и в с. Оганине, где он залегает на уржумском горизонте. В с. Мал. Соли северодвинские отложения представлены розово- и желтовато-коричневыми с красными разводами и голубыми пятнами глинями, а также мелкозернистыми оранжевыми пестринками. Встречены остракоды: *Darwinulina futschiki* Kasch., *D. parallella* (Spizh.), *D. elongata* (Spizh.), *D. trapezoides* Schar., *D. elongata* Lun., *D. sokolovia* Bel., *Suchonella stellmachovi* Spizh., и др. x, характеризующие северодвинский горизонт.

В с. Оганино на глинах и алевролитах нижнетатарских отложений залегают коричневые с сиреневым оттенком и голубыми пятнами глины с мелким гравием в основании, чередующиеся с глиной мощностью 0,2–2,0 м. Известняки доломитистые и доломитовые, представленные пелитоморфным кальцитом (зерна 0,01 мм) с примесью кристал-

X / Остракоды верхнетатарского пойма у руса с. Мал. Соли определены Р.З. Ериной и М.П. Жернаковой (ВНИИ).

лов доломита (от 10 до 25%) и алевритовой примесью из зерен кварца и известняка. Выше лежат зеленовато-коричневые и коричневато-серые плотные комковатые карбонатные глины с налетами окислов железа и марганца. В алевритовой примеси глины присутствуют кварц, сильно ожелезненные породы, рече слюда и хлорит. Встречаются разности серых тонколистоватых глин с неяснослойной текстурой чешуек глинистых агрегатов и скоплениями ориентированных ракушечниковых остатков, иногда пригнездированных.

Встречается прослои (0,1 и 0,3 м) мелкозернистого темно-серого косослоистого песка, прослои зеленовато-голубого алеврита (0,4 м) и голубовато-серого алевролита (0,3 м). Эти породы слагаются обломками метаморфических пород, глинами, эпидотом, полевым шпатом, аморфизованным биотитом.

Из табл. I видно, что по минералогическому составу северодвинские отложения заметно отличаются от уржумских. Наибольшее значение среди минералов тяжелой фракции приобретают окислы и гидроокислы железа и группа минералов эпидота. В легкой фракции преобладают глинистые агрегаты (52,4-93,0%), появляются обломки кремнистых пород (ед.-3,7%) и в большом количестве опал - 0,7; 6,9; 18%.

Охарактеризованные отложения района с. Оганино содержат:

Darwinula paralella (Spizh.), D. spizharskii Ros., D. futschinski-Kasch. D. trapezoidea Schar., D. fadaevi Bel., D. inornata var. macra Lun. D. daedala Misch., D. undulata Misch., Schedotilla tigris Spizh., S. cornuta Spizh., Darwinuloides swijazinica (Schar.). Сметанный характер этого комплекса остракод, содержащих формы как верхне-, так и нижнепатарских подъярусов, как известно, типичен для низов северодвинского горизонта.

#### ТРИАСОВАЯ СИСТЕМА

##### Нижний отдел

В е т л у ж с к а я с е р и я

Нижний триас представлен пестроцветными глинами, алевритами и песчанками с линзами алевролитов и песчаников. На юго-востоке (скв. I4) он залегает с резким разрывом на нижнепатарских отложениях, а на севере (скв. 4, 3-к и 3-р) - на северодвинском горизонте. По отсутствию доломитов и гипса, преимущественно кальцитового цемента алевролитов и песчаников, яркий окраске пород нижнегриасовые отложения резко отличаются от нижнепатарских. Гра-

ница с северодвинским горизонтом менее четкая и установлена по остракодам.

Нижний триас распространен повсеместно и вскрывается многими колонковыми, а в районе г. Костромы ручными скважинами. Абсолютные высоты подошвы их на юго-востоке (скв. I4) - 79,6 м, в с. Мал. Соли - 137 м, на северо-востоке (скв. 4) - 132,9 м. Абсолютные высоты кровли и глубины залегания варьируют в зависимости от структурного положения и эрозии. Так, в тектонически приподнятом районе г. Костромы положение кровли триаса, перекрытого здесь юрой, определяется отметкой 63 м абсолютной высоты, а на западе - в погруженной части территории - отметкой -50 м. В глубоко врезанных древнечетвертичных долинах кровля нижнетриасовых отложений вскрывается под четвертичными образованиями на высотах от -54 до -112 м абсолютной высоты к югу от г. Костромы в скв. II (глубина 257 м). Наиболее полный разрез вскрыт скважинами в селах Оганино (скв. 4) и Мал. Соли (скв. 3-к), где мощность нижнего триаса, залегающего под верхнепатарскими отложениями, составляет соответственно 183,6 и 153,8 м.

По литолого-фаунистическим признакам и фауне остракод нижнетриасовые отложения территории листа 0-37-ХХIII подразделены на горизонты: рябинский, краснобаковский, шишкинский, спасский<sup>х/</sup>. Эти горизонты выдержаны по простиранию по всей Костромской области и смежным с ней районам.

Рябинский, краснобаковский, шишкинский, спасский<sup>х/</sup> горизонты выдержаны по простиранию по всей Костромской области 83-85 м. Подошва триаса вскрыта лишь в трех пунктах: в с. Мал. Соли, где за недостаточность выхода герна выделить рябинский горизонт не удалось, в селах Оганино и Мельниково (скв. 4 и 14). В последних двух пунктах мощность рябинского горизонта - 14,5-15 м. Рябинский и краснобаковский горизонты объединены как по условиям масштаба карты, так и вследствие сходства литологических признаков и фауны. Самостоятельность рябинского горизонта принципиально сомнительна. По-видимому, целесообразнее было бы рассматривать его как нижнюю часть краснобаковского горизонта, но это вопрос дискуссионный.

На юго-востоке (скв. 4) в основании рябинского горизонта залегают красно-коричневые глины с галькой и гравием доломитов и мергелей подстилающих нижнепатарских отложений. На севере, где триасовые отложения перекрывают северодвинские, нижняя часть рябинного горизонта (скв. 4) залегает на северодвинском горизонте (скв. 3-к). На юге, в селах Оганино и Мельниково (скв. 4 и 14) залегают краснобаковские глины с галькой и гравием доломитов и мергелей подстилающих нижнепатарских отложений. На севере, где триасовые отложения перекрывают северодвинские, нижняя часть рябинного горизонта (скв. 4) залегает на северодвинском горизонте (скв. 3-к).

х/ Наменование (1953) горизонта изменилось (1955, 1956).

и В.И. Иргнатьева (1953, 1955, 1956).

бинского горизонта представлена красно-коричневыми глинами с линзами алевролита и мергеля. Встречается рябинский и краснобаковский горизонты, повсеместно сложены чередованием однообразно окрашенных коричневых и пестроцветных (оранжево- и красновато-коричневых, зеленовато-голубых) пятнистых и полосчатых алевритовых неравномерно известковистых глин с гнездами и прослойками зеленовато-голубых и серовато-коричневых алевритов (1-1,5 м), а также коричневато-серых и вишнево-коричневых мелкозернистых песков (0,2-0,5 м). Пески и алевриты местами сцементированы кальцитом; в них встречаются линзы алевролитов и песчаников мощностью 2-4 см.

Характерным признаком рябинского и краснобаковского горизонтов являются многочисленные зеркала скольжения разной величины. Характерно также наличие тонких, ветвящихся, часто полых внутренних прожилков (видимо, следов корневых систем), выполненных кристаллами кальцита или алевритового материала. В рябинском горизонте более выражена слоистость и полосчатость.

В состав алевритовой примеси глин входят кварц, редкие зерна роговой обманки, хлорит, кварцит, полевой шпат. Обломочный материал песков состоит (в %) из зерен плагиоклаза (10-15), кварца (10-15), кварцита, обломков хлоритизированных пород, биотита, бурой глины (10-15), гидроокислов железа, скотleinий пелитоморфных зерен кальцита и кристаллов вторичного кальцита (5-6).

Из табл. I видно, что в нижнетриасовых отложениях, в частности, в рябинских и краснобаковских, в тяжелой фракции резко преобладают минералы группы эпидота. По сравнению с северодвинским горизонтом в рябинских и краснобаковских отложениях значительно увеличивается содержание рудных минералов; в некоторых образцах — апатита, а также дистена (1,7%) и ставролита (2,4%), ниже встречающихся единично и в долях %. В легкой фракции появляется хлорит (до 1,3%).

На территории листа 0-37-ХХIII рассматриваются отложения содеряжат филлоподы: *Cornis mellieolum Lutk.*, *Vertexia tauricornis Lutk.*, *Cycloestheria rossica Novoj.*, *Liosostheria blomi Novoj.*, *Rheocestheria putjatensis Novoj.*, *P. sibirica Novoj.* Из перечисленных форм, характерных для нижнего триаса, первые две встречаются только в краснобаковском горизонте. В Костромской области массовым развитием рода *Gerdalia* (*Gerdalia triassiana Bel.*, *G. rara Bel.*, *G. longa Bel.*, *G. dactyla Bel.*, *Gerdalia wetlugensis Bel.* и др.) присутствием наряду с многочисленными формами рода *Darwinula* вида *Darwinula bona*

Misch. X/ Подобный комплекс острякод характерен для краснобаковского и рябинского горизонтов.

Ширихинский и спасский горизонты — Тиф+п. По условиям масштаба ширихинский и спасский горизонты на карте и разрезах объединены.

Ширихинский горизонт имеет мощность 70-83 м. Граница с краснобаковскими отложениями устанавливается по смене литологического состава и наличию следов размыва.

В основании ширехинского горизонта лежат пески с гравием, местами ожелезненные и сцементированные, содержащие линзы песчаника и мергеля. Мощность 0,2-3,0 м. Выше залегают переслаивающиеся глины и алевриты с гнездами и прослойками песка, с линзами и гальками алевролита, песчаника, мергеля. Глины алевритовые, неравномерно известковистые, пачистые и ярко окрашенные по слоистости в оранжево-коричневые, серовато-зеленые, зелено-голубые, светло-желтые, фиолетовые цвета. Алевриты и пески известковистые светло-коричневые, голубые, серовато-коричневые и серые с сиреневатым оттенком, полимиктовые. Мощность около 25 м.

Еще выше выделяется сероцветная пачка мощностью от 4 до 28 м, представленная в нижней части мелко- и среднезернистыми, местами косослоистыми песками, переходящими кверху в переслаивающиеся глины и алевриты с прослойями (0,5 см - 0,4 м) песка. Серые глины иногда замещены красновато- и шоколадно-коричневыми. В верхней части сероцветной пачки наблюдается тонкая слоистость озерного типа, встречаются прослой, обогащенные органическим веществом и обутившимися растительными остатками. В районе с. Мал. Соли и оз. Шашебольского сероцветная пачка залегает непосредственно на оклензенных песках основания ширехинского горизонта.

Выше сероцветов выделяется горизонтальнослоистая пачка мощностью 32-38 м, состоящая из тонкопереслаивающихся темно-коричневых и серовато-коричневых глин, светло-желтоловато-коричневых и серовато-голубых алевритов с присыпками и изредка прослойками песка. Мощность прослоев — 0,5-1,5 см, местами 5-6 см, отдельных прослоев алеврита в основании пачки — 0,5 м. В средней части этой пачки встречаются линзы (3-5 см) светлого алевролита, включаящего обломки аргилита и табачно-желтого алевролита. Непосредственно выше выделяется прослой

X/ Филлоподы триаса определены Н.И. Новожиловым (ГИН АН СССР), острякоды — Е.М. Мишиной (27У).

(0,1 м) голубого алевролита, переполненного мелкими (1–3 мм) гастролитами. Подобный гастролитовый слой, встречающийся на территории листов 0-37–XXII, XXIV и XXIX, является маркирующим.

В верхней части характеризуемых отложений слоистость выражена слабее, а окраска пород менее яркая.

Общий чертой шилихинского горизонта является наличие трещинноватых корочек на поверхности напластования и мелких трещин в глинах, заполненных алевритом и песком, свидетельствующих о существии климата во время формирования этих отложений.

В состав песков, песчаников, алевритов, алевролитов шилихинского горизонта входят кварц (5–25%), полевой шпат (50%), обломки эфузивных и метаморфических пород (до 25%), сильно оклеенными пород (5–6%), эпидот, хлорит, биотит. В нижней части, залегающей под сероцветной пачкой, присутствуют обломки кремнистых пород (7–20%). В алевритах и песках сероцветной пачки более 50% составляют чешуйки хлорита, отчасти замещенные гидроокислами железа, и ориентированные чешуйки биотита. В слоистой пачке содержание (в %) хлорита – 15, обломков метаморфических хлоритидерянин (в %) – более 50. Ориентированность зиризованных эпидотизированных пород – более 50. Ориентированность обломков глинистых агрегатов в глинах, микрослойков характерна для сероцветной и слоистой пачек.

Табл. I показывает, что по минералогическому составу отложения шилихинского горизонта близки к рябинским–краснобаковским. В некоторых образцах содержание ильменита и апатита увеличивается, а окислов и гидроокислов железа – уменьшается. В легкой фракции возрастает количество обломков кремнистых пород (до 28,8%) и сокращается содержание опала (0,0–1,5%).

В шилихинском горизонте наблюдаются обломки зубов и чешуя рыб, часто значительные скопления филлопод, приуроченные к плоскостям напластования, острокопы (гастролитовый слой), скопления аргиллитов и фтороминиферы. Встречаются водоросли. Из гастровенозис (рев.), Bitbunia (?) sp., B. kostromensis Gus. sp. Из филлопод – Cyclestheria rossica Novoj., Lioestheria novi Novoj., L. ignatjevi Novoj., Pseudasteria putjatensis Novoj., P. sibirica Novoj., P. sibirica Novoj., Gliptostomus wetlugensis Novoj., G. rugosa Novoj., Eulimnadia wetlugensis Novoj., E. elliptica Novoj. – формы, встречающиеся как в шилихинском, так и в краснобаковском и рябинском горизонтах. Более плотных мергелистых стяжений размером до 2 см, рассеянно-

характеризуется появлением не встречающихся в краснобаковском горизонте видов и даже родов (*Marginella*, *Kostromella*, *Wetlugella*, *Nerichtinella*). Наиболее характерны для этого комплекса – *Darwinula postparalella* Misch., *D. modesta* Misch., *Marginella necessaria* Misch. Сероцветная пачка переполнена растительными остатками с *Pleurostoma rossica* Neub. x/ – формой, характерной для нижнего триаса. В спорово–пыльцевом комплексе доминируют споры *Pleuronema*. Присутствуют также *Leiotriletes microrugosus* Nasch., *L. calamitaformis* K.-M., *Danaeopsides bravispira* Mal., *D. parvispinellatiformis* Mal. и др. Минимальное содержание ристой пыльцы *Striatopinites* и *Striatopodocarpites*, в изобилии встречающейся в нижней части индского яруса, а также высокое содержание спор *Pleurostoma* и *Ginkgo soudarnyutus* Zamol., по заслужению М.К. Кирцель, позволяет отнести имеющиеся отложения к средней части толщи нижнего триаса, т.е. к шилихинскому горизонту.

С п а с с к и й г о р и з о н т . Мощность спасского горизонта колеблется от 13 до 31 м. Нижняя граница не всегда четкая, и только в скв. I в основании спасского горизонта наблюдаются слои размыва в виде прослоя (0,5 м) конгломерата с окатышами глины и алевролита с кальцитовым цементом. Характеризуемые отложения подразделяются на две пачки. Нижняя мощностью 5–23 м представлена алевритовыми глинами, содержащими 2–4 прослоя алевритов мощностью 0,1–0,4 м. Местами встречаются гнезда и мелкие (2–3 см) линзы песка. Нижняя пачка спасского горизонта отличается от подстилающих нижнетриасовых отложений менее яркой окраской пород, с преобладанием светло–розовато–коричневых с пятнами и разводами голубого цвета у глин, серовато–коричневых, реже голубых тонов у алевритов и песков. Характерна постепенность перехода между глинами и алевритами. В глинах наблюдаются трещины, заполненные алевритом и песком. Повсеместно рассеяны, а местами сконцентрированы в послойные скопления окатыш темно–коричневой глины и мергелистых стяжений гравийного и галечного размера.

Верхняя пачка мощностью от 1 до 18 м встречена в северной и северо–восточной частях территории. В основании ее нередко залегают глины с окатышами мергеля, выше – красно–коричневые и зелено–голубые пятнистые глины. В верхних 1,5–2 м часто преобладает зелено–голубая окраска. Встречается гнезда, реже прослои (0,1–1,5 м) голубого алеврита. Местами наблюдаются скопы полутяжей до 30°. Глины и алевриты неравномерно насыщены известью. Обилье плотных мергелистых стяжений размером до 2 см, рассеянно-

x/ Определение С.В. Матюна (ГИН АН СССР).

ных по всей толще, обуславливает грубость текстуры и неровный бугристый излом у глин.

В спасском горизонте филлоподы встречаются редко и имеют плохую сохранность. Встречены *Rhaedestheria rybinskensis* Novoz. комплекс остраокод обеднен по сравнению с комплексом шилхинского горизонта. Характерны *Darwinula costromensis* Misch., *D-s grotus* Misch. и *Darwinula vicalis* Misch. Встречаются, кроме того, *Darwinula oblonga* Schm., *D. triassiana* Bel., *D. charnovi* (Gleb.), *Gerdalia dactyla* Bel., *G. longa* Bel. В отложениях, по литологическим признакам и положению в разрезе являются ярко выражущимися аналогами нижней пачки спасского горизонта, на территории листов 0-38-XV и 0-38-XVI, М.А.Шишким определены кости *Ventosuchidae* gen. indet и *Gnathorhiza* sp., из которых последняя форма известна только из спасского горизонта Костромской, Горьковской, Нижегородской областей.

Аналогами верхней пачки спасского горизонта являются отложения, выделенные на территории листов 0-38-XIII, XII и др. под названием федоровского горизонта. Однако эти отложения по литологическим особенностям несколько отличаются от стратотипа федоровского горизонта Г.И.Блома на Вятке и нигде не имеет палеонтологического обоснования. Очевидно, целесообразнее рассматривать их в составе спасского горизонта ветлужской серии, как это и сделано на геологической карте территории листа О-37-XIII и в объяснительной записке.

#### ЮРСКАЯ СИСТЕМА

##### ВЕРХНИЙ ОТДЕЛ

Верхнерусские отложения общей мощностью 15-30 м залегают с резким разрывом на нижнем триасе. Абсолютные высоты подошвы их колеблются от 73-75 м на юго-востоке до минус 20 м на западе. Верхнерусские отложения развиты повсеместно, за исключением района Д.Беркаиха (скв. I2), где они уничтожены древней эрозией.

##### Келловейский ярус – $J_2^{ol}$

###### Нижний подъярус

Породы нижнего подъяруса мощностью 1,5; 3,5 и 6,0 м вскрыты лишь в трех пунктах (скв. З. 8, I3), где они несогласно залегают на нижнетриасовых отложениях. В д.Коряково (скв. З) в осно-

вании нижнего келловей на глинах спасского горизонта лежат грунтовые пески с окатышами триасовых глин и галькой кварца. Выше располагаются средне- и мелкозернистые коричневато-серые пески с гнездами темно-серой глины и редкими обломками раковин. В скв. I3 нижний келловей представлен серым слюдистым алевритом с гнездами мелкозернистого песка, обломками обуглившейся древесины, стяжениями гириита и редкими пеленцоподами, среди которых П.А.Герасимовым определена *Astarte* sp. В д.Молоково (скв. З) нижнекелловейский подъярус слагается более тонкими глинистыми мучнистыми серыми и светло-серыми алевритами с тонкой косой слоистостью и присыпками алеврита, с гнездами мелкозернистого кварцевого песка, гравием кварца и кремня.

Алевриты и пески содержат спорово-пыльцевой комплекс, в котором в отличие от спорово-пыльцевых спектров среднерусских отложений *Tsucorodiacaea* и *Sellaginellacea*, а также древние формы *Rinaceae* и реликты *Cheiropleuria compacta* Bolch. и *Matoniopsis ritites* представлены в небольшом количестве, в единичных образцах. Из *Rinaceae* преобладают *Rinus*; постоянно присутствуют, но в меньшем количестве, чем в среднекелловейских и более молодых отложениях, *Lophotrilobites affluens* Bolch. и *Clossowropolis* sp. Содержание *Gleicheniacea* (10-12%) во всех образцах выше, чем у среднегорских отложений (3-4%) и ниже, чем у среднего и верхнего келловей<sup>x</sup>. Подобный спорово-пыльцевой спектр и положение в разрезе позволяют относить вмещающие отложения к нижнему келловею.

###### Средний подъярус

Породы среднего подъяруса мощностью 10-14 м в области распространения верхнерусских отложений встречаются повсеместно. Они с разрывом залегают на нижнем триасе, а в селах Молоково, Коряково и Кувакино (скв. З, 8, I3) – на нижнекелловейских алевритах и песках. Граница с триасом четкая, литологический состав выдержан по всей территории листа О-37-XIII. На контакте с нижним келловеем (в скв. I3) наблюдается прослой (0,25 м) светло-серого глинистого выветрелого мергеля с окатанными рострами белемнитов и раковинами пеленцоподами. Местами в основании среднего келловея встречаются хорошо окатанные темно-серые глянцевитые ожелезненные гальки алевролита или песчаника. Выше залегают глины неравномер-

<sup>x</sup>/ Спорово-пыльцевые комплексы юрских и меловых отложений изучались Н.А.Добруцкой.

#### Нижний подъярус

но алевритовые или песчаные, слабошлистоные, вверху иногда карбонатные, серые, местами черные и коричневатые. В глинах рассеяны железистые оолиты, значительные скопления которых приурочены к нижней части среднекелловейских отложений. Встречается мелкие гнезда и стяжения пирита, изредка фосфорита, следы водорослей и ходов червей, раковины аммонитов, гастропод, пелеципод, ростры белемнитов. Изредка среди глин наблюдаются прослои глинистого алеврита мощностью 0,35 и 1,1 м и тонкого песка мощностью 0,1 м. В состав алевритов и алевритовой примеси глин входят кварц, полевой шпат, кварцит, мусковит, хлорит, редкие зерна дистена и граната, встречаются (в виде точечных вкраплений марказита) ядра фораминифер. В верхней части среднего келловея выделяется характерный прослой мощностью 0,6–3,0 м выветрелых охристо-желтых и зеленых хлоритовых известковистых глин с железистыми оолитами, переходящих по простирации в глинистый мергель или известняк.

Охарактеризованные отложения содержат разнообразно представленную фауну, с руководящими для среднего келловея формами: *Cadoceras milaschewici* Nk.; *Kostmoceras castor* (Rein.), *Cylindroteuthis beaufortiana* (Orb.), *Zeilleria trautscholdi* (Naum.) и др. x/  
x из фораминифер – *Lenticulina kultztiformis* Mjatl., *L. polus-*  
*tris* (Mitjan.) и др. x/

#### Верхний подъярус

Породы верхнего подъяруса мощностью 2 м вскрыты только на северо-западе (см. I). Они представлены серыми и светло-серыми алевритовыми слюдистыми известковистыми глинами с гнездами пирита. Встречены *Quenstedticeras lamberti* (Sow.) – руковоющая форма верхнего келловея, *Entolium* sp., *Acrochordocrinus insignia* Trd. и фораминиферы, из которых для верхнего келловея наиболее характерны *Nubiculinella tenua* H. Byk., *Spirophthalmidium monstruosum* H. Byk., *Epistomina elschanicaensis* Mjatl., *E. quensis* Uhlig., *E. porcellanea* Bruckmann.

#### Оксфордский ярус – І<sub>3</sub> ю

В оксфордском ярусе по фауне выделяются нижний и верхний подъярусы.

x/ Определения макрофауны юрских и меловых отложений произведены П.А. Герасимовым, микрофaуны – Е.Я. Уманской.

#### Нижний подъярус

Нижний подъярус мощностью 1–5,5 м развит почти повсеместно. Нижнеоксфордские отложения с континентом в основании залегают трансгрессивно на келловее. Конгломерат мощностью 0,1–3 м состоит из глинистых железисто-олитовых мергелей и песчаников, включаяших обломки белемнитов. Выше залегают глины серые и светло-серые, в отдельных прослоях черные, неравномерно алевритовые, сильно известковистые, слюдистые и неясно слюдистые, местами с раковистым изломом. Встречаются гнезда глауконита, пирит, изредка фосфориты. В слюдистых разностях наблюдаются следы плозания червей и псевдоморфоз по растительным остаткам. Глины переполнены обломками и отпечатками раковин аммонитов, пелепицпод, ростров белемнитов. Определены *Cardioceras illovaisskyi* M. Sok., С. cf. *zenaidae* Jlov., *Pachyteuthis pandoriana* (Orb.) и большое количество других форм, а также фораминифера: *Lenticulina compressaformis* (Paalz.), *L. müntsteri* var. *belorussica* (Mitjan.), *Planularia lepida* Reuss. var. *jurensis* (Wian.), *Epistomina uniflagellata* Mjatl.

#### Верхний подъярус

Верхний подъярус мощностью 1–6 м установлен (по фауне) только по скважинам в селах Матвеевское, Кувакино и близ Нерехты. Здесь верхнеоксфордские глины, литологически сходные с нижнеоксфордскими, перекрывают последние без видимых разрывов. Они содержат *Amoeboceras cf. novoselkense* (Dav.), A. ex gr. *alternans* (Buch.), *Cylindrotenthis producta* (Qust.), *Aucella kirgisensis* Sok. и др., а также фораминифера *Lenticulina superejurassica* (Schwag.), *Citharina belorussica* Mitjan., *Epistomina uniflagellata* Mjatl.

#### Кимериджский ярус – І<sub>3</sub> к

#### Нижний подъярус

Нижний подъярус мощностью 1–10 м имеет повсеместное распространение, отсутствуя лишь в районе д. Беркачка (см. II). Он представлен глинами, часто мало отличающимися от глин оксфорда. В основании иногда наблюдается брекчевидная текстура у глин, местами – стяжения буровато-серого известковистого песчаника. Выше залегают черные и темно-серые алевритистые известковистые

глины, иногда с жирным блеском у черных разностей. Встречаются прослои сланцеватых глин, наблюдаются псевдоморфозы по растительным остаткам, следы ползания червей, стяжения и гнезда пирита, местами глауконита, изредка фосфориты, обломки раковин и ростров белемнитов. Определены: Amoebooceras kitchini (Salf.), Raspilia stephanioides (Opp.) Demosiphonites cf. pralairei (Favre.) Cyindrotenthis kostromensis Geras., Laevidentalium glareum (Eichw.), Meleagrinella subtilis (Geras.), Ambreleja diolus (Loripes kostromensis Geras. и др. Из фораминипулса Geras., Loripes kostromensis Geras. и др. Из фораминипулса Geras., Tristix furstenkoffer наибольее характерны для нижнего киммериджа Tristix furstenkoffer Russicus (Mjat.), L. russicus (Mjat.), Trondicularia nikitini Uhlig., T. rjasanensis (Uhlig.) и ряд новых видов.

#### Верхний подъярус

Верхний подъярус выделяется по фауне фораминифер в скв. З, 8, 6 и 13, где мощность его составляет соответственно 1,3; 0,5; 0,8; 0,95 м. Верхнекиммериджские отложения, вскрытые скв. З, 8 и 6, представлены светло-серой известковистой глиной, переходящей вверху (скв. 6 и 8) в глинистый мергель, и выше – в темно-серую алевритовую сильно известковистую глину с неопределенными остатками аммонитов и пеленкопод. Скважиной 13 вскрыта черная алевритовая известковистая глина с гнездами пирита и галькой алтер-товаия с фосфатным цементом в основании. Комплекс фораминифер обеднен по сравнению с нижнекиммериджским. Наиболее характерны для него Eristostoma alveolata Mjat. и E. reproducticulata Mjat. В литологически сходных и занимавших одинаковое стратиграфическое положение глинах, содержащих аналогичный комплекс фораминифер, в Галичском районе (п. Дынеково) П. А. Герасимовым определены Aulacosternopsis cf. pseudomutabilis Lor. – форма верхнекиммериджская. Это дает основание отнести охарактеризованное отложения также к верхнекиммериджскому подъярусу.

#### Волжский ярус – J<sub>3</sub>v

Волжский ярус встречен только на северо-востоке скв. З, где мощность его составляет 1,5 м. Здесь на глинах нижнего киммериджа с размытом залегает темно-зелено-серая известковистая глина с гнездами глауконитового среднезернистого песка, содержащая фораминиферы: Legena hispida Reuss., Lenticulina infravolgaensis (Furss. et Pol.), L. embensis (Furss. et Pol.), Saracenaria prolata K. Kuan., Citharina brevis (Furss. et Pol.), Pseudole-

marckina polonica (Biel. et Poz.). Приведенный комплекс фораминифер, по заключению Е. Я. Уманской, характерен для нижнего подъяруса волжского яруса.

#### МЕЛОВАЯ СИСТЕМА

##### Нижний отдел

Нижнемеловые отложения залегают с размытом обычно на киммеридже, в районе д. Молоково (скв. З) – на нижневолжских глинах, а в районе д. Беркахи (скв. 12) – на шиллингском горизонте. Отметки подошвы системы колеблются от 19 м на юге до 93,8 м на северо-востоке, 17 м на северо-западе и 10 м на западе. На водоразделе рек Черной и Волги мощность нижнемеловых отложений не превышает 18 м, а в погруженной северо-западной и западной частях территории достигает 80 м. Нижний мел представлен валанжинским, горивским, барремским, а также аптским ярусами.

##### Валанжинский ярус – St<sub>1</sub>v

Нижний подъярус

Нижний подъярус мощностью от 0,1 до 5 м развит повсеместно. Он представлен железисто-обсидиановыми и глауконитово-кварцевыми, мелко-, средне- или разнозернистыми песчаниками, зеленовато- и буровато-серыми, иногда буровато-черными и охристо-бурыми. Они содержат гальку и гравий глинистых черных фосфоритов, железистого песчаника, кварца, кремня. В состав оолитового мелкозернистого песчаника с карбонатно-железистым цементом входит угловатые и полукруглые зерна кварца, пластинки мусковита, реже биотита, изредка зерна ставролита. Оолиты размером 0,5 мм состоят из ядра кварца или биотита и карбонатной или железистой оболочки. Глауконитово-кварцевый песчаник состоит из разнокачественных зерен кварца, бурых и зеленых зерен глауконита, фосфорита, псевдоморфоз глауконита по дегриту флюмы, изредка – зерен полевого шпата. Цемент поровый, из глауконита и анизотропного фосфата, или типа обрастания, состоящий из радиально-лучистого окислов железа.

Среди охарактеризованных отложений встречаены обломки белемнита *Pachyteuthis arctica* Blauth., что говорит о нижневолжинском возрасте имеющих пород.

Породы данного возраста развиты также посеместно. Отсутствие их отмечается только в центральной части территории (пос. Космынино, г. Нерехта), где нижневаланжинский подъярус перекрывается нерасщлененными готерив-барремскими отложениями. К югу от пос. Космынино мощность характеризуемых отложений около 2-2,5 м. Максимальная мощность, равная 44 м., отмечена на северо-западе (скв. 1).

Нижняя граница проводится по смене песчаников нижнего валанжина песками и алевритами. На северо-западе (скв. 2) в основании среднего валанжина залегает темно-зеленый и буровато-серый кварцево-глауконитовый слоистый ожелезненный алеврит мощностью 0,6 м., содержащий гравий железнистого песчаника. В выше залегающих песках мелкозернистые сладистые зеленовато- и буровато-серые глауконитово-кварцевые, поверху сменяющиеся кварцевыми серыми гумусированными, содержащими прослойки (1 см) черной алевритовой глины. В верхней части содержание гумуса уменьшается и пески светлеют, переходя в чистые белые. Часто наблюдаются тонкая волнистая слоистость и скопления пластинок мусковита по напластованиям. Встречается стяжения серого песчаника с глинисто-известковистым цементом. Такой же характер имеют средние и верхневаланжинские отложения на юго-западе и западе. На востоке - в районе сел Матвеевского и Коряжово (скв. 8) пески замещены сильно следящими ("серебристыми") серыми и темно-серыми алевритами.

В приводимой ниже табл. 2 показано содержание основных минералов тяжелой и легкой фракций нижнекемеловых и неогеновых отложений по данным минералогических анализов, промежуточных имеющихся по данному методом. Из таблицы видно, что в тяжелой фракции средне- и верхневаланжинских отложений в большом количестве встречаются черные рудные минералы (ильменит и лейкоксен), из прозрачных - гранат и цистен. В значительном количестве, хотя и меньшем, чем в триасе (см. табл. 1), присутствуют минералы группы эпидота, содержание которых в характеристиках отложений уменьшается снизу вверх. В легкой фракции преобладает кварц.

Фауна не обнаружено. На территории соседнего листа 0-37-ХХI в аналогичных слоях встречена фауна среднего и верхнего валанжина, что позволяет отнести отложения условно к средне- и верхневаланжинским.

Нерасщлененные отложения готеривского и барремского ярусов мощностью от 6 м в тектонически приподнятом районе у с. Коряжово до 45 м на западе с размытым залегают на средне-верхневаланжинских образованиях, а в районе пос. Космынино - на нижнем валанжине.

Нижняя граница четкая, иногда карманообразная. В склонаниях встречается галька глинисто-известковистого и сидеритового гесчаника. Важе залегают алевриты и пески с прослойками алевритовой глины. В местах, где готерив-барремские отложения достигают наибольшей мощности, в нижней части их развиты пески мощностью до 9,5 м. Пески буровато- и зеленовато-темно-серые, мелко- и среднезернистые, с редкими крупными зернами, глинистые кварцевые, с примесью глауконита и темноцветных минералов. Встречаются стяжения глинисто-известковистого, местами ожелезненного песчаника и линзы алевритовой глины. Выше пески сменяются темно-серыми и черными алевритами с невыдержанной линзовидной слоистостью. Встречаются гнейзы песка светло-серого кварцевого и зеленовато-серого глауконитового, стяжения пирита, изредка псевдоморфозы по растительным остаткам. Вверху часто залегают черные алевритовые глыбы с гнейсами и присыпками песка с гравием.

Как это видно из табл. 2, по минералогическому составу готерив-барремские отложения отличаются от валанжина повышенным содержанием минералов группы эпидот-циозита и пониженным - граната, дикстена, ставролита, турмалина. Встречается хлорит (0,7-3,2%) и биотит (ед.-1,1% и в одном образце - 70,2%).

В темном зеленовато-сером песке и сидеритовом песчанике из основания готерив-барремских отложений (скв. 2) обнаружены плохо сохранившиеся ядра *Bivalvella obliterata* (Л. Г.) и *Nucellina sp.*, а на территории листа 0-37-ХХI в аналогичных отложениях встречены *Simibirkites sp.* По заключению П. А. Герасимова, эта фауна может свидетельствовать о готерив-барремском возрасте вышеупомянутых отложений.

#### Аптский ярус - Ср<sub>1</sub>ар

Аптский ярус мощностью 5-10 м вскрыт на северо-западе скважинами I и 2. В основании залегают темно-серые и черные алевриты и алевритовые глины, включая гравий и гальку кварца, ожелезненного кварцита, мелкозернистого глауконитового кварцевого

Таблица 2

Геоло- гический индекс и содер- жание также- лой фрак- ции, %	Содер- жание непроизра- чных (рудных) фракций, %	Тяжелые фракции, %										Легкая фракция, %		Количество анализов и скважин, из которых взяты об- разцы			
		Прозрачные					Аутитенные					Терригенные					
Магне- тичес- тво- тано- магне- тил	Лей- ко- сен	Циркон	Рутил	Тур- малин	Гра- нат	Лис- тен	Ставро- лит	Силли- манит	Сфеен	Апа- тил	Эпидот- цикозит	Рого- вая об- ман- ка	Хло- рит	Окислы и гид- ророссы на же- лезе	Кварц	Полевые шпаты	
N	0,15- 0,5	25,5-56,6	6,8- 14,8	2,5- 7,5	2,3- 5,1	6,4- 9,1	3,9- 6,2	2,5- 6,4	2,8- 2,1	9,8- 33,0	3,4- 3,4	—	—	85,1- 93,3	0,7- 9,9	6 образцов из одной скважины	
Cr <sub>1</sub> ap	0,8- 0,88	27,1 28,3 40,5	5,8 3,6 6,2	12,4 6,6 16,5	3,7- 7,0 5,0	1,3 8,5 2,7	3,5 8,5 7,0	1,7 1,7 1,3	0,4 0,9 0,8	14,5 18,8 5,8	—	—	—	84,0 87,7 87,1	9,8 9,4 8,9	3 образца из одной скважины	
Cr <sub>1</sub> h-b	0,5- 2,5	8,9- 40,0	1,1- 5,5	Ep. 5- Ep. 5-	Ep. 4,5- Ep. 4,5- сред- ним 0,9- 5,7	Ep. 9- 19,1	0,8- 13,6	0,6- 4,3	Ep. - 2,0	3,0- 1,6	11,1- 32,7	0,7- 3,2	1,9- 2,3	64,4- 34,2	3,5- 34,2	40 образцов из пяти скважин	
Cr <sub>1</sub> V <sub>2</sub> -3	0,25- 2,8	11,8- 33,5	Ep. 9- 4,8	Ep. 2- 0,9	0,5- 0,8	10,0	3,3- 21,3	2,6- 18,7	0,9- 10,9	0,7- 1,4- в одном образ- це	4,5- 1,4- в одном образ- це	—	1,6- 5,7	0,1- 5,2	60-96 19,5	19,5	39 образцов из двух скважин

песчаника, несогласно залегающих на алевритех готеривского-барремского ярусов. Песчаник зеленовато-серый и зелено-серый, с глинистым, местами фосфатным цементом. Ване залегают черные глинистые алевриты с линзовидной слойностью, присыпками, прислойками и гнездами серого и зелено-серого песка, выплюнувшего пустоты от растворительных остатков. Песок мелкозернистый, местами среднеэзернистый, кварцевый и кварц-глауконитовый. Встречается гнезда серого слюдистого алеврита. Кверху скваска алеврита светлеет и наблюдается тонкая волнистая слойность, обусловленная чередованием светлых и более темных, в разной степени глинистых разностей алевритов. По скважине I верхняя часть алтского яруса представлена серыми мелкозернистыми кварцевыми песками, содержащими крупные чешуйки мусковита. Местами пески косослонистые с гнездами и линзами (1 мм - 1 см) черного гумусированного алеврита, реже глины.

В тяжелой фракции алевритов и песков алтского яруса (см. табл. 2) в отличие от готерив-барремских отложений наблюдается пониженное содержание минералов группы эпидот-диоптина и относительно повышенное - дистена, ставролита, силиманита.

В спорово-пыльцевом комплексе аптга, как и всех нижнемеловых отложений, господствуют споры папоротников и папоротникобразных, среди которых доминируют споры *Gleichenia* (72% от общего состава форм). Кроме *Gleichenia angustata* (Naum.) Bolkh., *G. imponata* Bolkh., *G. laeta* Bolkh., характерных для нижнего мела, в этом комплексе присутствуют *G. radiata* Bolkh., *G. carinata* Bolkh. и др. Споры *Gleichenia triplex* Bolkh., появляющиеся лишь в единичных экземплярах в верхнем валанжине, в этом комплексе достичь максимального значения (12%). Содержание спор *Schizaea*, гарпант максимального значения (12%). Уменьшается также содержание спор *Coniopteris* sp., *Gibotium* sp., *Hausmannia* sp., *Alsopoda* sp. и других реликтов юрской флоры. Заменную роль играет пыльца *Pinus* п/р, *Naploxyylon*, *Rhus* sp., *Picea* sp., *Ripariaeae*, *Podocarpus* sp., а также пыльца типа *Rorbiophraea minor* (Mal.) Bolkh. *Rorbiophraea* sp. Этот спорово-пыльцевой комплекс характерен для алтских отложений Русской платформы.

#### НЕОГЕНОВАЯ СИСТЕМА

вс., в долине р. Солоницы у г. Нерехты и на западе - в долине р. Волги. Они залегают на размытой поверхности отложений различного возраста - от верхнеиндского до готерив-барремского и перекрываются четвертичными образованиями. Мощность колеблется от 8 до 60 м. Абсолютные отметки подошвы изменяются от 96 до 73 м, покинувши в направлении на запад и к центральной части водораздела рек Солоницы и Волги, где увеличивается и их мощность.

Неогеновые отложения представляены песками разноэнергистыми, реже мелкоэзернистыми, светло-желтыми и светло-серыми кварцевыми с примесью темноцветных минералов. Зерна кварца хорошо окатаны. Встречается гравий и мелкая (1-2, реже до 4 см) галька кварца, кремня, изредка кварцита и известняка. Встречаются также мелкие линзы и прослои (от 2 до 5 м) глин, приуроченные к разным частям разреза. Глины алевритовые зеленовато-серые, серые, на контакте с песками железненные, изрелька (св. 10) черные, с гнездами вишианита, слюдистые, горизонтальнослоистые. Наличие вишианита и косой слоистости песков говорит об аллювиальном и озерном генезисе этих отложений.

Сравнение минералогического состава неогеновых и нижнемеловых отложений (см. табл. 2) показывает, что в неогене почти отсутствует пирит-марказит и уменьшается содержание граната. Увеличивается, особенно по сравнению с потери-барремом и аптом, содержание ставролита, силиманита и роговой обманки. Фауна не встречена. Обильное содержание спор и пыльцы обнаружено только в черной алевритовой глине (св. 10), залегающей в 18,5 м от кровли неогеновых отложений. В спорово-пыльцевом комплексе/ (рис. I) преобладают споры древесных пород; на долю травянистых растений приходится от 2 до 18%. Содержание спор колеблется от 8 до 42%. Встречена пыльца следующих древесных пород: *Ricea* (sec. *Eupicea* и *Omarica*), *Pivus* п/р *Diploxyylon* cf., *P. silvestris* и п/р *Naploxyylon*, *Tsuga*, *Abies*, *Sequoia*, *Taxodiaceae*, *Taxaceae* (?), *Cupressaceae*, *Cycadaceae* (?), *Salix*, *Betula*, *Alnus*, *Myrica*, *Pterocarya*, *Juglans*, *Ginkgo*, *Ilex*, *Fagus*, *Nyssa*, *Acer*, *Carpinus*, *Ulmus*, *Tilia*, *Quercus*, *Corylus*. Из приведенного списка видно, что лесная флора соответствующих слоев отличалась богатством и разнообразием. Наряду с родами, входящими в состав современной флоры, большую роль играли теплолюбивые экзоты. Состав пыльцы травянистых и кустарниковых растений

/ Спорово-пыльцевые комплексы неогеновых и четвертичных отложений изучались В.В. Писаревой.



Рис. I Спорово-пыльцевая диаграмма неогеновых отложений у д. Челпаново.  
Составила В.В.Писарева

1 - песок; 2 - глина; 3 - алеврит; 4-6 - общее количество: 4 - пыльцы травянистых растений; 5 - споровых растений; 6 - пыльцы древесных растений; 7 - *Picea*; 8 - *Pinus*; 9 - *Betula*; 10 - *Salix*; x) - возможно переотложенная пыльца

однообразен. Он представлен в основном семействами *Equisetaceae*, *Gramineae*, *Cyperaceae*, *Sphagnum*. Среди спор преобладают *Rouleodiacaea* и *Sphagnales*, присутствуют *Cycadaceae* и единично - споры *Osmunda*. Помимо перечисленных родов растений во всех образцах встречены пыльца и споры мезозойского возраста, по-видимому, переотложенные. Приведенный спорово-пыльцевой комплекс значительно отличается от спорово-пыльцевых комплексов как мезозоя, так и четвертичных отложений. В.В.Писарева, сравнивая его со спорово-пыльцевыми спектрами зеленовской свиты Поломсковья (Р.А.Ильинский, 1963) и Ильино-Заборской и Александровской свитами Горьковской области (Г.И.Блом, 1960), для которых установлен предположительно олигоцен-миоценовый возраст, приходит к выводу, что рассматриваемые отложения отличаются от называемых свит меньшим содержанием реликтовых форм. В них совсем не встречаю распространенных в палеогене и миоцене *Castanea*, *Saxa*, *Liquidambar*. На этом основании можно предполагать, что возраст охарактеризованных отложений - плиоценовый.

#### ЧЕТВЕРТИЧНАЯ СИСТЕМА

Четвертичные отложения лежат на неровной поверхности до-четвертичных пород, заполняют древние глубокие долины (ложбины), врезанные значительно ниже уровня современных рек, и перекрывают древние водоразделы (рис. 2). Днища этих долин расположаются на абсолютных отметках от +50 до -112 м. Древние долины или совпадают с современными долинами рек Волги, Костромы, Солоницы, или проходят вблизи них.

Наиболее высокие (абс. высота 110-115 м) участки древних водоразделов, простирающиеся с северо-запада на юго-восток, наследуются в современном рельфе. Мощность четвертичных отложений колеблется от нескольких метров до 256,5 м (скв. 21 - 256,5 м).

На территории листа выделяются морены Днепровского и московского горизонтов и связанные с ними водно-ледниковые отложения. Возраст указанных отложений подтверждается спорово-пыльцевыми определениями из одицковских и микулинских межледниковых отложений. При этом отложения с микулинской флюоритой не перекрыты мореной, что противоречит взглядам А.И.Москвитина (1947, 1950, 1954), выделявшего здесь морену калининского оледенения. Не перекрыт мореной и микулинский торфяник у с. Ятское. Песок с единичной галькой, залегающий над торфяником, Москвитин А.И. отнесен к калининской морене. В.Н.Сулачев (1964) эти же пески называет

перемятой мореной. Алевиалиевые отложения в долинах рек Нерехта, Кисы, Черной слагают пойму, первую надпойменную, а в долинах рек Волги, Костромы и Солоницы вторую надпойменную террасы. К аллювию первой и второй надпойменных террас местами приурочены эоловые образования. На меандрующих и в долинах рек развиты современные болотные отложения. Морена московского горизонта и участками водно-ледниковые отложения плащеобразно перекрываются перигляциальными (покровными) суглинками. На склонах развиты делювиальные отложения. Они имеют незначительную мощность (до 0,2–0,3 м), узко локальное распространение и на карте не показаны. Достоверных данных о наличии на территории листа морены окского горизонта нет. Не исключено, что эта морена заполнила глубокие дощетвертичные долины, но впоследствии была размыта. Возможно, что остатки морены, сохранившиеся в локальных котловинах, нами не обнаружены.

### Среднечетвертичные отложения

К среднечетвертичным отложениям относятся водно-ледниковые и ледниковые отложения днепровского и московского горизонтов, алевиалиевые и озерно-болотные отложения, залегающие между моренами указанных горизонтов.

#### Днепровский горизонт

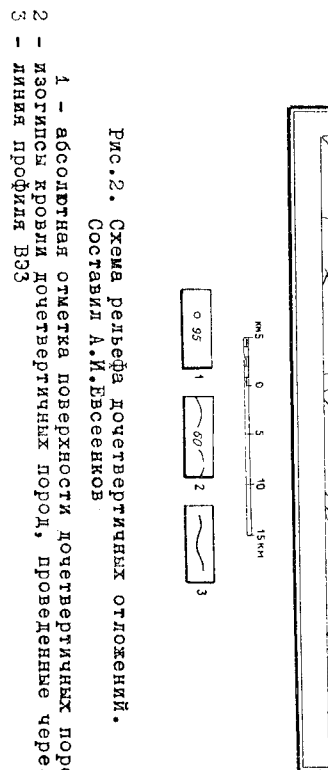


Рис. 2. Схема рельефа дощетвертичных отложений.

Составил А.И. Евсеенков.

- 1 – абсолютная отметка поверхности дощетвертичных пород, проведенные через 20 м;
- 2 – изогипсы кровли дощетвертичных пород, проведенные через 20 м;
- 3 – линия профиля №3

**Водно-ледниковые отложения в речной наступившей леднике (*f, 1sg1 dn'*).** Водно-ледниковые отложения времени наступления ледника на поверхность не выходят, залегают на дощетвертичных породах и вскрываются скважинами в юго-западной и центральной частях территории, на абсолютных высотах 50–80 м. Мощность этих отложений колеблется от 3 до 20 м. Они представлены желтыми, желтовато-серыми и желтовато-бурыми, преимущественно разнозернистыми кварцевыми песками с редкой галькой осадочных и кристаллических пород. В древней ложбине в верховых рек Игорь и Черной под мореной днепровского горизонта залегают желтые разнозернистые пески с обилием гальки и редких валунов размером до 30 см. Залегание этих отложений непосредственно под мореной днепровского горизонта и отсутствие в них флористических остатков позволяет предположительно связать их накопление с временем наступления Днепровского ледника.

## Днепровский горизонт

**Ледниковые отложения (морена) (B1dп).** Морена днепровского горизонта широко распространена на территории листа. Она перекрывает древние водоразделы и спускается ниже уреза современных рек в древние переуглубленные долины и большей частью заполняет их. Мощность морены на водоразделах составляет 10–30 м; в древних долинах она достигает 70 м. Чаще всего морена представлена красновато-коричневыми и буровато-коричневыми очень плотными валунами суглинками. На юго-востоке территории в районе д. Арменки морена сложена коричневыми суглинками с галькой и валунами известняка, гранита, габбро-диорита, шокшинского кварцита, кремни и кварца. Местами в толще ледниковых отложений встречаются линзы, маломощные прослойки песков (д. Левашово) и скопления гравийно-галечного материала (д. Яковлево). В морене, заполняющей древние долины, встречаются крупные (до 22 м) отторжения. Чаще всего в отторжениях наблюдаются до-четвертичные породы: у д. Воронино это триасовые глины и мергели, у д. Стрельниково – алевриты и глины юрского и мелового возраста. Морена сильно карбонатна. Минералогический состав морены изучался по нескольким скважинам. Среди минералов тяжелой фракции (содержание которой в морене составляет 0,001–0,0167%) преобладает группа эпидот-диопзита (31–45%). Лиственит, ставролит, силиманин в сумме составляют 2,2–11,8%, роговая обманка – 8–16%, рудные – 5–17%, гранат – 1–7%. В легкой фракции преобладает кварц, полевой шпат, хлорит, глауконит; гипс встречается в очень небольших количествах.

Широкое распространение морены, прослеживающейся далеко за пределы описываемой площади, залегание на ней отложений с однодревской межледниковой пыльцой как на территории листа, так и вне ее (В.В. Писарева, 1965, Г.А. Абрамов и др., 1962 г.) доказывает ее днепровский возраст.

### Днепровский-московский горизонты

**Водно-ледниковые, алювиальные, озерные и болотные отложения не-расчлененные (f, B1dп-m).** Характерной особенностью указанного комплекса отложений является его расположение между моренами днепровского и московского горизонтов и лишь местами, где днепровская морена размыта, он залегает непосредственно на дочетвертичных породах.

Межморенные отложения прослеживаются на юго-западе, юго-востоке и центральной части территории. На северо-западе и севере, а местами и на юго-востоке, межморенные образования отсутствуют. Наибольшая мощность межморенных отложений наблюдается в древних долинах, где она достигает 161 м (связ. 21 – 161,4 м). На водораздельных участках она уменьшается до 10–20 м. Межморенные отложения характеризуются невыдержанностью литологического состава и частой сменой фаций по простирианию. Обычно преобладают флювиогляциальные желтые и желтовато-серые кварцевые разнозернистые пески с редкой галькой и гравием (скв. у д. Никитино, Песочное, Тарьково). Нередко галька и гравий образуют скопления в основании (д. Челпаново). В погребенных долинах флювиогляциальные отложения представлены мелко-, средне- и тонкозернистыми песками (нередко переслаивающимися между собой) с галькой и редкими валунами гранита и кварцита. Минералогический анализ песков выявил (в %) в тяжелой фракции (содержание тяжелой фракции составляет 0,002–0,0126%) эпидот-диопзит – 8,2–37,5, лиственит + силиманин – 9–15, роговую обманку – 2,4–22, рудные – 6,8–32, турмалин – 0,5–2,5, апатит – до 3,4, барит – до 1,9, рутил – до 1,7. Количество рудных минералов, граната в межморенной толще больше, чем в подстилающей морене, а эпидот-диопзит, наоборот, в этих отложениях присутствует в несколько меньшем количестве. В легкой фракции (в %) содержится кварц – 41,3–91, полевые шпаты – 2,6–23,9, хлориты – 0–27,1, глауконит – ед.–2,3, слюда – ед.–7,2, гипс – ед.–4,3, фосфаты – 0–ед.

Алювиальные и озерно-болотные отложения встречены вне древних долин. Так, в цоколе второй надпойменной террасы у железнодорожного моста вблизи г. Костромы, на левом берегу р. Волги наблюдаются выходы желтого-серых среднезернистых кварцевых, косослоистых песков, постепенно переходящих книзу в галечник. По простирианию среднезернистые косослоистые пески замещаются мелкозернистыми, а затем переходят в серовато-зеленые торфяные суглинки и глины с горизонтальной слоистостью. Аналогичные глины были встречены в скважинах у деревень Савостьяново, Слобода, Горки, Беркаиха. Межморенные отложения, залегающие на дочетвертичных образованиях и перекрытые мореной московского оледенения, были палинологически изучены по скважине у д. Поляны. Здесь во всех образцах преобладает пыльца древесных пород, из которых главная роль принадлежит в нижней части бересклету и сосне, а в верхней, кроме того, фиксируется увеличение содержания пыльцы ели. Плохая сохранность пыльцы широколиственных пород свидетельствует о том, что она находится в переотложенном состоянии.

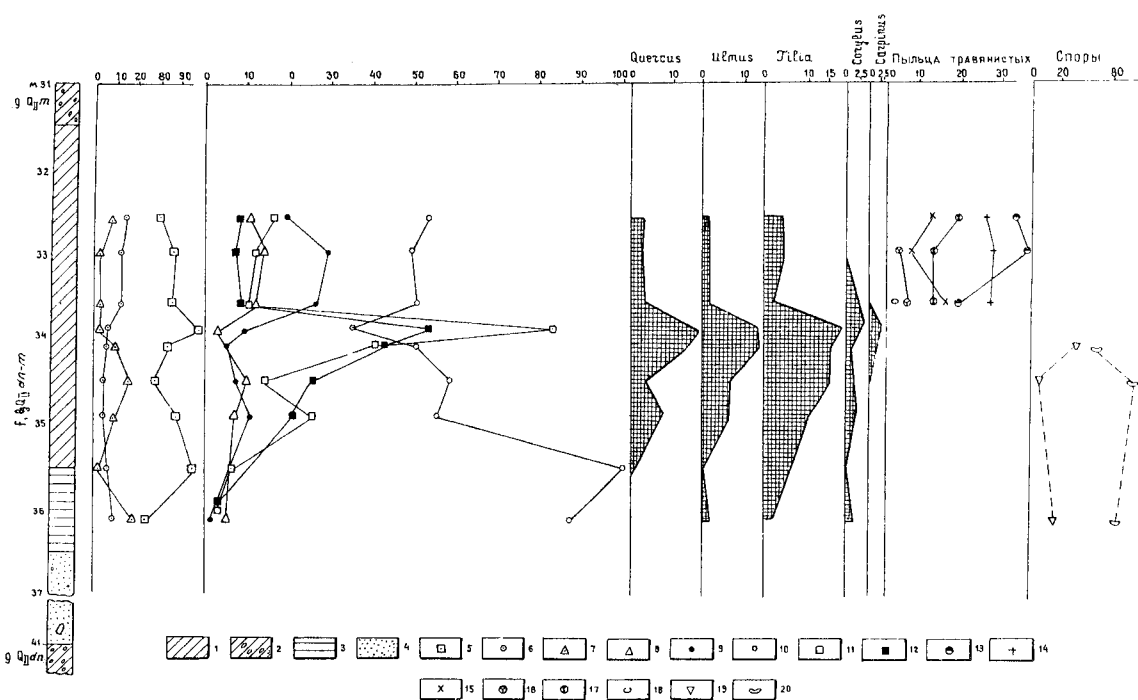


Рис.3. Споро-пыльцевая диаграмма одинцовских отложений у д.Беркаиха. Составила Г.А.Орлова  
1 - суглинок; 2 - суглинок валунный; 3 - глина; 4 - песок; 5-7 - общее количество: 5 - пыльцы древесных растений; 6 - пыльцы травянистых растений; 7 - споровых растений; 8 - *Picea*; 9 - *Pinus*; 10 - *Betula*; II - *Alnus*; I2 - общее количество пыльцы широколистенных пород; I3 - *Gramineae*; I4 - *Artemisia*; I5 - *Chenopodiaceae*; I6 - *Ericales*; I7 - разнотравье; 18 - *Cyperaceae*; 19 - *Bryales*; 20 - *Polypodiaceae*

Весьма характерным является почти повсеместное присутствие пыльцы тундровых растений — карликовой берескки и ольховника, что в сочетании с находкой пыльцы эфедры свидетельствует о суровых условиях, свойственных приледниковым бассейнам. Наиболее четкая споро-пыльцевая диаграмма (рис.3) была получена по скв.23 у д.Беркаиха из отложений, залегающих между моренами. На ней видно, что в пыльце преобладают древесные породы, среди которых широколистственные составляют до 53% (климатический оптикум). Широколистственные представлены дубом, вязом и липой с небольшой примесью граба и лещины. В нижней части толщи преобладает береска (нижний максимум), а в верхней — наряду с береской присутствует и сосна (верхний максимум). При сопоставлении приведенной диаграммы со стратотипическими диаграммами одинцовских отложений (Шир), составленными по разрезам у пос. Поруднянского, деревень Глазово, Пепелово (С.М.Шик, 1957 г., А.М.Медем, А.И.Ессеинков, 1963 г.), видно, что содержание пыльцы и ее состав выражаются в тех же величинах, что и на опорных диаграммах. Таким образом, накопление отложений межморенного комплекса происходило в эпохи между днепровским и московским оледенениями.

#### Московский горизонт

**Л е д н и к о в ы е о т л о ж е н и я ( м о р е н а )** (Шир.). Ледниковые отложения московского горизонта прослеживаются на большей части территории листа. Они перекрывают древние водоразделы на северо-западе (Дутятино, Долгушки, Хиново), повсеместно опускаются в долины рек Волги, Соловьи, Черной, Костромы и мощным чехлом выстилают неровное ложе Костромской низины. Необходимо отметить, что территория листа располагается в краевой зоне московского оледенения — в полосе конечных морен, к которым нередко приурочены камы. Граница оледенения прослеживается на смежной с юга территории листа О-ЗГ-ХХІ. На территории с юго-востока заходит Фурмановская полоса конечных морен, в центральной части (у г.Костромы) наблюдается южное окончание Галицко-Чулымской конечноморенной гряды, на северо-западе — Даниловской. Мощность морены обычно составляет 15-25 м, а в конечно-моренных зонах нередко увеличивается до 60 м. Литологический состав морены московского горизонта непостоянный. Чаще всего она представлена кирпично-красными песчанистыми грубыми карбонатными суглинками, более обогащенными обломочным материалом, чем морена днепровского горизонта.

Морена часто содержит линзы и прослой песка (деревни Песочное, Матвеево), гравий, щебенку (деревни Беркаиха, Долгушки). Особенно сильно опечтана она в области развития конечных морен. Здесь морена сложена плохо отсортированными песками и галечниками (д.Дубенки). Нередко в морене наблюдаются крупные, до 3 м в диаметре, валуны транита, габро-диорита, кварцита и др. пород (карьер Каменка, д.Косково). Иногда в ней встречаются отторженцы до четырех пород. Так, триасовые и юрские глины у пристани г.Костромы и у завода "Рабочий Металлист", описанные многими исследователями, оказались не в коренном залегании, как это предполагалось ранее, а представляют собой отторженец в морене. Скважина, расположенная в 100 м от этого обнажения, на тех же абсолютных отметках вскрывает моренные суглинки.

В четырех скважинах у г.Нерехты и пос.Космино под кирпично-красной мореной залегает красновато-коричневая, отделенная флювиогляциальными песками и озерно-ледниковых глинями мощностью до 4-7 м. Спорово-пыльцевой анализ нескольких образцов из озерно-ледниковых глин (скв.Г9 у д.Левашово) выявил присутствие пыльцы тундровых элементов — карликовой бересеки и ольховника и большое количество травянистых, в основном полыней, что свидетельствует о суповой обстановке, свойственной части ледника. В других скважинах аналогичные отложения пыльцы и споры не содержат. По всей вероятности, флювиогляциальные и озерно-ледниковые глины и пески следует сопоставлять с интересиальными отложениями Московского горизонта на территории листа О-37-ХХIV, где получены более полный палеоботанический материал (В.В.Писарева, 1964 г.). Локальность распространения и малая мощность интересительных отложений обуславливают невозможность их выделения на карте. Минералогический состав морены Московского горизонта оконтактируется по некоторым скважинам. Среди минералов тяжелой фракции (содержание 0,0142-0,0227%) в морене преобладают (%) неустойчивые: роговая обманка 15-33, эпидот + циозит 1-40. Основные минералы встречаются в следующих количествах (%): рудные — 11-38, гранат — 1-17, листен+стеволлит+силиманит — 1-9, циркон — 2-8, окислы и гидроокислы железа — 3-14, сидерит — 0-50, фосфаты — 0-14, апатит — 0-4, сфен — 0-3. В легкой фракции преобладает (%) кварц (65-85) и полевой шпат (16-32).

Московский возраст морены обосновывается ее стратиграфическим положением и спорово-пыльцевыми анализами подстилающих и перекрывающих ее образований. Как сказано выше, она залегает на отложениях с одноловской межледниковой пылью, а у д. Песочное, с.Мал.Соли и в ряде других пунктов за пределами территории

(П.А.Большакова, 1963 г., Г.А.Абрамов, 1962 г.) к ней прислонены озерно-аллювиальные отложения с микулинской межледниковой фазой.

#### Московский горизонт

**В о л н о - л е д н и к о в ы е о т л о ж е н и я**  
о з о в и к а м о в (о.камп.т.). Камовые отложения развиты на северо-западе, юго-востоке и в центральной части района и приурочены к конечным моренам. Камы образуют пологие овальные или другой формы холмы или гряды холмов. В Фурмановской гряде краевых образований преобладают камы мощностью 7 м, сложенные из переслаивающихся песка, гравия, гальки кристаллических и осадочных пород. Содержание гальки в них уменьшается обычно книзу. Камы на Даниловской гряде сложены мелко- и тонкозернистыми, частично горизонтальнослойстыми песками с редкими маломощными ожелезненными прослоями и редкой кремневой и кварцитовой галькой. Мощность песков до 22 м. Образование камов связывается с действием водно-ледниковых потоков, а возраст их определяется привнесенной к конечной морене Московского горизонта, с которой они генетически связаны.

#### Московский горизонт

**В о л н о - л е д н и к о в ы е о т л о ж е н и я**  
в р е м е н и о т с т у п а н и я л е д н и к а (г, 1911м,\*)  
Водно-ледниковые отложения времени отступания ледника распространены небольшими участками на юго-востоке и северо-западе территории. К ним относятся флювиогляциальные и озерно-ледниковые отложения, взаимозамещающие друг друга по простиранию. Мощность отложений колеблется от 1,5 до 15 м. Флювиогляциальные отложения образуют зан드ровые поля, обычно примыкающие к юго-восточной стороне к грядам конечных морен. Останцы зандровых полей наблюдаются и среди второй надпойменной террасы на Междуречье Кубани и Кешки. Они сложены обычно разнозернистыми желтыми и желтовато-коричневыми кварцевыми песками, нередко содержащими линзы гальки и гравия (карьер у пос.Космино, д.Дьяконово). Озерно-ледниковые отложения развиты в Костромской низине, а также в замкнутых озеровидных котловинах на северо-западе района. Они представляют глины мощностью 1-2 м, сложенные глинистыми линзами поколадного и желтовато-коричневого цвета с хорошо выраженной ленточной слоистостью, а также слоистыми суглинками

желтовато-серыми и серыми, иногда иловатыми.

Спорово-пыльцевой анализ образцов из скважины у д. Очкино, пробуренной в одной из таких котловин, выявил почти во всех об разцах преобладание пыльцы берес (местами до 90-95%), среди которой встречена пыльца как древовидной, так и кустарниковой формами. Пыльца сосны и ели всегда отмечена в небольших количествах. Среди спор особенно характерным является присутствие грозовика *Betulites bogoreale*, приспособившего сейчас в тундре. Можно предполагать, что эти отложения формировались в третичных бассейнах. Климат отличался от современного значительной суровостью и, по-видимому, влажностью. Возраст описанных отложений обосновывается наледанием на них отложений с микулинской пильцой и подстиланием их мореной московского горизонта.

#### В е р х н е ч е т в е р т и ч н ы е о т л о ж е н и я

К верхнечетвертичным отложениям относятся нерасщлененный комплекс отложений перигляциальных зон валдайского оледенения (покровные суглинки), аллювиальные и озерно-аллювиальные отложения первой и второй надпойменных террас. Вторая терраса, развитая в долинах рек Волги, Костромы и частично Солоницы, является аккумулятивной и лишь участками щекольной и эрозионной. Первая терраса в большинстве случаев аккумулятивная, лишь участками на р. Волге она щекольная и еще реже эрозионная.

Нерасщлененный комплекс отложений перигляциальных зон валдайского оледенения на водоразделах и на надпойменных террасах (рггп.)

П о к р о в н ы е о б р а з о в а н и я сплошным чехлом покрывают почти все водораздельные пространства. Они залягают чаще всего на морене московского горизонта флювиогляциальных и озерно-ледниковых образований времени отступления московского ледника, отсутствуя на первой и второй надпойменных террасах. Покровные отложения представлены главным образом тонкими однородными неизвестковистыми суглинками желтовато-коричневыми, с присыпками кремнезема, гумусированными пятнами и черными марганцовистыми налетами. При высыхании суглинки дают вертикальные столбчатые отдельности и остроугольные обломки. Мощность перигляциальных отложений колеблется от 0,5 до 4 м. На юго-западе территории, в районе с. Бурмакино и д. Никитино, покровные суглинки

линики (мощность 1 м) вверх постепенно переходят в неслоистые пески мощностью 2 м. Покровные суглинки представляют собой перигляциальные образования, сформировавшиеся, вероятно, в верхнечетвертичное время. П. А. Болычкова (ГБЭЗФ, лист 0-37-ХХУ) считает (и показывает на карте) возраст этих суглинков средне-верхнечетвертичным. Эти отложения образовались из тонкого материала, который, возможно, транспортировался воздушным путем и после своего осаждения частично переотлагалась снеговыми и дождовыми водами, на что указывает иногда нахождение в основании разреза покровных суглинков мелкой единичной гальки кремня. Впоследствии они перерабатывались почвообразовательными процессами, вероятно, захватившими всю толщу.

#### Микулинский - нижневалдайский горизонты

О з е р н ы е и а л л u в i а l ь n o - o з e r n ы e отложения в торой на дпоимено т е р р а с ы (1(2т)-Штк-у-). По многочисленным буровым скважинам и мелким ображениям, среди отложений второй надпойменной террасы преобладают озерные горизонтальнослоистые пески, суглинки и глины. Пески мелко-, средне- и разнозернистые, желтовато-серые, кнауревые, слабо глинистые. Суглинки и глины без видимого размыка залегают на ленточных глинах времени отступления московского ледника и участками на морене московского горизонта. Реже наблюдаются аллювиальные кососложистые пески с галечником в основании. Мощность отложений колеблется от 4 м (где терраса щекольная) до 49,5 м. В устье р. Костромы, в районе Костромского водохранилища, у озер Бирбельское, Щачебольское преобладают иловатые суглинки и глины с раковинами пресноводных моллюсков. У бортов Костромской низины севернее г. Костромы в районе ж.-д. ст. Каримово рассматриваемые отложения в основании имеют базальный горизонт (галечник), а близ устья р. Солоницы содержат гальку и редкие валуны размытой морены и обломки раковин унионид. В районе деревень Суворово и Выдрино в отложениях наблюдается косая слоистость, редкая рассеянная галька по слюре и скопления ее в основании. На р. Солонице вторая надпойменная терраса является аккумулятивной. Она сложена здесь вверху суглинками серыми песчанистыми и песками с галечником в основании. Наиболее характерный разрез второй надпойменной террасы - 1(2т) Штк встры скважиной у д. Горки (сверху вниз):

1. Суглинок легкий, коричневато-серый . . . . . 0,3 м

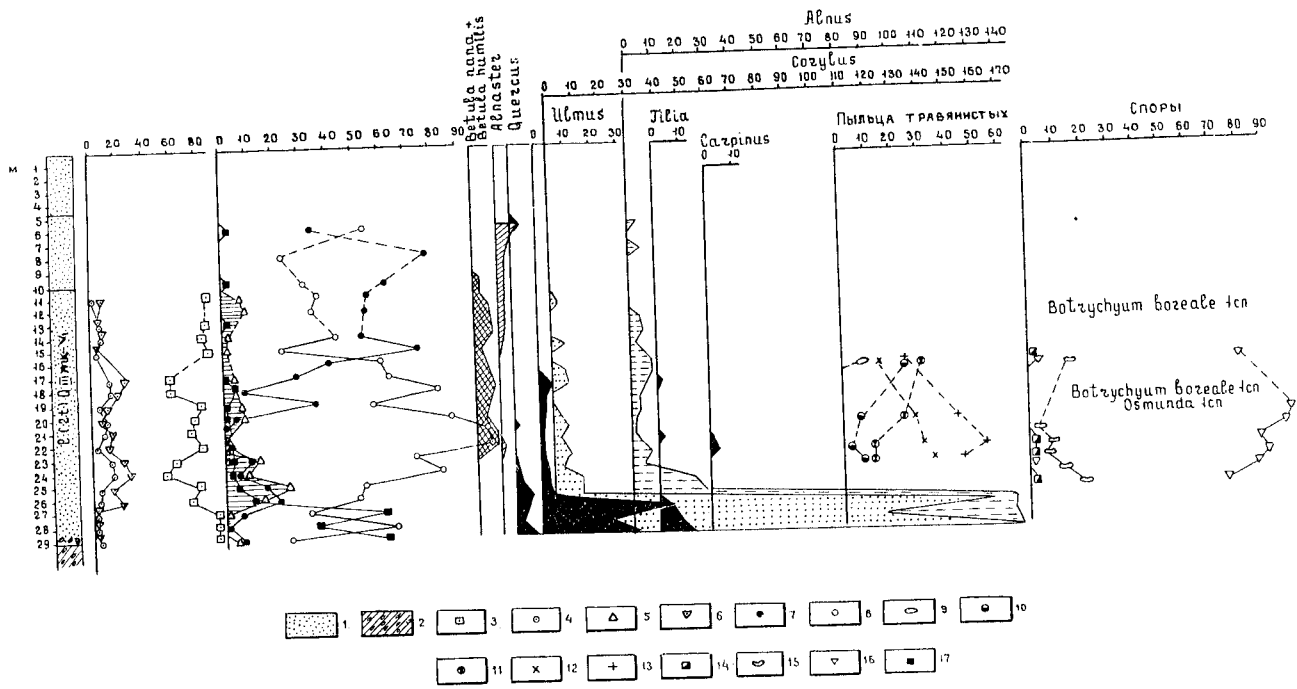


Рис.4. Споро-пыльцевая диаграмма межледниковых отложений у д. Песочное.  
Составила В.В.Писарева

1 - песок; 2 - суглинок валунный; 3-4 - общее количество: 3 - пыльцы древесных растений; 4 - пыльцы травянистых растений; 5 - *Picea*; 6 - общее количество споровых растений; 7 - *Pinus*; 8 - *Betula*; 9 - *Corylus*; 10 - *Gramineae*; 11 - разнотравье; 12 - *Chenopodiaceae*; 13 - *Artemisia*; 14 - *Lycopodiaceae*; 15 - *Polypodiaceae*; 16 - *Sphagnales*; 17 - общее количество пыльцы широколиственных пород

2. Суглинок тяжелый, серовато-бурый, с черными марганцовистыми пятнами. В основании суглинок имеет серый цвет и неясную слоистость . . . . . 0,5"

3. Песок мелкозернистый, серый, глинистый с редкой галькой кристаллических пород . . . . . 2,7м

4. Галечник. Галька кристаллических и осадочных пород, угловато- и среднеокатанная. Заполнитель - разнозернистый песок . . . . . 1,0"

Ниже вскрыты ленточные глины времени отступления московского ледника. Споро-пыльцевая диаграмма озерно-аллювиальных отложений, вскрытых скважиной у д. Песочное (рис.4), показывает, что растительный покров за время накопления этих отложений претерпел существенные изменения. Нижняя часть диаграммы (интервал 19,5-29 м) отражает все характерные особенности растительного покрова второй половины микулинской межледниковой эпохи. Для климатического оптимума показательно высокое (до 61%) содержание пыльцы широколиственных пород, представленных дубом, вязом, липой, обилие пыльцы орешника и ольхи. С глубины 26,5 м отмечается уменьшение пыльцы широколиственных пород и увеличение пыльцы ели (верхний максимум ели). В выше, в интервале 7-25 м, характер диаграммы меняется: исчезают широколиственные и появляются северная флора - карликовая бересклет и ольховник. Таким образом, отложения интервала 7-25 м очевидно отлагались во время вандийского оледенения. По данным споро-пыльцевого анализа можно утверждать, что накопление аллювиальных отложений второй террасы началось во вторую половину микулинской межледниковой эпохи и продолжалось в эту же последующего вандийского оледенения, вероятно в ее первой половине.

В аллювии второй наименьшей террасы изредка встречаются костные остатки крупных млекопитающих. В карьере Каменка - в 2 км восточнее г. Перехты - в галечнике были обнаружены куски сильно разрушенного бивня, ребра, позвонки и зуб мамонта (*Mammuthus primigenius*), рога и отдельные различные кости крупного быка (*Bos primigenius*), рога крупных оленей (*Cervus sp.*), различные кости и зубы лошади (*Equus caballus*) и др. По заключению проф. В.В. Богачева, остатки костей и зуб мамонта принадлежали позднему типу *Mammuthus primigenius* Blum., существовавшему в этой области в рисско-вюрмское межледниковое время. Редкая фауна моллюсков, собранная из озерно-аллювиальных отложений в устье р. Соловники в Басовском карьере и в скважине у д. Песочное на р. Черной, по определению А.И. Москвитина, пред-

ставлена *Risidium* sp., *Sphaerium* sp., *af.*, *Sphaerium* *cognitum*  
L., *Dreissenia* sp. cf. Характерно, что *Dreissenia* sp. cf. неизвестна в отложениях древнее микулинских.

#### Валдайский надгоризонт

##### Средневалдайский – верхневалдайский горизонты

**А л л ю в и а л ы е о т л о ж е н и я п е р в о й**  
**н а д п о и м е н н о й т е р р а с ы – (а<sup>1</sup>т)ПГ-2-3<sup>2</sup>.** Аллювиальные отложения первой надпойменной террасы прослеживаются довольно четко и сплошной полосой тянутся по обоим берегам рек Волги, Костромы, Солоницы. На реках Нерехте, Черной, Тунгонке, Кисме, Тоймине они прослеживаются менее четко и развиты прерывистой полосой. Мощность аллювия 6-14 м, максимальная мощность – 23 м вскрыта на р. Волге. Аллювий первой надпойменной террасы представлен в верхней части суглинками и глинами, в средней – песками и в основании – галечником. Встречаются прослои и линзы супеси и глины. В долине р. Волги аллювий иногда имеет озерный облик – это желтовато-серые, мелко- и тонкозернистые горизонтально- и реже косослонистые пески с прослоями иловатой глины.

В Костромской низине первая надпойменная терраса нередко влоняется во вторую, от отложений которой она отделена базальным горизонтом – галечником, иногда достигающим 3 м мощности (скв. УД. Новоанджово).

Цалесботанические аллювиальные отложения первой надпойменной террасы были изучены по скважине в 2 км западнее с. Мал. Соли. Здесь аллювий первой надпойменной террасы р. Солоницы мощностью 14 м застегает с размывом на погребенных озерно-аллювиальных песках микулинского возраста. Спорово-пыльцевой анализ отложений первой надпойменной террасы установил преобладание во всех образцах пыльцы древесных пород, а среди них – берески и сосны. Присутствие во всех образцах пыльцы тундровых элементов (карликовой берески, ольховника, а среди спор – альпийского плауна, гроздовника) дает возможность утверждать, что накопление отложений произошло в условиях холодного климата. Весьма показательно, что среди трав главная роль принадлежит пыльце польней, ука-зывающей на сухость климата, а местами и лебедовых. Особенность диаграммы является наличие в ней трех максимумов пыльцы ели, к которым приурочено уменьшение в спектрах тундровых элементов. По-видимому, отложения, соответствующие этим "максимумам", формировались в условиях некоторого потепления климата, отличающих-

##### В е р х н е ч е т з е р т и ч н ы е – с о в р е м ен н ы е о т л о ж е н и я

**Э о л о в ы е о т л о ж е н и я . (vii-v).** К верхнечетвертичным и современным отложениям относятся нерасщлененные отложения золового происхождения, развитые на первой и второй надпойменных террасах. Золовые отложения представлены светло-желтыми, желтовато-коричневыми мелко-тонкозернистыми, кварцевыми, сухими, сипучими песками, иногда незакрепленными. В рельефе они выражены в виде бугров и лон, вытянутых вдоль долин. Высота их 1-2 м, длина от 0,3 до 4 км. Возраст отложений определяется налеганием на аллювиальные отложения первой и второй надпойменных террас и продолжением их в настоящее время.

##### С о в р е м ен н ы е о т л о ж е н и я

К современным отложениям относятся аллювий пойм круглых и малых рек, балок и ручьев, а также современные торфяники. **А л л ю в и а л ы е о т л о ж е н и я (а<sup>1</sup>v).** Современные аллювиальные отложения, слагающие поймы рек, ручьев и балок, отличаются значительной изменчивостью. Залегающая в основании русловая фация мощностью до 1 м представлена гравием и галечником, состоящими преимущественно из осадочных пород. Заполнитель – разнозернистый песок. Пойменная фация представлена тонкозернистыми глинистыми песками и супесями мощностью от 1-2 до 7 м. Старичная фация, представленная глинами, суглинками, торфом, иногда с обломками слабо пергнившей древесины, имеет мощность до 5 м. Пойменные отложения пристояны к аллювию первой надпойменной речной террасы. Палинологически аллювиальные отложения поймы были охарактеризованы по скважине У.Л. Орлова на р. Тунгонке. Полученная диаграмма сходна с известными голоценовыми диаграммами среднерусского типа, в частности, с опубликованной для оз. Сомино Ярославской области (М.И. Нейштадт, 1957 г.). Она сопоставляется с той частью диаграммы М.И. Нейштадт, которая характеризует средний и поздний голоцен.

**Б о л о т н ы е о б р а з о в а н и я** (быв). Современные болотные отложения имеют широкое распространение на первой и второй надпойменных террасах и на пойме р. Солоницы и р. Костромы. Мощность торфа колеблется от 0,7 до 3 м, максимальная мощность торфа известна по Космынинскому болоту и составляет 6 м. Прелестыны они древесно-сфагновыми и древесно-осоково-сфагновыми торфами, в различной степени разложившимися. В наиболее крупных болотах, таких как Космынское, Ториновское, Сухоноговское, Стоянковское и др., преобладает буровато-коричневый, высокой степени разложения, древесно-гипновый торф, который разрабатывается и используется местной промышленностью. Верховые болота, развитые на моренной равнине, напротив, содержат слабо разложившиеся, главным образом, пущицово-сфагновые торфа. Залегание торfov на поверхности почм и не завершился процесс разложения свидетельствует об их голоценовом возрасте.

## ТЕКТОНИКА

Территория листа 0-37-ХIII расположена в центральной части Московской синеклизы, в зоне ее наибольшего погружения.

Некоторые представления о строении фундамента получены в результате геофизических исследований. Как видно на рис. 5, изоизомелии силы тяжести и изодинами магнитного поля имеют северо-восточное простирание, что согласуется с общим простиранием структур платформенного щекла. Магнитное поле повсеместно имеет отрицательные значения и незначительную интенсивность (от -1 до -5 мЭ). Сказанное свидетельствует об однородности вещественного состава фундамента. Цифровые значения гравитационных и магнитных полей в целом снижаются в северо-западном направлении, что связано погружением фундамента. По сейсмическим профилям и зондированию наиболее приподнятое положение его крова (-2550...-2600 м) отмечено на юге и западе, а наибольшее погружение - на севере (-3000...-3400 м). В центральной части района происходит значительное падение значений силы тяжести, намечающее здесь наличие флексуры северо-восточного направления. Эта флексура хорошо установливается и по сейсмическим данным на западе (изогипты -2600...-3000 м). Для района, расположенного к востоку от р. Солоницы, материалы сейсмических исследований дают большие колебания высот кровли фундамента, что не позволяет дать однозначную трактовку ее рельфа. Мелкие изгибы простираний изоизомелий сильнее на этом участке соответствуют небольшие поднятия, расположенные на этом участке с. Некрасовское (отметки -2800 м), лежащиеся восток-юго-восточнее с. Некрасовское (отметки -2800 м).

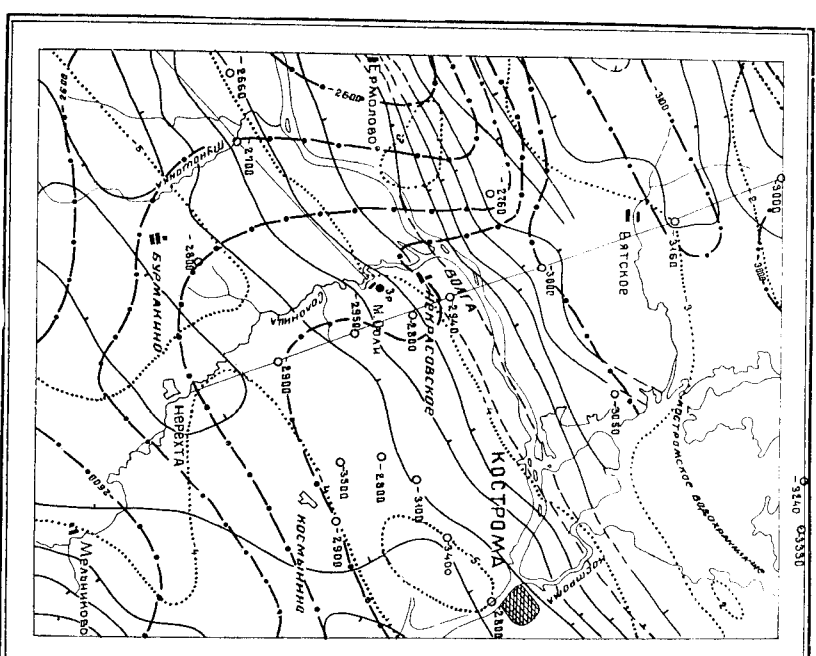


Рис. 5. Карта изоизомелий силы тяжести и изодинам магнитного поля ДТА, сопоставленная с линиями сейсмопрофилирования и сейсмозондирования.

Составила А.А. Медем

1 - изоизомелии силы тяжести: а - установление, б - предполагаемые. Бергштрели напряжены в сторону уменьшения значений силы тяжести; 2 - изодинами выражены в мЭ, 3 - изогипсы поверхности кристаллического фундамента, проведение через 100 м; 4 - высота поверхности фундамента в м (по сейсмическим данным); 5 - линии сейсмических профилей; 6 - опорная скважина в с. Мал. Соли

Представление о положении территории в палеозойских структурах дают палеоструктурные карты, опубликованные в сборнике под редакцией С.К.Нечитайло (1957), и сопоставление материалов бурения в с.Мал.Соли и соседних районах.

Сравнение составленных Е.А.Кулиновой и В.З.Потаповым

(С.К.Нечитайло и др., 1957) палеоструктурных карт нижнедигровского (швентойского) горизонта к началу семилукского, фаменскому, угленосного (мадевского) и верейского времени указывает на развитие субмеридиональных простирианий структур, связанных с гердинским циклом тектогенеза на Урале.

Высотное положение онтикского и пуртского надгоризонтов в Мал.Солях на 100 и 95 м выше, а мощности соответственно на 42 и 18 м меньше, чем в г.Любиме. Отсюда следует, что район Мал.Солей в это время был приподнят относительно г.Любима. В среднем девоне соотношения изменяются, и в Мал.Солях происходит большие погружения, чем в Любиме, о чем можно судить по мощности живетских отложений, в Мал.Солях на 127 м превышающих мощности этих ярусов в Любиме. Абсолютные высоты кровли живетского яруса в Мал.Солях – 1340 м, а в Любиме – 1360 м, что говорит о некоторой стяженности поднятия в Мал.Солях по отношению Любиму. Мощности швентойского горизонта в Любиме в 2,5 раза больше, чем в Мал.Солях, саргасевского – в 1,4 раза.

В более молодых отложениях девона и карбона мощности незначительно колеблются в ту и другую сторону. Лишь в бургеских и каширских слоях различия достигают значительных размеров. В Мал.Солях бургеский горизонт имеет мощность 23 м, в Любиме – 46 м, а абсолютные высоты кровли – в Мал.Солях – 1104 м, в Любиме – 1008 м. Мощности каширского горизонта в Мал.Солях 66 м, в Любиме – 25 м, высоты кровли соответственно –519 и –508 м.

Положение подольского и мячиковского горизонтов Мал.Солей на 45 и 43 м ниже, чем в Любиме, и на 189 и 204 м выше, чем в Раслове (лист 0-37-ХХIV), в то время как мощности мячиковского горизонта только на 10 м превосходят мощности тех же отложений в Любиме и на 15 м в Раслове. Из приведенного материала видно, что максимальные мощности в разных горизонтах отмечались то в Мал.Солях, то в Любиме. Как правило, повышенные мощности отмечаются в относительно пониженных пунктах, что согласуется с общим представлением о тектонических условиях осадконакопления: максимальные мощности наблюдаются на участках максимального прогибания. Однако для бургеского горизонта наблюдается обратное соотношение: максимальная мощность совпадает с максимальной

высотой кровли. Этот факт говорит о том, что современное высотное положение кровель всех горизонтов обусловлено неоднократными дифференцированными тектоническими движениями, происходившими после отложения осадков.

В западном, северо-восточном и восточном направлениях наблюдается погружение кровель казанского яруса от Мал.Солей (-236,5 м) к Ярославлю (-240 м), Глазову, расположенному неподалеку за северной границей территории (-352 м) и Раслову (-314,3 м). На юг и юго-восток наблюдается подъем до -97,5 м на Ухтоме (лист 0-37-ХХIX) и -128 м в г.Иваново. Та же картина наблюдается и по кровле нижнетатарского подъяруса. Северодвинский горизонт и верхняя часть уржумского горизонта (сухонская свита) развиты лишь в северной, погруженной части района, где сохраняется уголок их кровли на восток и северо-восток. В южном направлении к поднятию в районе Мельникова они выклиниваются.

По данным ВЭЗ (Н.А.Карпов, 1952 г.), положение оторванных устремлено (скв.Зк, 4, 14), что опорные горизонты принаследуют нижнепермским (сакмарскому ярусу?) и нижнетатарским отложениям, а не казанскому и кунгурскому ярусам, как полагал Н.А.Карпов. По долине р.Солоницы намечается субмеридиональный прогиб, особо четко выраживающийся по нижнетатарскому подъярусу. В районе г.Нерехты ось прогиба направлена к югу, а в районе сел Красное – Некрасовское – к северу. Два других субмеридиональных прогиба намечаются в районе сел Лесочное – Игумово – Диево Городище. Все три прогиба открыты на север, куда направлено и общее понижение поверхности пермских отложений, соглашающееся с направлением погружения рельефа фундамента. Субмеридиональные простириания, по-видимому, развились в результате гердинских движений, совпадают с рельефом фундамента в западной части территории листа 0-37-ХШ (см.рис.5).

Структуры по мезозой иллюстрируют разрезы к геологической карте дочетвертичных отложений, а также схематическая карта положения среднего келловея (рис.6).

На рис.6 четко отражена флексура северо-восточного простириания, проходящая через д.Малышево на юго-западе до северо-восточного угла территории. К северо-западу располагается отщущенное, а к юго-востоку – приподнятое крыло. Наибольшей крутизны (до 16 м на 1 км) и высоты (до 50 м) флексура достигает в районе пос.Некрасовское. В северо-восточном направлении она несколько выпрямляется. На юго-востоке флексура выражена только изоглинами

+10 и +20 м, а в районе Бурмакинского поднятия также изогипсами +30 и +40 м. Отклонение поверхности среднего келловая от рельефа фундамента, по-видимому, обусловлено здесь предмеловым размывом, отчетливо вырисовывающимся на разрезе В-Г.

В юго-восточной части территории изогипсой +70 м выделяется свод Мельничико-подниятие (1). Это поднятие имеет неопределенную форму и расплывчатые очертания. Амплитуды его варьируют от 70 м над днищем Бурмакинского прогиба (5) до 30–40 м над Космынинской впадиной (2). Мельниковское поднятие прослеживается по всем горизонтам мезозоя. Этому участку в гравитационном поле (см. рис. 5) соответствуют максимальные значения силы тяжести.

Севернее Мельниковского поднятия располагается плоскодонная Космынинская впадина (2) восток-северо-восточного простирания с амплитудой, не превышающей 10 м. В рельефе фундамента (см. рис. 5) ей соответствует впадина с абсолютной высотой –3500 м.

В районе г. Костромы изогипсой +70 м выделяется Костромская подниятие (3) с двумя вершинами, оконтурованными изогипсами +90 и +80 м. В гравитационном поле (см. рис. 5) Костромскому поднятию соответствуют повышенные значения силы тяжести, по сейсмическим данным – приподнятое положение поверхности фундамента ( отметка –2800 м). Пологое, едва выраженное по кровле келловая понижение в районе с. Коряково отделяет Костромское поднятие от Большесольского.

Большесольское подниятие (4), известное по работам Д.Н. Гордеева (1934), А.А. Бакирова (1948), В.П. Ступакова (1952 г.), Д.А. Фрукт (1952 г.) и др., выделялось этим исследователям по кровле оксфорда. Бурение, проведённое Вторым ГГУ, значительно уточнило строение поднятия по мезозою. Свод Большесольского поднятия, имеющего северо-восточное простирание, выделяется по кровле среднего келловяя изогипсой +70 м. Протяженность его 22,5 км, ширина – 3–10 км. Западный склон совпадает с участком описанной выше флексуры на отрезке ее максимальной высоты и крутизны. В рельефе фундамента (см. рис. 5) Большесольскому поднятию соответствует небольшое локальное поднятие ( отметки –2800 м ), расположение к восток-юго-востоку от с. Некрасовска, фиксированное методом ВЭЗ также по кровле верхнего карбона (М.Г. Шмидт, 1952 г.) и по пермским отложениям (Н.А. Карпов, 1952 г.). По мезозою Большесольское поднятие выделяется высоким залеганием триаса, абсолютные высоты кровли которого в своде +63...+72 м, т.е. на 10–20 м выше, чем

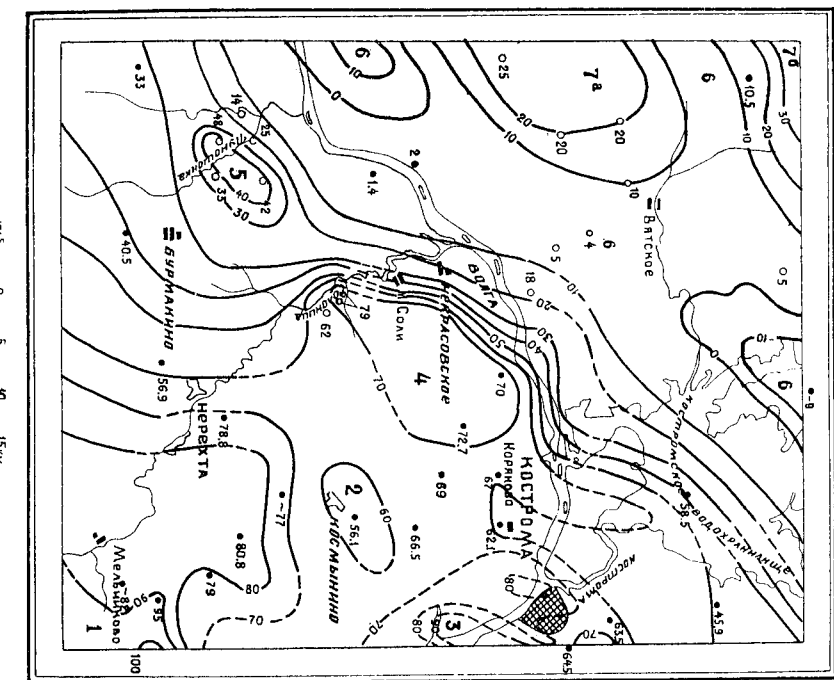


Рис. 6. Схематическая структурная карта по кровле среднего келловяя.

Составила А.А.Медем

1 – изогипсы кровли среднего келловяя; 2 – изогипсы реконструированной кровли среднего келловяя в местах, где он размыт; 3 – абсолютные отметки кровли среднего келловяя в скважинах; 4 – абсолютные отметки кровли среднего келловяя, установленные пересчетом по скважинам и обнажениям. На схеме арабскими буквами обозначены: 1 – Мельниковское поднятие; 2 – Космынинская впадина, 3 – Костромское поднятие, 4 – Большесольское поднятие, 5 – Бурмакинское поднятие; 6 – Ярославский прогиб, 7а и 7б – склоны Ярославского прогиба

у с.Коряково и на 40-50 м выше, чем в М.Солех, расположенных на крутом крыле флексуры.

**Б у р м а к и н с к о е п о л н я т и е** (5). В юго-западной части территории, к северо-западу от ст.Бурмакино, изогипсой кровли среднего келловея +30 м выделяется наболтное поднятие северо-восточного простирания с абсолютной высотой кровли в его своде +42 м. Западный склон этого поднятия лежит на продольном отисанной выше флексуры. Бурмакинское поднятие имеет круглой северо-западный и юго-западный и северо-восточный склоны (падение 10-12 м на 1 км) и пологий юго-восточный и северо-восточный склоны (падение 2-1,5 м на 1 км).

На северо-западе располагается Ярославский прогиб (6) северо-восточного простирания, ось которого упирается, падая на юго-запад и северо-восток. Прогиб имеет отставление (6), смещение приближительно на 5 км на север по сравнению с впадиной в рельфе фундамента, намеченной по сейсмическим данным и гравиразведке (см.рис.5). Юго-восточному крылу прогиба соответствует описанная выше флексура. Юное крыло отвергнения Ярославского прогиба (7а) смещено на 10-12 км к северу от приподнятого участка фундамента. Простирание северо-западного крыла (7б) хорошо совпадает с гравитационным полем и рельфом фундамента, установленным по сейсмическим данным.

О времени формирования выделенных по среднему келловею структур можно судить по следующим фактам. О существовании Мельниковского поднятия в татарский век свидетельствует выклинивание Северодвинского и верхней части уржумского горизонта и залегание триаса на нижних слоях уржумских (нижеустьинских) отложений. Как это видно на разрезе по линии В-Г, мощности триасовых, юрских и меловых отложений на Костромском поднятии в районе г.Костромы и восточнее не отличаются от мощностей тех же отложений на рядом расположенной территории. Из этого следует, что Костромское поднятие сформировалось в послемеловое время. Об интенсивности восходящих движений этого участка в четвертичное время говорит наличие эрозионного уступа в дочетвертичном рельфе восточной окраины Костромы. На Большесольском поднятии наблюдается сокращение мощности валажина по сравнению с районом, расположенным к западу от р.Солоницы. Этот факт может говорить о том, что во время накопления валажинских отложений Большесольское поднятие находилось в стадии формирования. Возможно, однако, что сокращенная мощность этих отложений связана с последующим разрывом их. Тогда возраст Большесольского поднятия 2-1,5 м на 1 км).

## ГЕОМОРФОЛОГИЯ

Территория листа расположена в пределах Восточно-Баренцевской равнины. Современный рельф в основном был сформирован в результате аккумулятивной деятельности Московского ледника и его талых вод. В постмосковское время под воздействием различных рельфообразующих факторов – прежде всего эрозионной переработки, последующей аккумуляции и формирования гидрографической сети, рельф получил современное выражение. Существенную роль в строении современного рельфа имеет характер четвертичной поверхности. На отмываемой территории, как было отмечено в главе "Стратиграфия", по буровым скважинам и профилям ВЭЗ прослежены древние долнепетровские долины (ложинны) (см.рис.2), происхождение которых окончательно не выяснено. Основная наиболее глубокая (абс. отметки днища -28...-112 м) погребенная долина прослеживается вдоль современной р.Волги от притородов Ярославля до г.Костромы и уходит на юго-восток за пределы территории. Эта долина имеет левые "притоки" вдоль современной р.Костромы и по линии деревень Путятино – Искробол (абс. отметки -7...-20 м) и правые притоки в районе рек Солоницы, Туношки, Черной (абс. отметки до -98 м). Ширина погребенных долин не превышает 5 км, а обычно составляет 1-2 км. Глубина их достигает 60-70 м, они значительно глубже современных и склоны их, по-видимому, круче. По геоморфологическим особенностям на территории листа выделяются следующие генетические типы и формы рельфа: пологокомпактная моренная равнина московского оледенения (с участками конечноморенного рельфа), пологоволнистая зан드ровая равнина московского оледенения, речные долины, вторая надпойменная озерно-речная терраса, первая надпойменная терраса, пойма.

Пологохолмистая моренная равнина московского оледенения (с участками конечноморенного рельефа)

Пологоволнистая зандровая равнина московского оледенения (соответствует третьей надпойменной террасе р.Волги)

Пологохолмистая моренная равнина занимает наиболее обширную поверхность по сравнению с другими генетическими типами. Она про- сложена на северо-западе, западе, юго-востоке и узкой полосой на востоке района, обрамленная с северо-запада и юго-востока Костромскую низину. Характерной особенностью московской моренной равнины является ее пологохолмистый, участками конечноморенный и грядово-холмистый рельеф с высокими абсолютными отметками поверхности (140-201 м) и наличие камов.

Уступ (или склон пологохолмистой равнины к зандровой равни- не или ко второй надпойменной террасе) четко выражен и является то крутым (деревни Давыдово, Ильинское, Орешки, Бакшайка), то пологим (деревни Лучево, Середа). Высота его варьирует от 1-2 до 7-15 м. Угол наклона не превышает 25°. Уступ четко прослаи- вается на местности и на аэрофотоснимках. Холмы в плане округ- лой и овальной формы, имеют мягкие очертания, размером от не- скольких десятков метров до нескольких километров, относитель- ная высота - до 20-30 м. Они разделены широкими, плоскими, часто заболоченными западинами, как правило, занятymi верховьями совре- менных водотоков. На участках конечноморенных гряд (Даниловской, Галичской, Фурмановской) рельеф грядово-холмистый, представляю- щий собой сочетание отдельных холмов или вытянутых в направлении близкому к широтному гряд холмов, вершины которых достигают 170-201 м абсолютной высоты. Холмы здесь вытянутой формы, с сравнитель- но крутыми склонами, относительной высотой до 40 м, разделены плоскими западинами или замкнутыми котловинами с плоским дном. Широкое развитие на этих участках имеет камобобразные холмы. По- верхность равнины сложена валунными суглинками морены московско- го оледенения. Покровные (перигляциальные) образования, развитые поверх морены, придают холмам мягкие очертания и в общем несколь- ко стяженный рельеф всей моренной равнины. Современная эрозион- ная сеть в пределах моренной равнины представлена балками - очень плоскими и широкими в низовых, в верхней части - узкими с V-образным и корытообразным поперечным профилем, плоским, за- болоченным днищем. Слояны балок крутизной 10-15° и до 25-35° чаще всего задернованы, бровки нечетко выражены. Крупные балки обычно имеют помыту высотой 0,3-0,7 м над сухим руслом временных водотоков.

Пологохолмистая равнина сформировалась в результате акку- муляции ледника во время московского оледенения.

Зандровая равнина занимает сравнительно небольшую площадь на территории листа 0-37-XIII. Непрекращающимися она прослежи- вается по обоим берегам р.Волги на абсолютных отметках 120-140 м и в виде замкнутых котловин на северо-западе территории. Среди зандровой равнины можно отметить ряд участков своеобразного мор- фологического строения.

С юго-востока к области развития конечных морен примыкает плоская слабоволнистая зандровая равнина, характеризующаяся не- большим развитием холмов и западин. Холмы здесь иногда вытяну- ты, размерами до 1-2 км, относительной высотой чаще всего менее 10 м; склоны их пологи, крутизна не превышает 2-3°, реже 5°. С поверхности равнина слагается песками.

В долине р.Волги зандровая равнина местами образует (на абсолютных отметках 120-135 м) террасовидную поверхность шириной от 1-2 до 6 км, которая по своему гипсометрическому положению соответствует уровню третьей надпойменной террасы р.Волги, а по генезису является озерно-ледниковой, образовавшейся во время отступления московского ледника. Эта "терраса" на всем своем про- тяжении покрытая (относительная высота покоя над уровнем р.Волги составляет 35-40 м), а на участке деревень Догадцево - Левашово - эрозионная (сложена мореной московского оледенения). Поверхность "террасы" ровная или слабоволнистая, волнистость придается ей редко встречающимися здесь очень пологими и невы- сокими (2-4 м) холмами, едва вырисовывающимися на общем ровном фоне. Тыловой склон незначительно выражен. Уступ стяжен, местами раз- мят, но всходу на местности прослеживается перегиб в рельфе от поверхности второй надпойменной террасы к третьей. Сложенная "терраса" суглинками и мелкозернистыми песками мощностью 1-1,5 м. Максимальная мощность 5 м.

Наблюдаемая на северо-западе территории, в районе деревень Уткино, Очково, Козлятево, замкнутые небольшие озеровидные котловины образовались, по-видимому, во время отступления москов- ского ледника. Поверхность этих котловин ровная, слабоволнистая, с редкими невысокими (относительной высотой 2-4 м) и пологими (1-2°) холмами. Абсолютные отметки поверхности колеблются от 120 до 140 м, иногда до 145 м. (Д.Очково). Заполнены эти котло- вины суглинками, иногда иловатыми, по мощности не превышающими 7 м. Формирование зандровой равнины происходило во время отсту- пания московского ледника.

## Речные долины

Речные долины, развитые в пределах рассматриваемой территории, относятся к бассейну р.Волги. Строение долин на разных реках неодинаковое. В долинах наиболее крупных рек Волги, Костромы, Солоницы прослеживается пойма и две надпойменные террасы, причем вторая надпойменная терраса является озерно-речной. В долине р.Нерехты прослеживается только первая надпойменная терраса. Мелкие реки и ручьи имеют только хорошо выработанную пойму.

### Вторая надпойменная озерно-речная терраса

Вторая надпойменная озерно-речная терраса прослеживается широтом (6–12 км) беспрерывной полосой в долинах рек Волги, Солоницы и Черной. Относительная высота бровки террасы над урезом водой р.Волги (до подпора вод плотиной Горьковской ГЭС) составляет 21–24 м, р.Костромы – 18–20 м, р.Солоницы – 11–15 м.

Абсолютные отметки поверхности 100–112 м, у восточной границы территории до 117 м. Терраса характеризуется выровненным плоским столообразным рельефом, слабо расчлененным современной гидросетью, местами сильно заболочена. Поверхность террасы имеет слабый наклон в сторону р.Волги. Тыловой щов выражен нечетко, но отмечается заметный перегиб в рельефе к водораздельной поверхности. Уступ террасы прослеживается почти повсеместно; его высота 2–3 м, изредка до 6 м над поверхностью первой надпойменной террасы, крутизна склонов до 20°. К краевой части террасы (непосредственно почти у ее бровки) нередко приурочен песчаный вал относительной высотой 1–1,5 м над уровнем террасы, шириной несколько десятков метров, по-видимому, древнесолового происхождения. В настоящее время вал чаще всего зареглан. Северо-западный борт долины р.Волги (район деревень Калины – Багоры) не отличается столь четко выраженным формами и элементами рельефа. Здесь отсутствуют бровка и уступ террасы, поверхность ее постепенно снижается до уровня первой надпойменной террасы, граница между ними расплывчата и на местности не прослеживается. Терраса здесь сложена суглинками и илами, залегающими на ленточных глинах. На восточном борту (севернее г.Костромы) вторая терраса, напротив, хорошо выражена: прослеживается четкий уступ, сопровождающийся песчаным валом, местами слабо закрепленный растворительностью. Слагается терраса песками с базальным горизонтом в основании. Таким образом, в геоморфологическом строении западного и восточного бортов долины наблюдается некоторое асиммет-

### Первая надпойменная терраса

Первая надпойменная терраса по долинам круглых рек развита почти повсеместно, по другим более мелким рекам прослеживается лишь на отдельных участках в виде узкой полосы. В долине р.Волги терраса простирается в ширину на несколько километров, бровка террасы четкая, относительная высота ее над урезом воды в реке (до подпора) составляет 10–12 м. Поверхность террасы (абс. отметки ее 88–98 м) ровная, плоская, осложнена старичными понижениями, заболоченными и иногда заполненными водой; тыловой щов хорошо выражен и обычно сильно заболочен. Уступ террасы к пойме хорошо прослеживается, часто сопровождается песчаными, иногда незакрепленными грядами типа дюн. Местами р.Волга подливает первую надпойменную террасу (участок южнее г.Костромы). Терраса слагается песчаниками, супесями и суглинками тонко-, горизонтально- и косослоистыми. Нередко терраса является докольной (абс. отметки покоя 85–90 м), а местами эрозионной (у деревень Солелки, Поляны, Нов.Ченцы, севернее д.Коряжово, западнее д.Середня). Широкое развитие болот на поверхности террасы объясняется недлубоким залеганием моренных суглиников Московского оледенения, играющих роль местного водоупора. Первая надпойменная терраса р.Солоницы высотой 4–7 м над урезом воды прослеживается по всему протяжению реки и местами достигает ширины 4–5 км. Поверхность ее ровная, уступ часто размыт и плохо выражен. Терраса слагается слоем аллювия максимальной мощностью 13 м (у д.Уварово). На участке д.Большой Выход – с.Красное геоморфологический облик первой террасы резко меняется: терраса сужается, становится цокольной, уступ террасы четкий, даже обрывистый, долина в плане становится прямолинейной. Не исключена возможность, что здесь имеют ме-

сто проявления неотектоники. Поверхность первой террасы р.Солониши непосредственно соединяется с первой надпойменной террасой р.Волги и следовательно одновозрастна с ней.

#### Пойма

Современная речная и балочная пойма развита по долинам всех круглых и мелких рек, протекающих по территории листа. В результате подпора вод (высота подпора 6-7 м) пойма р.Волги, а также промежуточные участки поймы рек Солоницы и Костромы большей частью затоплены и на их месте образовалось Костромское водохранилище. Пойма имеет ровную, иногда konkavную поверхность, осложненную старичными понижениями, часто заполненными водой.

В долине р.Солоницы наблюдаются два уровня пойм. Низкий уровень высотой 0,7 м над урезом реки развит узкой полосой (до нескольких метров) почти повсеместно вдоль русла реки. Высокая пойма высотой 2,5-3,5 м над урезом реки достигает иногда значительной ширины (до 2-3 км в месте слияния с Долиной р.Ингорь).

На мелких реках и ручьях обычно прослеживается только один уровень поймы. Формирование поверхности поймы происходило в современную эпоху.

Из современных физико-геологических явлений на территории развиты золовые процессы, размыв и заболачивание.

**Э о л о в и е** или **р о п е с с и** выражаются в образовании мелких закрепленных золовых бугров и дюн на надпойменных террасах рек. Перевевение подвергаются тонкозернистые пески дюн и древних береговых валов. Возникновение современного перевева-ния вызывается уничтожением растительного покрова при вырубке леса, выпасе скота, проходке дорог, распахивании и т.д.

**С о в р е м е н н ы й** или **р а з м ы в** проявляется слабо в развитии растущих оврагов и промоин и подмытие берегов рекой. Растущие овраги развиты в районе сел Арменки, Радилово, в верховье р.Вороницы. Овраги обычно имеют небольшую ширину (десятка метров) и крутое обнаженные стени высотой до 3 м в устьевой части и 0,5 м в верховьях. Южные берегов прослеживается на реках Нерехте, Солонице, Туномонке и Кисоме. Размываются участки высоких пойм и коренной берег. Наибольший размыв наблюдается в период весеннего паводка, амплитуда размыва незначительная.

**З а б о л а ч и в а н и е**. Преобладание выпадения осадков над испарением, затрудненный сток и наличие близко залегающего водоупора (морены) создают условия для заболачивания. Заболачива-

ние подвергаются участки выровненного рельефа с затрудненным стоком на моренной равнине и участки с близко залегающим от поверхности уровнем грунтовых вод на надпойменных террасах. Интенсивность заболачивания увеличилась в связи с поднятием уровня грунтовых вод в результате подпора р.Волги плотиной Горьковской ГЭС.

Основные особенности современного рельефа рассматриваемой территории отражают общие особенности строения доледникового рельефа.

На схематической карте дочетвертичного рельефа (см.рис.2) видно, что наиболее высокие поверхности доледникового рельефа имеют в основном северо-западное простирание и достигают 120 м абсолютной высоты. При этом наблюдается определенная унаследованность в формировании современного и древнего рельефа. Так юго-западное окончание Даниловской возвышенности и наиболее высокие пункты (190 м) на водоразделе рек Солоницы и Кешки соответствуют аналогично расположенным "возвышенностям" доледникового рельефа с абсолютными отметками 100-120 м. Наиболее низкие отметки - 80 м в долине р.Волги и 90 м на р.Солонице, отвечают соответственно наиболее низким отметкам в древних долинах -100 м и -90 м. Иногда такого четкого наследования не наблюдается. Например, участок древней погребенной долины в районе д.Воронино с абсолютной отметкой -112 м не имеет своего отражения в современном рельефе (абс. отметка поверхности здесь 145 м).

Механизм образования древних долин пока остается не совсем ясным. Можно отметить три основных фактора, влияющих на формирование переуглубления: речная эрозия; ледниковое выпахивание; подледниковой сток. Каждый из трех факторов в отдельности вряд ли мог быть определяющим, поэтому можно говорить лишь о их совокупности.

С конца нижнемеловой эпохи до начала четвертичного времени район испытывал поднятие, что обусловило развитие эрозионной сети. В нижнечетвертичное время флювиогляциальные и ледниковые отложения, по-видимому, заполнили древние долины, но, очевидно, полностью были уничтожены, поскольку их реликтов не обнаружено. Речная эрозия в лихвинский межледниковый век явилась, вероятно, основным из факторов образования переуглубленных долин. Осадки лихвинского межледникового в рассматриваемом районе не сохранились, но аналогичные примеры переуглубления долин в лихвинский век известны на соседних с востока и юга территориях, где аллювиальный лихвинский межледниковый заполняет глубокие долины.

Влияние роли ледникового выпахивания на формирование долин основывается на наличии крупных отторженцев дочетвертичных пород

в морене. Известно, что выпахивание подвергаются чаще всего пологие элементы рельефа, холмы, поднятия и т.п. Костромское и Некрасовское поднятие, по-видимому, явилась препятствием на пути движения ледника. Концентрация в узкой долине большой массы льда и крутой угол доледникового ложа (на склонах поднятий и в верховых речных долин) увеличивали скорость движения льда, тем самым создавались условия повышенной ледниковой эрозии.

Не исключена возможность образования древних переуглубленных долин посредством подледникового стока. В потоках такого типа господствует гравитационное давление, в результате чего эродирующая и транспортирующая способность их значительно увеличивается и несомый поток материал полностью мог выноситься за пределы ледника.

При наступании днепровского ледника южногляциальные и ледниковые отложения этого времени заполнили переуглубленные долины и приодинные пониженные участки водоразделов. После отступления днепровского ледника, во время одинцовского межледникового существовали уже хорошо выработанные долины Пра-Волги, Пра-Соломни, Пра-Костромы и другие пра-долины. Сброс одинцовских вод шел в основном по поддиндовским долинам, которые в эту эпоху лишь переуглублялись и заполнялись более молодыми осадками.

В московское время территория полностью покрывалась ледником, который в значительной степени снизелировал рельеф. В течение этого времени происходили осадочные подвижки края ледника, в результате чего, по-видимому, образовались конечноморенные гряды в районе с. Арменки, г. Костромы и д. Оськоно, а в переглубленных долинах были сформированы межстадиальные (?) отложения (район с. Левашово). Отложившаяся мощная толща Московской морены сформировала поверхность равнины с абсолютными отметками до 201 м. Во время таяния московского ледника это накопление флювиогляциальных и озерно-ледниковых отложений, формирующихся в условиях широкого развития водно-ледниковых потоков, озер и рек. В начале таяния паводковые волны занимали, по-видимому, сравнительно высокие уровни, несколько выше отметки 160 м. По мере отступания ледника уровни водно-ледниковых потоков снижались, образовалась озеровидный бассейн (где в пониженных участках прошло накопление ленточных глин), а на северо-западе в районе с. Путятино, д. Уткино вследствие понижения того же уровня образовалось остаточное замкнутое неглубокое озеро, заполненное впоследствии иловатыми суглинками и глинами. В начале микулинской межледниковой эпохи произошел новый арэз. Все мелкие озера

на северо-западе района были спущены реками Шиголость, Таймина, Соныга. В результате потепления климата интенсивность таяния ледника увеличилась, образовались новые озера, в частности Ярославо-Костромское, которое в какой-то мере наследовало вышеупомянутый озеровидный бассейн. Об этом свидетельствует постепенный переход от ленточных глин московского оледенения к озерным глинам с вивианитом и пресноводными моллюсками микулинского межледникового. Это озеро впоследствии, по-видимому, было спущено р. Волгой. В вадайскую эпоху, по-видимому, продолжалось накопление озерно-аллювиальных отложений первой и второй надпойменных террас. Четкий уступ второй надпойменной террасы р. Волги, песчаные валы на ее внешнем крае и хорошо выраженный тыловой щов первым уже после отложения осадков второй надпойменной террасы и в известной мере противоречат предположению А.И.Москвитина о том, что обе эти поверхности являются различными по глубине участками дна единого Ярославо-Костромского верхнешейстоценового озера. В голоцене происходило накопление аллювия пойм рек, ручьев, балок и заболачивание.

Движение земной коры в четвертичное время имеет унаследованный характер. Мощности и фауна четвертичных отложений, а также геоморфологический анализ говорят о том, что область Ярославско-Костромская низина, в четвертичную эпоху испытывала на отдельных участках погружение, продолжающееся и в насторожнее время. Это особенно хорошо отражено в рельефе северо-западного борта Костромской низины, характеризующегося низкими заболоченными берегами и отсутствием четких границ у террас р. Волги. В то же время террасы четко выражены по восточному борту Ярославского прогиба, совпадающему с приподнятым крылом флексуры. В ориентировке как древних долин, так и современной гидрографической сети, а также междууречных пространств наблюдается подчиненность основным направлениям тектонических структур: северо-восточному, согласному с общим простиранием флексуры, и субмеридиональному – простиранию палеозойских структур. Волга на разных отрезках своего течения следует тем же трем направлениям, с преобладанием северо-восточного. Современная долина р. Солоницы в районе с. Мал. Соли – пос. Некрасовское вытянута вдоль структурного шва, которого, возможно, соответствует разлом в фундаменте, о наличии которого высказывался М.А. Гагальский (1950). В современную эпоху Костромская низина продолжает испытывать относительное погру-

жение, о чем свидетельствует растущее заболачивание и образование торфов.

## ПОЛЕЗНЫЕ ИСКОПАЕМЫЕ

На территории листа все известные в настоящее время полезные исконочные приурочены к четвертичным отложениям. Они представлены торфом, кирпичными глинями и суглинками, формовочными и силикатными песками, песчано-гравийно-валунными материалами, минеральными красками и известковыми туфами. Возможная нефтегазоносность связана с палеозойскими отложениями.

### ГОРИЧЕ ИСКОПАЕМЫЕ

Торф

На территории листа зарегистрировано 155 месторождений торфа с общей площадью промышленной залежи 1143 га и разведанными запасами 195,2 млн.м<sup>3</sup> торфа-сырца. На карту нанесены лишь месторождения с запасами не менее 1 млн.м<sup>3</sup>, среди которых преобладают торфяники низинного типа (71%), сложенные древесно-осоковыми и древесно-осоково-жгучевыми торфами. Торф обладает сравнительно высокой зольностью (5-30%); его теплотворная способность составляет 4065-5796 кал. Верховые торфяники составляют 11%; они имеют малые размеры и сложены гумусово-сфагновыми, сфагново-гумусовыми и древесно-гумусовыми торфами. Торф всегда залегает с поверхности; его мощность обычно колеблется от 1,3 до 5,8 м. Запасы торфа по разведенным месторождениям приводятся в табл. 3.

Таблица 3

№	Индекс на кар- те	Месторожде- ние	Запасы, тыс.м <sup>3</sup>	Индекс на карте	Месторож- дение	Запасы, тыс.м <sup>3</sup>
1	2	3	4	1	2	3
6	I-3	Большое	2246	I-3	Золотое	1364
74	IY-4	Бол. болото	1238	III-2	Запоток	1478
4	I-2	Борок	2184	III-2	Зимнее	4176
71	IY-4	Дормачиха	40044	I-2	Козлы	2919
14	II-3	Заболотское озеро	1157	III-3	Космынино	31500

### СТРОИТЕЛЬНЫЕ МАТЕРИАЛЫ

Карбонатные породы

#### Туф известковый

Три небольших месторождения известковых туфов, известных у деревень Княгинино, Пирогово и Улоштань, приурочены к притопловой части второй надпойменной террасы р. Солоницы. Туфы залегают на поверхности и имеют мощность 0,2-0,3 м. Княгининское месторождение было обследовано в 1930 г. А.И. Кашкаевым, который на двух участках ориентировочно подсчитал запасы: по собственно Княгининскому - 94 тыс.м<sup>3</sup>, Холомеевскому - 17 тыс.м<sup>3</sup>. Известковые туфы не эксплуатируются (вследствие малой мощности), но в случае необходимости могут быть использованы местными колхозами для известкования кислых почв и приготовления органоминеральных смесей.

#### Глины и суглинки кирпичные

Сырьем для производства кирпича и черепицы могут служить различные по возрасту и генезису отложения. Для производства красного кирпича служат в основном периллюциальные (покровные)

Продолжение табл. 3

1	2	3	4	1	2	3	4
8	I-4	Красилки	1325	64	IY-3	Панинская дача	1602
49	III-4	Кубанско	6915	41	III-3	Степаны	3168
27	Ш-I	Лялинское	21064	61	IY-3	Стоянков-	7253
9	II-2	Матвеевское озерко	1812	50	III-4	Сухоногов- ское	14018
5	I-2	Модоловское	40044	51	Ш-4	Торинское	7741
65	IY-3	Ново-Дере- венская роща	2602	40	III-2	Чертовье	1107
39	III-2	Лиски	1368				

и аллювиальные суглинки и глины. Реже используются безвалунные разности моренных суглинков. Для черепицы, кирзов и облицовочной плитки пригодны озерно-ледниковые (ленточные) глины.

Покровные суглинки широко распространены на моренной и занесовой равнинах по обоим берегам р.Волги. Здесь они имеют мощность 3-4 м (деревни Шульгино, Карпово, Бурмакино, Толбухино и др.) и залегают непосредственно под почвой. Несколько меньшая мощность (0,7-1,5 м) суглинков прослеживается на участках разнотипия конечных морен и камов (Клобушево, Долтуши). Гранулометрический состав суглинков довольно однороден: частицы размером менее 0,005 мм (глинистые) имеют содержание (в %) 17-23, 0,005-0,05 мм (пылеватые) - 38-62, 0,05-1,0 мм (песчаные) - 18-34.

Часто при производстве кирпича суглинки требуют отощающих добавок (до 15%) песка, шамота, опилок, которые улучшают суглиновые качества. Средний химический состав суглинков (в %):  $\text{SiO}_2$  - 73;  $\text{Al}_{2\text{O}}_3$  - 12;  $\text{Fe}_{2\text{O}}_3$  - 4;  $\text{TiO}_2$  - 0,7;  $\text{CaO}$  - 0,7;  $\text{MgO}$  - 1,5;  $\text{SO}_3$  - 0,03; п.п.п. - 3; сумма - 96;  $\text{H}_2\text{O}$  - 3; гигроскопическая влажность - 2;  $\text{R}\text{O}$  - 2.

Иногда покровные суглинки разрабатываются совместно с подстилающими их моренными суглинками, если последние слабо засорены гравием и галькой (месторождение Арменки). Кроме покровных суглинков сырьем для производства кирпича являются современные аллювиальные суглинки и глины, приварченные к долине р.Волги. Мощность полезной толщи составляет 2,5-4,9 м, средняя мощность вскрыши - 0,25 м. По классификации Охотина средний состав аллювиальных суглинков следующий (в %): тяжелые и тяжелые пылеватые суглинки - 48, средние и средние пылеватые суглинки - 26, легкие пылеватые суглинки - 12, тяжелые супеси - 13. Средний химический состав (в %):  $\text{SiO}_2$  - 51,0;  $\text{Al}_{2\text{O}}_3$  - 5-16;  $\text{Fe}_{2\text{O}}_3$  - 3-10;  $\text{CaO}$  - 1-3;  $\text{MgO}$  - 1-4; п.п.п. - 2-20; естественная влажность - 20-33.

По пластичности суглинки относятся ко второй, а глины к первой группе. Они пригодны для изготовления строительного кирпича марок 75, 100 и 150 с применением естественной или искусственной сушки. В насторящее время разведано 12 месторождений кирпичных суглинков, из которых разрабатываются только четыре. Кроме разведенных месторождений возле многих населенных пунктов имеются карьеры и ямы, из которых периодически добываются глины и суглинки для строительных целей. Добыча и использование кирпичных глин и суглинков практически могут быть постоянны повсеместно на площадях распространения покровных образований. В меньшей степени могут быть использованы аллювиальные и моренные суглинки. Запасы кирпичных суглинков и глин на территории листа практически неограничены.

## О б л о м о ч н ы е п о р о д ы

### Галечник и гравий

Широко распространенные в районе строительный песок и гравий приурочены к озерно-аллювиальным, конечнокоренным, камовым и флювиогляциальным отложениям. Наиболее перспективными для поисков месторождений строительных песков и гравия являются озерно-аллювиальные и аллювиальные отложения первой и второй надпойменных террас рек Волги, Солоница, Черной. Продуктивная толща мощностью 4-50 м в зависимости от положения в вертикальном разрезе представлена тонко-, мелко- и разнозернистыми песками с прослоями гравия и галечника. Пески, приуроченные к верхней части этой толщи ( $1\text{Q}_{\text{II}}\text{I}_{\text{II}}\text{II}_{\text{II}}\text{III}_{\text{II}}\text{V}_{\text{I}}$ ), имеют следующий гранулометрический состав (табл.4).

Таблица 4

Фракция, мм	Содержание, %		
	скв. 27	скв. 47	скв. 62
2-1	1-2	-	-
1-0,5	1-4	10-15	1
0,5-0,25	3-8	9-19	2-7
0,25-0,1	68-85	55-65	70-80
0,1-0,05	7-19	5-13	7-13
0,05	5-6	4-7	4-5

До глубины 10 м пески не обводнены. Общая мощность полезной толщи составляет 15-18 м при мощности вскрыши 0,3-1,0 м.

Как видно из таблицы, модуль крупности песков меньше единицы, а содержание глинистых частиц нередко превышает 5%. Из-за тонкой зернистости они непригодны как заполнители для тяжелого бетона, но могут использоваться как мелкий заполнитель только в смеси с более крупными песками. Последние приурочены к середине и низам аллювия террас и залегают в виде линз и прословьев, прослеживающихся на десятки, а иногда и на сотни метров (долина р.Волги). Гранулометрический состав приводится в табл.5.

Полезная толща при линзовидном характере залегания имеет мощность 5-7 м. Она прослеживается сравнительно широко, но устремлено разработки затруднены в связи с обводненностью и сравнительно глубоким (4-16 м) залеганием от поверхности.

Таблица 5

Выработка	Геологический индекс	Содержание фракций (в мм), %								
		10	10-5	5-2	2-I	I-0,5	0,5-0,25	0,25-1	0,1-0,05	0,05
Скв.45	1Q <sub>III</sub> m <sub>h-v</sub>	-	I-3	2	2	I-2	22-45	35-40	2-4	4
Скв.54	То же	10	5	2	I	2	40	20	20	I-3
Скв.52	a(1t)Q <sub>III</sub> v <sub>2-3</sub>	-	-	1	9	8-12	20-35	55-60	4-6	I
Скв.67	То же	2-5	I-2	2	I-2	I-3	5-25	55-65	5-7	I
Скв.3	п	-	-	2	3I	2I	I3	30	2	I
Скв.22	То же	-	-	I-3	I0-I8	I0-20	I0-I6	33-5I	I-4	

Гравий и галька, как правило, приурочены к основанию озерно-аллювиальных и аллювиальных отложений (базальный горизонт). Содержание гравия и гальки нередко здесь превышает 50%, а мощность достигает 2-3,5 м.

Надо отметить, что базальный горизонт аллювия второй надпойменной террасы, как правило, залегает на глубинах более 10 м, что препятствует широкой его разработке. Лишь в притоплывовой части этой террасы, где размывались моренные суглинки, полезная толща (гравий и галька) залегает под маломощным слоем песка.

Гранулометрический состав отложений по Басовскому карьеру (правый берег р.Волги) следующий (%): галька размером 80 мм - 8, галька размером 50-80 мм - 41, гравий размером 2-5 мм - 14, песок размером 2 мм и менее - 36.

Полезная толща здесь не обводнена и составляет 6-8 м; вскрыта представлена мелкозернистыми песками мощностью 0,5-2,0 м. Подобные условия залегания наблюдаются и в долине р.Солоницы, где могут быть обнаружены месторождения, аналогичные вышеописанным.

На участках развития конечных морен пески и гравий содержат большое количество гальки и валунов. Мощность вскрыши колеблется от 0,5 (д.Очково) до 1,5-7,0 м (деревни Дубенки, Арменки, Мелеково) при мощности необводненной полезной толщи 4-22 м. Камы и конечная морена на территории листа развиты сравнительно широко, однако нахождение крупных месторождений песчано-гравийного материала здесь ограничено, ввиду резкого изменения фациального состава на коротком расстоянии.

На территории листа разведано 12 месторождений строительного песка и гравия. Из них 12 месторождений приурочены к озерно-аллювиальным отложениям второй надпойменной террасы рек Волги и Солоницы; семь - к конечноморенным образованиям и три - к аллювию первой надпойменной террасы.

#### Пески для производства силикатного кирпича

Сырьем для производства силикатного кирпича могут служить пески, приуроченные к озерно-аллювиальным и водно-ледниковым отложениям. Они представлены в основном мелкозернистыми, реже среднезернистыми и разнозернистыми песками.

Гранулометрический состав их приводится в табл.6.

Содержание кварца в песках составляет 89-97%. Мощность полезной толщи на указанных участках колеблется от 6 до 23 м, мощность вскрыши в среднем не превышает 0,6 м.

Таблица 6

Выработка	Геологический индекс	Содержание фракций (в мм), %					Проходит через сито 0,14	Содержание глинистых частиц, %	Модуль крупности
		2,5	1,25	0,63	0,315	0,14			
Карьер у пос. Космынино	$1Q_{II}^{m-j}$		0,25	3,64	51,52	6,04	6,04	1,6	1,56
	То же	0,54	3,12	7,35	55,50	30,98	2,10	1,1	1,79
	"	0,18	0,18	3,12	54,92	36,40	4,83	1,6	1,56
Карьер у пос. Песочное	$1(2t)Q_{III}^{m-k-v_1}$		0,11	0,38	9,82	78,89	10,65	0,5	1,1
	То же	0,23	1,04	25,98	64,70	6,33	1,6	1,21	

Аналогичные пески широко распространены на надпойменных террасах р. Волги (деревни Бородино, Чепцы, Молоково, г. Кострома), р. Солоницы (Шубино), р. Черной (Лихобравово). Модуль крупности полезной толщи здесь меняется в пределах 7-23 м при ширине залежи 0,1-2,0 км. Условия для разработки на участках благоприятные (практически с поверхности), месторождения слабо обводнены, удобны в транспортном отношении (близи водных, железных и шоссейных дорог).

При значительном развитии аллювия открытие месторождений силикатных песков на террасах сравнительно ограничено в силу неблагоприятного зернового состава (модуль крупности менее единицы) и повышенного содержания (более 10% глинистых и органических примесей).

Пригодными для производства силикатного кирпича на отдельных ограниченных участках являются и водно-ледниковые отложения, модуль крупности которых, согласно лабораторным анализам, составляет 1,5-1,7, глинистость 1,1-1,6%.

Несмотря на сравнительно широкое развитие водно-ледниковых отложений и значительную мощность (до 15 м), залежи силикатного сырья в них крайне редки ввиду частого изменения фациального состава песков и повышенного содержания глинистых частиц (до 10-15%). Перспективным участком для поисков месторождений песков может служить район поселка Космынино. Здесь полезная толща представлена кварцевыми песками мощностью 6-12 м. На территории разведано 4 месторождения силикатных песков: Говядниковское (21), Литовецкое (28), Каримовское (23) и Бекневское (58). Доразвитка прилегающих к указанным месторождениям участков позволит увеличить запасы силикатного сырья в районе.

#### Пески формозоценые

Сырьем для производства формозоценых, а возможно и стекольных песков могут служить аллювиальные и озерно-аллювиальные отложения верхнечетвертичного и неогенового возраста. Верхнечетвертичные аллювиальные пески слагают первую и вторую надпойменные террасы и прослеживаются по обоям берегам р. Волги (деревни Уварово, Потрусово, пос. Красный Профинтерн и др.). Гранулометрический состав песков приводится в табл. 7.

Таблица 7

Содержание фракции (в мм), %								
						Менее песча- ная основы 0,068	Глинист- ость, %	
1	0,63	0,4	0,315	0,2	0,16	0,10	0,068	
0	0,26	1,59	20,87	38,74	24,85	3,12	3,40	4,05
0,1	0,17	0,64	22,04	36,09	26,57	3,32	4,69	3,84
							96,88	3,12
								2,60

Содержание кварца составляет 93-98%. Глауконит встречается только в основании толщи и составляет 2,87-3%. Полевой шпат, на против, концентрируется в верхних частях и составляет 2,9-4,5%. Химический состав следующий (в %): SiO<sub>2</sub> - 96,44-98,46, Al<sub>2</sub>O<sub>3</sub> - 0,69-1,07, Fe<sub>2</sub>O<sub>3</sub> - 0,07-0,82, CaO - 0,05-0,12, MgO - 0,15-0,33, п.п.п. - 0,28-0,31, Na<sub>2</sub>O - 0,05-0,10, K<sub>2</sub>O - 0,13-0,22. Кварцевый состав и низкое содержание железа позволяет поставить вопрос о возможной пригодности песков на отдельных участках как сырья для стекольного производства. Мощность полезной толщи колеблется от 17 м (Красный Профинтерн) до 24 м (г. Кострома), мощность вскрыши (сильно глинистые пески) составляет 0,5-5,1 м. Формовочные чистые кварцевые пески залегают прослоями (0,5-3,5 м) среди сравнительно глинистых песков первой и второй надподошвенных террас. Суммарная мощность прослоев составляет 2-7 м. Полезная толща, как правило, обводнена, а поэтому разработка месторождений возможна только гидромониторным способом. Согласно лабораторным испытаниям аллювиальные пески могут быть пригодны лишь при обогащении рассевом для получения марок ИК02, ИК0315, Т063.

Формовочные пески, приуроченные к неогену, распространены локально. Вскрыша, представленная аллювиальными песками (г. Нерехта) и мореной (деревни Челпаново, Орлово, Матвеевово), имеет мощность 3,5-12 м. Пески белые мощностью 20-35 м. Содержание кварца в них составляет 97-99,2%.

Гранулометрический состав песков следующий (в %): фракции размером 2,0-1,0 мм составляют 4-31; 1,0-0,5 мм - 21; 0,5-0,25 мм - 13-28; 0,25-0,1 мм - 30-83; 0,1-0,05 мм - 1-5, менее 0,05 мм - 1-2%.

Пески по сортировке неоднородны, нередко наблюдаются мелодные гравелистые прослои, редкая кремневая галька и отдельные линзы глины. Полезная толща повсеместно частично обводнена. На территории листа разведано два месторождения формовочных песков - Воробинское и Костромское. Наиболее перспективным районом для

поисков формовочного песка является левобережье р. Волги (деревни Новодашково, Андреевское, Уварово и др.) и г. Костромы (д. Сущево), где прослеживаются пески, аналогичные вышеописанным. Полезная толща здесь слабо обводнена и залегает непосредственно под почвенным слоем.

### П р о ч и е п о р о ды

#### Минеральные краски

В качестве минеральных красок у деревень Акинино и Туншна местным населением спорадически использовались рыхлые железистые пылевидные глинистые массы, отлагавшиеся на дне современных пойменных болот. Минеральные краски залегают непосредственно под почвенным слоем, обычно сильно обводнены и представляют собой жилку массы мощностью не более 1-2 м. На Акишинском месторождении, расположном в пойме р. Шакши, содержание Fe<sub>2</sub>O<sub>3</sub> колеблется от 2,79 до 35% и в единичных пробах достигает 77%. На Туншонском месторождении, что находится на правом берегу р. Дикая, содержание Fe<sub>2</sub>O<sub>3</sub> колеблется от 18,99 до 32,82%. По чистоте тона минеральные краски Туншонского месторождения непротивны для изготовления художественных красок и, по-видимому, могут использоваться для малярных работ. Забалансовые запасы по кат. С1, подсчитанные М.А. Громенко по Акишинскому месторождению, составляют 9 тыс. т, по Туншонскому - 29 тыс. т. Во время войны (1941-1945 гг.) на Туншонском месторождении проводились кустарные разработки.

В заключение следует сказать, что район полностью обеспечен строительными песками и глинами. Ощущается лишь некоторая нехватка в формовочном песке. Перспективы и рекомендации по отдельным видам полезных ископаемых сводятся к следующему. Поскольку на территории листа покровные, аллювиальные и моренные суглинки, пригодные для изготовления кирпича, развиты почти повсеместно, потребность в них может быть удовлетворена практически в любом пункте.

Район нуждается в формовочных песках, поскольку последние завоевались из г. Лоберти Московской области. Трудно рассчитывать на обнаружение чистых формовочных песков, и местная сырьевая база, по-видимому, может быть создана на сырье, требуемом предварительного обогащения. Для поисков месторождений формовочных песков можно рекомендовать площади у деревень Новодашково, Уварово, Андреевское, Сопелки и у г. Нерехты.

Район обеспечен песками для силикатного кирпича, приуроченными к аллювию надпойменных террас рек Волги, Черной, Солоницы.

Наиболее благоприятные участки для разведки новых месторождений могут быть рекомендованы у деревень Куниново, Молоково, Ченцы, Петрусово, Бородино, где полезная толща имеет мощность 7–23 м.

Запасы строительного песка, гальки и гравия в районе практически неограничены. Для постановки разведочных работ могут быть рекомендованы участки у деревень Артемки, Домачево, Песочное, Дубенки, Орешки и др., где мощность полезной толщи (частично обводненной) составляет 10–50 м.

Особо стоит вопрос о возможной нефтегазоносности палеозойских отложений, с которыми на Тимане и в Восточно-Русской впадине связаны промышленные скопления нефти. Наиболее перспективными являются девонские отложения. Вопрос о нефтегазоносности девонских отложений остается неясным. Положение района в погруженной части Московской синеклизы и наличие в нем локальных структур позволяет поставить вопрос о его перспективности на нефть и газ. Выходы соляных источников по р. Солонице, наличие Большесольского поднятия, выявленного по кровле оксфорда (В.П.Ступаков, 1952) и подтвержденного электро-, сейсмо- и гравиразведкой (Н.А.Карпов, 1952 г., М.Е.Шмидт, 1951 г., Н.Г.Гурвич, 1960 г.), позволили в 1963 г. заложить структурную скважину в с.Мал.Соли. Скважина достигла ламинитовых глин вадайской серии. Ни выделения газа, ни примазок нефти в породах обнаружено не было. Однако в результате анализа глинистого раствора на глубине 1885–1963 м в песчаниках и известняках нижнего ордовика было установлено присутствие метана в количестве 1,3–2,3%. Выше по разрезу метан был отмечен в песчаниках воробьевенского и староскольского горизонтов среднего девона (1451 м) – 5,5%, в песчаниках и известняках прогровского горизонта (1399–1101 м) – 1,6–4%, в известняках и глинах рудкинского и семилукского горизонтов – II, 2%, в глинах и песчаниках евантовского и ливенского горизонтов верхнего девона – I, 4%. Кроме того, в интервале 820–1032 м в доломитах и мергелях фаменского яруса верхнего девона и турнейского яруса нижнего карбона отмечено присутствие битума "А", содержание которого составляет 0,0006–0,03%.

Отсутствие нефти в Малосольской скважине еще не дает оснований для отрицательного заключения о нефтегазоносности Большесольского поднятия, так как скважина была заложена в средней части крыла поднятия, свод которого располагается на 10–15 км восточнее и приподнят (по кровле среднего келловея) относительно места заложения скважины на 30–40 м. Унаследованность обширных текто-

нического плана позволяет предположить наличие положительных структур в палеозое под поднятиями, выявленными по кровле среднетектонического келловея. В поднятиях Большесольском, Костромском и Бурмакинском можно ожидать склоновые залежи нефти. На структурах, подобных Мельникковскому поднятию, можно ожидать залежи типа стратиграфических и литологических ловушек. Наиболее интересной структурой для этого типа залежей представляется флексура, протягивающаяся через весь район в северо-восточном направлении, где в опущенном крыле фундамент залегает на глубине 3000 м.

## ПОДЗЕМНЫЕ ВОДЫ

### ОБЩАЯ ХАРАКТЕРИСТИКА ПОДЗЕМНЫХ ВОД

Территория листа 0-37-ХIII расположена в центральной части Московского артезианского бассейна, где глубина до кристаллического фундамента свыше 2800 м. На гидрохимические условия оказывает большое влияние избыточное увлажнение, преобладание ландшафта смешанных лесов и широкое распространение суглинистых ледниковых отложений.

Подземные воды приурочены к отложениям четвертичного периода, неогена, нижнего мела, нижнего триаса, перми, карбона, девона, ордовика и кембрия.

Воды различных литологических комплексов четвертичного, неогенного и нижнемелового возраста слабо изолированы между собой ввиду отсутствия регионально выдержаных водоупоров и образуют единую гидравлическую систему. Но они изолированы от вод, заключенных в породах нижнего триаса и перми, водоупорными глинами верхнеречного, иногда триасового возраста. Гидравлическая связь, их с водами в пермских и триасовых отложениях наблюдается только по древним долинам, в пределах сильно трещиноватых и ослабленных зон в породах триаса. Наиболее четко эта связь выявлена по древней долине, прослеживающейся примерно вдоль современной долины р. Солоницы.

Воды четвертичных, неогеновых и нижнемеловых отложений обычно пресные, с минерализацией менее 1 г/л, гидрокарбонатно-кальциево-магниевые; воды триасовых отложений соленые с плотным остатком 2,3–6,0 г/л, сульфатно-натриевые; воды перми – высокоминерализованные и рассолы с сухим остатком 37,7–157 г/л, хлоридно-натриевые; воды карбона, девона, ордовика и кембрия – рассолы с минерализацией 157,0–213,8 г/л, хлоридно-натриевые. Эта смена химических типов полезных вод в вертикальном разрезе территории

отвечает нормальной гидрохимической зональности, характерной для Русской платформы. В местах подтока минерализованных вод из отложений перми и нижнего триаса в четвертичные водоносные отложения образываются смешанные солоноватые воды сульфатно-гидрокарбонатного и сульфатного состава.

Питание подземных вод, пиркулирующих в зоне активного водообмена, происходит за счет инфильтрации атмосферных осадков либо за счет перелива вод из вышележащих водоносных отложений; дренаж осуществляется современной речной сетью. Питание и разгрузка вод нижнетриасовых и пермских образований происходит далеко за пределами исследованной территории. Частичная разгрузка осуществляется по древней долине, протягивающейся примерно вдоль современной долины р.Солоница.

На основании, главным образом, возраста и генезиса водовмещающих пород на территории исследования выделен следующий ряд водоносных горизонтов и комплексов и спорадически обводненных отложений, показанных на карте:

1. Современный болотный водоносный горизонт ( $h_{\text{Q}_1}$ ).

2. Современно-четвертичный аллювиальный водоносный горизонт ( $a_{\text{Q}_1}$ ).

3. Верхнечетвертичный озерно-аллювиальный водоносный горизонт ( $\text{la}_{\text{Q}_1}$ ).

4. Московский надморенный флювиогляциальный водоносный горизонт ( $f_{\text{Q}_1}$ ).

5. Московский камовый водоносный горизонт ( $k_{\text{Q}_1}$ ).

6. Воды спорадического распространения в морене Московско-

го оледенения ( $b_{\text{Q}_1}$ ).

7. Днепровско-московский межморенный флювиогляциальный водоносный горизонт ( $f_{\text{Q}_1-d_{\text{Q}_1}}$ ).

8. Днепровский подморенный флювиогляциальный водоносный

горизонт ( $f_{\text{Q}_1-d_{\text{Q}_1}}$ ).

9. Неогеновый водоносный горизонт ( $N$ ).

10. Нижнемеловой водоносный горизонт ( $c_{\text{r}_1}$ ).

11. Нижнетриасовый водоносный комплекс ( $T_1$ ).

12. Казанский водоносный горизонт ( $P_2$ ).

13. Каменноугольно-нижнепермский водоносный комплекс ( $C-P_1$ ).

14. Верхнедевонский водоносный комплекс ( $D_3$ ).

15. Среднеорловско-среднедевонский водоносный комплекс ( $O_2-D_2$ ).

16. Таллинский водоносный горизонт ( $O_2$ ).

17. Нижнеорловский водоносный комплекс ( $O_1$ ).

18. Среднекембрийский водоносный комплекс ( $C_{\text{m}_2}$ ).

19. Нижнекембрийский водоносный комплекс ( $C_{\text{m}_1}$ ).  
20. Верхнепротерозойский водоносный комплекс ( $P_{\text{t}_3}$ ).  
Маломощные в основном безводные покровные образования про-  
блематичного возраста ( $p_{\text{Q}_1}-\text{III}$ ), безводные золовые отложения  
современного и верхнечетвертичного возраста ( $v_{\text{Q}_1-\text{IV}}$ ) и безвод-  
ные камовые образования мостовского ледника ( $k_{\text{m}_{\text{Q}_1-\text{IV}}}$ ) на гидро-  
геологической карте не показаны.

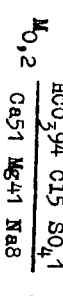
Кроме водоупорные толщи:

1. Днепровский водоупор — валунные суглинки ( $s_{\text{Q}_1d_1}$ ).  
2. Верхнерусский водоупор — глины ( $J_3$ ).  
3. Татарский водоупор — глины ( $P_t$ ).  
4. Верейский водоупор — глины ( $C_{\text{m}_1}f_n$ ).  
5. Лоптовасский водоупор — глины ( $C_{\text{m}_2}v_1$ ).

Принесенное расщепление гидрогеологического разреза в общем соответствует сводной легенде Московской серии листов гидрогеоло-  
гической карты СССР масштаба 1:200 000. Однако в связи со слабой  
изученностью подземных вод нижнетриасовых и более древних отложе-  
ний они объединены нами в водоносные комплексы без разделения на  
водоносные горизонты.

Обработка химических анализов воды проведена по С.А.Дурнову  
(на слоевых трехугольных диаграммах); при наименовании химиче-  
ского типа вод на первое место ставится преобладающий ион.

I. С о в р е м е н н ы й б о л о т н ы й в о д о н о с -  
н ы й г о р и з о н т ( $h_{\text{Q}_1}$ ) развит в пределах существующих  
болот. Наиболее широко он развит в долине р.Волги (Ляпинское,  
Моделовское, Сухоноговское болота) и в долине р.Ингурь (Космы-  
нинское болото). Водовмещающей породой является торф различной  
степени разложения мощностью обычно 0,7–3 м, а в Космынинском  
болоте до 6 м. Водоупорное перекрытие в кровле отсутствует, и во-  
ды относятся к категории болотных. Залегают они неглубоко, часто  
на уровне земли. Абсолютная отметка зеркала воды – 80–100 м. Во-  
ды болотных образований, по данным трех химических анализов,  
пресные, с общей минерализацией 0,1–0,4 г/л, гидрокарбонатно-  
кальциево-магниевые, хлоридные. Характерная формула солевого со-  
става их:



Воды мягкие и умеренно жесткие. Жесткость карбонатная. Воды эти  
обогащены гуминовыми кислотами и нередко имеют запах сероводоро-  
да. Среднее содержание урана в воде составляет  $(1-3) \cdot 10^{-7}$  г/л,

радия  $(2-3) \cdot 10^{-12}$  г/л. Аномальных значений содержания радиоактивных элементов не обнаружено. Водообильность горизонта не отработана. По данным работ Ивановской партии Средне-Волжского геологического управления удельные дебиты колодцев не превышают сотых долей л/с. Потечение болотных вод происходит за счет атмосферных осадков и подтока вод из прилегающих водоносных горизонтов, принесенных к аллювиальным, озерно-аллювиальным и флюзоглинистым отложениям.

2. С о в р е м е н н ы й а л л ь ы в и а л ь н ы й з о -  
д о н о с н ы й г о р и з о н т (а<sub>9</sub>г<sub>14</sub>) развит повсеместно в пределах пойм рек Волги, Кисмы, Туношонки, Солоницы, Игори, Черной, Кубани, Соньги, Тойминки и их притоков. Водовмещающими породами являются пески, супеси и галечниковые отложения. Мощность обводненной толщи колеблется от нескольких метров до 11,0 м и увеличивается от верховьев рек к их устью. Водоносный горизонт является первым от поверхности и залегает на глубине, не превышающей 3,0 м. Воды безнапорные, грунтовые. Абсолютные отметки зеркала вод изменяются от 85 до 100 м в долинах крупных рек (Волга, Солоница, Черная, Игорь и др.) и достигают 120-160 м в долинах их притоков. Водоупорное ложе обычно отсутствует, ввиду чистого воды горизонта гидравлически связаны с водами нижележащих верхнечетвертичных озерно-аллювиальных или флюзоглинистых отложений времени отступления днепровского и наступления московского ледников. Только в долинах рек, протекающих по моренной равнине, имеется водоупор, представленный суглинками московского или днепровского оледенения. Воды пойменных отложений, по данным четырех химических анализов, пресные, с плотным остатком до 0,3 г/л, гидрокарбонатно-кальциевые, холодные. Формула солового состава их следующая:

$\text{HCO}_3\text{-}88 \text{ SO}_4\text{-}6 \text{ Cl-}6$  (скв. 4).

Воды мягкие, с общей карбонатной жесткостью до 5 мг-экв/л. Среднее содержание урана в воде  $(2-5) \cdot 10^{-8}$ , радиа -  $(1-3) \cdot 10^{-12}$  г/л. Аномальных значений содержания радиоактивных элементов не обнаружено. Водоносный горизонт опробован двумя пробами откачками, проведенным из скважин 4 и 31. Данные откачек приведены в табл. 8.

Таблица 8

№ сква- жины	Водовме- щающая порода	Глубина залега- ния кровли и подо- швы во- донос- ного гори- зонта, м	Ста- ти- чес- кий опро- бовав- ший, м	Интер- вал де- ят- ель- ности поро- да, м	Пони- жение уровня воды, м	Удель- ный коэффи- циент фильт- рации, л/с	Коэффи- циент фильт- рации, м/сут
4	Гравийно- галечни- ческие отложе- ния с постоянны- ми гли- нистыми засып- ками	1,5-4,0	1,5 4,0	1,8- 0,02	1,2	0,02	0,8
31	Пески с галеч- ником	2,0-9,5	2,0 9,5	7,3- 1,0	2,4	0,4	2,6

О водообильности современных аллювиальных отложений можно также судить по данным многочисленных откачек, проведенных Гидроэнергoproектом в 1952 г. В табл. 9 приводятся данные трех наиболее характерных кустовых откачек. Как видно из табл. 8 и 9, удельные дебиты скважин, в зависимости от литологического состава водоносных отложений, колеблются в широких пределах - от 0,02 до 1,4 л/с. Значения коэффициентов фильтрации также изменяются в зависимости от литологического состава: коэффициенты фильтрации мелко- и разнозернистых песков составляют 21,2-23,0 м/сут, более тонких разностей - до 0,8 м/сут.

Таблица 9

№ сква- жины	Водовме- щающая порода	Глубина залега- ния кровли и подо- швы во- донос- ного гори- зонта, м	Стати- ческий опробо- вавший, м	Дебит, л/с	Понижение уровня воды, м	Удельный коэффициент фильтрации, л/с	Коэффициент фильтрации, м/сут
26	Песок мел- козернистый	8,0-19,0	2,2 3,1	6,3 3,0	4,5 1,0	1,4 0,6	23,0 21,2
20	Песок раз- нозернистый	2,0-9,6	1,5				
24	Песок тонко- и мелкозер- нистый	5,5-9,8	1,0	0,6	3,4	0,2	1,5

Основная роль в питании горизонта принадлежит атмосферным осадкам и паводковым водам в весенне время. Дополнительное питание происходит за счет притока вод из аллювиальных, озерно-аллювиальных и флювиогляциальных отложений. Современная речная сеть дренирует описываемый водоносный горизонт. Воды горизонта, редко используемые местным населением, вскрываются шахтными колодцами глубиной до 3-4 м. Только по долине р.Волги горизонт имеет некоторое значение для мелкого сельского водоснабжения. Отсутствие водоупора в кровле и неглубокое залегание вод горизонта вызывает необходимость при эксплуатации создания зоны санитарной охраны во избежание загрязнения их с поверхности.

3. Верхнечертвёртичный озёрно-аллювиальный спорадический распределённый в верхнечертвёртичных озёрах (части) распространены в пределах первой и второй надподиенных террас р.Волги и ее притоков. Он характеризуется изменчивостью литологического характера водоимещающих пород по простиранию. В средней части территории работ (долина р.Волги между реками Черная и Солоница) и на небольших участках в районе г.Костромы (между ст.Каримово и д.Пантусово, около деревень Слободка и Оганино) водоносные отложения представлены песками различной зернистости, нередко с гравием и галькой и гравийно-галечниковыми отложениями. Вокруг Костромского водохранилища, в районе бассейна р.Кубань и в пристульевых частях рек Солоница и Черная горизонт представлен отдельными водоносными слоями мощностью 0,4-1,6 м, разделенными прослоями глин и суглинков. На этих площадях водоимещающими породами кроме песков являются также и супеси. На остальной территории водоносные отложения представлены песками, реже супесями. По данным 75 гранулометрических анализов пески являются мелкозернистыми, реже средне- и грубозернистыми, а супеси легкими, мелкозернистыми.

Наиболее характерные анализы грунтов приведены в табл. 10.

Наибольшую мощность - от 9,5 до 29 м - горизонт имеет в долине р.Волги, между реками Черная и Солоница, и в районе г.Костромы (между ст.Каримово и д.Пантусово), около деревень Слободки и Оганино, а также вокруг Костромского водохранилища и в бассейне р.Кубань. Наименьшую мощность (несколько метров) водоносные отложения имеют на междуречье Солоницы, Красной Каменки и Тунгушки, на участке деревень Уварово-Бородино и несколько восточнее д.Бородино, а также вдоль склонов долины р.Волги. На этих участках неглубоко залегают, а местами даже выходят на поверхность.

Подстилающие водоносный горизонт глинистые суглинки, являющиеся относительным водоупором.

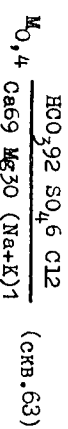
Таблица 10

Наименование грунта X/ и геологический тип	Количество зерен, %	Содержание фракций (в мм), %						
		Гравий	Песок	Глыбы	Глина	Минералы	Более 0,005	
Песок мелко-зернистый, 1a(2t) <sup>QIII</sup>	15	2	2	1	38	47	7	1
То же	33	-	-	2	3	78	12	3
Супесь легкозернистая, 1a(2t) <sup>QIII</sup>	13	-	-	-	12	75	8	1
Супесь легкозернистая, 1a(2t) <sup>QIII</sup>	5	-	-	1	1	19	59	16
Супесь легкозернистая, 1a(1t) <sup>QIII</sup>	9	35	40	5	5	5	5	1
								4

X/ Здесь и далее (табл. 12, 14, 17 и 19) наименование грунта дано по классификации грунтов по строительным нормам и правилам (1962 г.).

Водоупорное ложе, представленное суглинками московского и днепровского оледенений, отсутствует только на участке к югу от деревень Шипелово, Новодашково и Уварово, где воды описанного горизонта гидравлически связаны с водами нижнемеловых отложений. Местами по склонам долины р.Волги горизонт частично сдренирован, что объясняется неглубоким залеганием водоупорной морены, изрезанностью рельефа овражно-балочной сетью и маломощностью горизонта. На таких участках верхнечертвёртичные озерно-аллювиальные отложения обводнены спорадически, что и отображено на гидрогеологической карте. Глубина залегания водоносного горизонта изменяется от 0,5 до 25,0 м. Воды преимущественно безнапорные. Аб-

соляная отметка зеркала колеблется в пределах от 85 до 115 м. По данным 64 химических анализов, воды горизонта пресные, с плотным остатком 0,3-0,8, реже 1 г/л, гидрокарбонатно-кальциево-магниевого типа. Характерная формула солевого состава:



Неглубокое залегание вод и отсутствие водоупорного перекрытия создают условия, способствующие их загрязнению поверхностными водами, о чем говорит повышенное содержание иона  $\text{NO}_3^-$  в водах колодцев и скважин, пробуренных в деревнях. Почти в половине обследованных колодцев ион  $\text{NO}_3^-$  содержится до 40 мг/л, в остальных – до 120-180 мг/л. В районе пос.Красный Профинтерн, где имеется крахмал-паточный завод, грунтовые воды очень сильно загрязнены и содержит  $\text{NO}_3^-$  в количестве 1000 мг/л (скв.21). В результате загрязнения с поверхности в водах колодцев отмечается также повышенное содержание хлор-иона, что изменяет химический тип воды на гидрокарбонатно-хлоридно-кальциево-натриевый. По степени жесткости воды являются умеренно жесткими. Жесткость в основном карбонатная. Скважины 21, 48, 82 вскрыты сульфатно-гидрокарбонатные воды с минерализацией 0,9-1,9 г/л. Они содержат сульфат-хлоридных вод из триасовых и пермских отложений. Среднее содержание урана в воде составляет  $(2,7) \cdot 10^{-7}$ , радиоактивность  $(1,6) \cdot 10^{-12}$  г/л. В скважинах 21 и 25 обнаружены радиогеологические аномалии. Содержание урана в водах, вскрытых скв.21, в 10 раз, а вскрытых скв.25, в 100 раз больше, чем среднее содержание урана в водоносном горизонте. Это объясняется загрязнением вод с поверхности, а именно, повышенным содержанием нитрит- и нитрат-ионов, которые в состоянии переводить уран в раствор и удерживать его в последнем. Содержание  $\text{NO}_3^-$  в воде скв.21 составляет 1000 мг/л ( $38 \text{ мг}\cdot\text{экв}.\%$ ), скв.25 – 18,0 мг/л (6 мг·экв.%), что является результатом загрязнения грунтовых вод в первом случае отходами крахмал-паточного завода пос.Красный Профинтерн, во втором – сточными водами сибирской фермы. Кроме того, концентрация  $\text{O}_2$  в воде в количествах 1,0-3,4 мг/л вызывает резкий рост окислительно-восстановительного потенциала и создает наиболее благоприятную геохимическую обстановку для перевода урана в раствор. Такие радиохимические аномалии, возникшие в результате загрязнения подземных вод с по-

верхности, называются "надземными" или ложными. Водоносный горизонт опробован многочисленными пробными и опытными откачками (табл.II).

Таблица II

# водо- пунк- та	Водовмещаю- щая порода	Глубина зала- ния кро- вли и полупы- хлодно- го го- ризонта, м	Ста- ти- че- ский уро- вень воды, м	Интер- вал де- ят., л/с	Пони- жение уровня, м	Удель- ный дебит, л/с	Коэф- фици- ент фильт- рации, м/сут	
17	Песок тонко- и мелкозер- нистый	2,2-12,7	2,2 12,6	8,7- 12,6	1,1	2,2	0,5	6,7
7	Песок разно- зернистый, гравелистый	6,4-16,1	6,4 12,3	8,5- 12,3	0,8	1,2	0,7	14,9
9	Песок мелко- зернистый	1,3-19,2	1,3 18,8	10,2- 18,8	2,5	5,7	0,4	5,3
12	Песок разно- зернистый с галькой	5,5-30,1	5,5 12,4 13,5- 17,1	9,3- 12,4 17,1	2,6	2,0	1,3	11,8
39	Песок разно- зернистый с галькой	12,5- 23,3	4,8 22,0	18,5- 22,0	2,7	3,4	0,8	4,2
25	Песок мелко- зернистый	4,4-20,5	4,4 10,0- 12,2	0,8	5,0	0,2	1,1	
32	Песок тонко- зернистый	2,0-17,7	1,3 16,3	10,1- 16,3	0,5	3,7	0,1	1,4
34	Песок тонко- и мелкозер- нистый	25,0- 35,0	0,0 35,0	25,0- 35,0	2,8	10,0	0,3	2,4
30	Песок мелко- и тонкозер- нистый	4,4-12,5	4,4 14,6	0,3	4,0	0,1	1,2	
22	Песок сред- нейзернистый, отличий	5,5-31,5	5,5 22,6- 26,2	4,5	3,1	1,5	23,9	
Кол. 11	Гравийно-га- лечниковые отложения	4,0-15,0	4,0 5,3	1,4	0,2	7,9	34,9	
Кол. 7	Песок мелко- зернистый	3,0-21,0	3,0 4,7	0,3	1,1	0,3	17,6	
Кол. 12	Песок	1,0-13,1	1,9 4,1	0,2	1,7	0,1	4,1	

Водообильность горизонтов изменяется в зависимости от мощности и литологического характера водоимеющих пород. На участках, где горизонт имеет максимальную мощность и водовмещающие породы представлены песками разнозернистыми с гравием и галькой, удельный дебит водопунктов составляет  $0,3$ – $1,5$  л/с. Соответственно и коэффициенты фильтрации водоносных пород, составляют  $2,4$ – $23,9$  м/сут. На остальной территории развития водоносного горизонта водообильность последнего снижается ввиду уменьшения мощности его и увеличения содержания глинистых и тонкозернистых фракций в песках. Удельный дебит водопунктов составляет  $0,1$ – $0,2$  л/с, а коэффициент фильтрации –  $1,1$ – $2,4$  м/сут. Питание горизонта осуществляется за счет инфильтрации атмосферных осадков и поверхностных вод. Разгрузка его вод происходит в основании уступов надпойменных террас в виде нисходящих родников, а также путем подземного стока в реки непосредственно или через современные аллювиальные отложения и, частично, за счет транспирации растениями. По данным наблюдений, проведенных по скв. Г7 и 7 за период с апреля 1963 г. по апрель 1964 г., наблюдается одно максимальное положение уровня грунтовых вод и одно минимальное. Резкий подъем уровня происходит в конце апреля, что вызвано таянием снежного покрова, затем наблюдается постепенный спад (рис. 7, скв. 7). Наиболее низкое положение уровня отмечается в зимний период, в феврале–марте. При близком залегании уровня от дневной поверхности на графике его колебаний отмечаются отдельные подъемы, вызванные выпадением атмосферных осадков в виде сильных дождей и ливней (см. рис. 7, скв. Г7). Годовая амплитуда колебания уровня воды в верхнечетвертичных озерно–аллювиальных отложениях составляет  $0,8$  м (скв. 7) –  $1,6$  м (скв. Г7). Воды горизонта используются для водоснабжения мелких населенных пунктов с помощью шахтных колодцев глубиной до  $12$  м. Для мелкого централизованного водоснабжения горизонт имеет практическое значение на следующих участках: деревни Новодашково – Песочное, пос. Красный Профинтерн – Курово, в районах деревень Пантуово, Оганино, Слободка, т.е. на тех участках, где горизонт наиболее водообильен и имеет максимальную мощность. При эксплуатации водоносного горизонта необходимо создавать строгую зону санитарной охраны во избежание его поверхностного загрязнения. Естественные ресурсы водоносного горизонта верхнечетвертичных озерно–аллювиальных отложений составляют  $292000$  м $^3$ /сут при среднем модуле подземного стока  $1,7$  л/с·км $^2$ .

X/ Здесь и далее естественные ресурсы водоносных горизонтов в зоне активного водообмена приводятся по данным работ Гидрологической партии Костромской гидрологической экспедиции (Боровик В.С.) которая на протяжении 1962–1964 гг. занималась подсчетом естественных ресурсов водоносных горизонтов, залегающих в пределах территории листа в зоне активного водообмена.

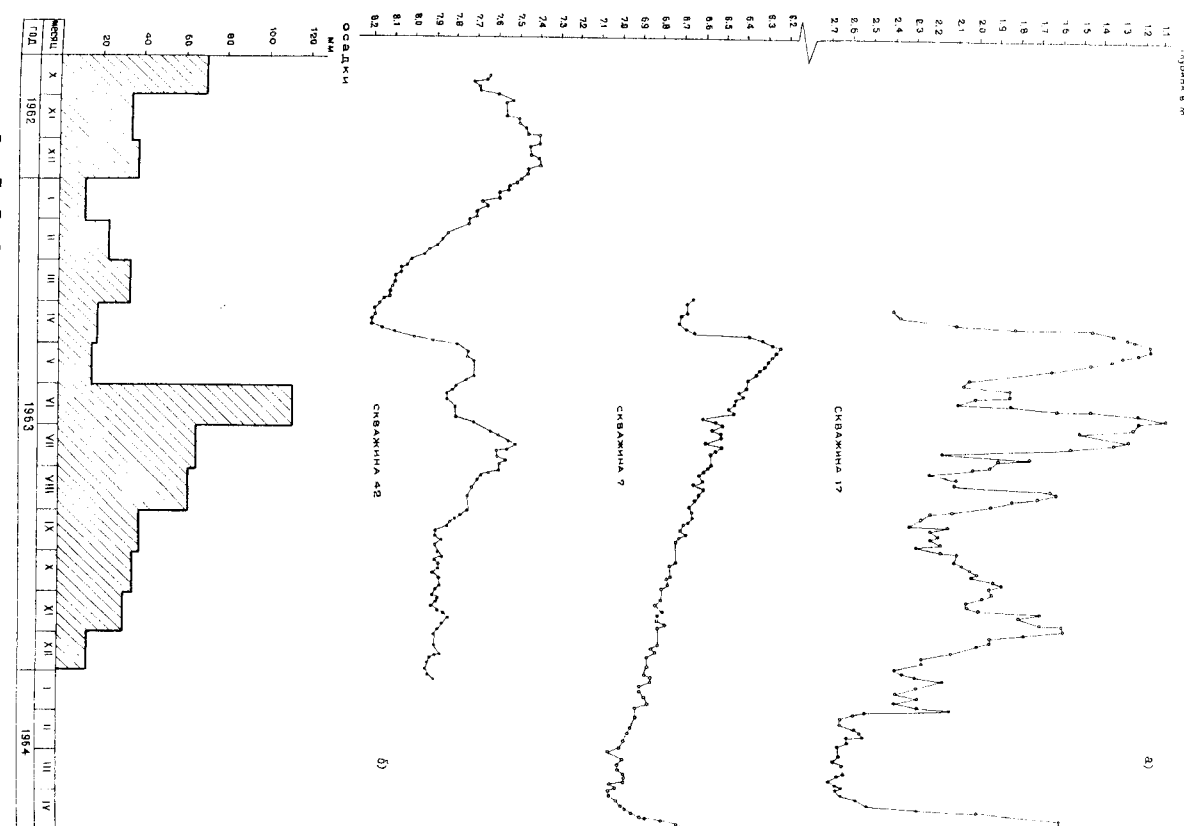
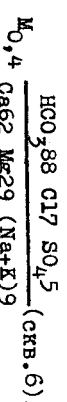


Рис. 7. Графики зависимости между колебаниями уровней воды по скважинам (а) и выпадением осадков (б).  
(Материалы метростанции в г. Костроме).  
Составила Н.И.Кусалова

4. МОСКОВСКИЙ НАДМОРЕННЫЙ ФЛЮ-  
ВИОГЛАЦИАЛЬНЫЙ ВОДОНОСНЫЙ ГОРИ-  
ЗОНТИ ВОДЫ СПОРДИЧЕСКОГО РАС-  
ПРОСТРАНЕННИЯ В МОСКОВСКИХ НАДМО-  
РЕНИХ ФЛОВИОГЛАЦИАЛЬНЫХ ОТЛОЖЕ-  
НИЯХ ( $f_{\text{ФЛ}}^{GII}$ ) развиты в восточной и северо-западной частях  
территории. Водоносными отложениями являются пески. Мощность во-  
доносных отложений не превышает 3-5 м, и лишь к югу от д. Воро-  
нино она увеличивается до 15 м. Водоупор в кровле горизонта от-  
сутствует, в подошве он представлен моренными суглинками москов-  
ского оледенения. Воды беззапорные, грунтовые; они залегают на  
глубине до 5 м. Абсолютная отметка уровня их около 120 м. Воды  
надморенных флювиогляциальных отложений имеют сплошное распро-  
странение только на водоразделе рек Кубань и Черная. На оставль-  
ной территории занедровой равнины воды имеют спорадическое рас-  
пространение. В северо-западной части территории спорадичность  
грунтовых вод обусловлена невыдержанностью распространения мало-  
мощных водоносных песчаных прослоев и линз среди суглинисто-гли-  
нистой толщи. В восточной части - воды сдrenированные овражно-  
балочного сетью. По данным трех химических анализов проб воды,  
отобранных из скважин, вода является пресной, с плотным остан-  
ком 0,3-0,5 г/л, гидрокарбонатно-кальциево-магниевого типа. Ха-  
рактерная формула солевого состава:



По данным девяти химических анализов проб воды, отобранных из ко-  
лонцев, вода загрязнена с поверхности, ввиду чего она относится

к гидрокарбонатно-хлоридным водам с очень разнообразным анионным  
составом (натриево-кальциевый, кальциево-натриевый, кальциево-  
магниевый и др.). Минерализация вод - 0,08-0,6 г/л. Воды гори-  
зонта являются матовыми и умеренно жесткими, реже более жесткими  
с общей карбонатной жесткостью до 8-10 мг-экв/л. Среднее содерж-  
ание урана в воде составляет  $(3-6) \cdot 10^{-7}$ , радия  $(1-3) \cdot 10^{-12}$  г/л.  
Аномальных значений воднорастворимых солей радиоактивных элемен-  
тов не обнаружено. О водообильности горизонта можно судить по  
данным пробной откачки, проведенной из колодца 13. Дебит колодца  
составил 0,2 л/с при понижении на 1,1 м, удельный дебит -  
0,06 м/сут. Коэффициент фильтрации, вычисленный по данным откачки,

0,2 л/с. Питание горизонта осуществляется за счет инфильтра-  
ции атмосферных осадков, разгрузка - в аллювиальные и озерно-  
аллювиальные отложения речных долин.

Наименова- ние грунта	Коли- чество воды ли- зоб	Содержание фракций (в мм), %					
		Гра- вий	Песок	Пыль	Глина		
Песок мелко- зернистый	3	1	2	2	30	55	5
Песок пыле- вый	4	-	4	7	5	30	39
Супесь лег- кая мелко- зернистая	8	-	-	-	5	42	33
Супесь тя- желая	3	-	-	1	20	50	9
							13
							7

Таблица 12

Б. МОСКОВСКИЙ КАМОВЫЙ ВОДОНОСНЫЙ  
ГОРИЗОНТ (кам $f_{\text{Г}}^{GII}$ ) распространен только на небольшом  
участке в северо-западной части изученной территории и вскрыт  
скв. 2. На остальной территории камовые отложения являются безвод-  
ными и на гидрогеологической карте не показаны. Водоносными по-  
родами являются пески мелкозернистые. Мощность водоносных пес-  
ков - 2,3 м при общей мощности камовых отложений 21,8 м. Глуби-  
на залегания уровня воды - 20,0 м. Химический состав вод и водо-  
обильность камовых отложений не изучены. Исходя из условий пита-  
ния (за счет инфильтрации атмосферных осадков) и характера зале-  
гания горизонта можно предположить, что воды являются пресными,  
гидрокарбонатного типа.

Б. ВОДЫ СПОРДИЧЕСКОГО РАСПРОСТ-  
РАНЕНИЯ В МОДЕННЕ МОСКОВСКОГО ОЛЕ-  
ДЕНИЯ ( $f_{\text{Д}}^{GII}$ ) развиты в северо-западной и южной частях  
территории на водоразделах рек в пределах моренной и занедровой  
равнины. Водоемы из них породы представлены суглинками, содержащи-  
ми гравийно-галечниковый материал, супесями и песками. По данным  
18 лабораторных определений, супеси являются легкими и тяжелыми,  
пески мелкозернистыми и пылеватыми (табл. 12).

Воды морены не имеют единого зеркала и встречаются на раз-  
личных глубинах - от нескольких метров до 15-16 м. Это объясня-  
ется спорадичностью распространения водоносных супесчаных и пес-  
чаных прослоев и линз среди толщи водоупорной морены, а также

сменой водонасыщенных суглинков водонепроницаемыми, как в вертикальном, так и в горизонтальном разрезе моренной толщи. Степень водонасыщенности суглинков зависит от плотности последних и содержания в них валуно-гальечникового и песчаного материала. Моренные суглинки, богатые валунами и галькой, а также легкие, рыхлые или выветрелые их разности, находящиеся обычно в верхней части мореной толщи, являются водоносными, а плотные тяжелые суглинки – водонепроницаемыми. Так, в северо-западной части территории грунтовые воды, судя по данным многочисленных колодцев, заходят неглубоко от поверхности (1-3 м, реже до 5-8 м) и приурочены к выветрелой, сильно разрушенной части моренных суглинков. Водоупором им служат более плотные разности суглинков, залегающие ниже. Воды, приуроченные к внутриморенным песчаным и супесчанным линзам, обладают напором высотой до 9,4 м (скв. 74). По данным 75 химических анализов, воды московской морены являются пресными, с плотным составом  $O_2$ ,  $I-I_1$ ,  $0$  г/л, гидрокарбонатно-кальциево-магниевого типа.

Характерная формула солевого состава:

$$Mg_{0.4} \frac{Na_{51} Mg_{34}}{HCO_3^{87} Cl_{10} SO_4^3} (Na+K)_{15}$$

Воды являются как мягкими, так и жесткими, с максимальной общей жесткостью до 8 мг-экв/л, по данным анализов воды из колодцев – жесткими и очень жесткими, с общей жесткостью 6-22 мг-экв/л. Жесткость карбонатная. В колодцах воды описываемого горизонта очень сильно загрязнены, в результате чего они относятся к гидрокарбонатно-хлоридно-кальциево-магниевым. Они содержат ион  $NO_3^-$  в количествах до 50-220 мг/л. Кроме пресных гидрокарбонатно-кальциево-магниевых вод в московской морене встречены (скв. 83) минерализованные сульфатно-натриево-кальциевые воды с плотным остатком 3,3 г/л. Содержание в них сульфат-иона в 150 раз больше (1837 мг/л), хлор-иона – в 30 раз больше, чем в вышеописанных гидрокарбонатных. Эти воды очень жесткие, с общей некарбонатной жесткостью 21,5 мг-экв/л. Происхождение их выявлено смешением поднимающихся из трясины и первыми солеными сульфатных вод с пресными гидрокарбонатными. Среднее содержание урана в воде составляет  $(1-3) \cdot 10^{-6}$  г/л, радио  $(1-6) \cdot 10^{-12}$  г/л. Урановая аномалия отмечена только в кол. 9, где содержание урана составляет  $2 \cdot 10^{-4}$  г/л.

Эта аномалия является ложной, т.к. она образовалась благодаря повышенному содержанию в воде ионов  $NO_3^-$  и  $SO_4^{2-}$  (16,0 мг/л, или 2,2 мг-экв.%), и при содержании  $O_2$  в количестве 2,4 мг/л. Таким образом, эта аномалия не представляет какого-либо практического интереса. Водообильность московской морены характеризуется двумя

опытными откачками, проведенными из скважин ручного бурения № 28. Откачки были опробованы внутриморенные песчаные линзы мощностью 7,3-7,8 м. Данные откачек приведены в табл. 13.

Таблица 13

№ сква-жин	Глу-бина залега-ния	Став-тический	Интер-вал	Де-борт,	По-ни-же-	Уде-ль-ни-коэффи-циент-	Коэффи-циент фильтрации,
	Водовмеща-ща порода	Кровли и подо-швы во-доно-го го-ризонта,	М	уро-вень,	бо-бо-ни-я, м	дебит, л/с	дебит, м/сут
28	Песок гра-видный	15,0-23,0	6,3	20,0-23,6	0,8	8,0	0,1
74	Песок тон-коэзеристый	14,2-21,5	4,8	16,2-20,5	0,8	9,0	0,1

Лебиты родников, вытекающих из моренных образований, изме-няются от 0,01 до 0,3 л/с, реже достигая 1,2 л/с, а расходы

в колодцах колеблются – иногда до 3,0 л/с. Лебиты родников и уровни неглубокие колодцы пересыхают, лебиты родников снижаются; в дождливое – колодцы наполняются водой и столб воды в некоторых из них достигает высоты 10-15 м, а лебиты родников увеличиваются. Полипение запасов грунтовых вод в морене московского оледенения происходит испарительно за счет инфильтрации атмосферных осадков и поверхностных вод, разгрузка осуществляется в виде родников по склонам балок и речных долин. Воды морены используются местным населением для питья и вскирываются шахтными колодцами глубиной до 25 м. Но в засушливые годы виду пересыхания колодцов по склонам деревень, особенно в южной части территории исследования, вынуждено использовать для питья воды прудов глубиной до 25 м. Но в засушливые годы виду пересыхания колодцов население некоторых деревень, особенно в южной части территории исследования, вынуждено использовать для питья воды прудов и поверхностных водотоков. Для крупного централизованного водоснабжения воды морены практически значения не имеют. Для водо-снабжения мелких населенных пунктов они могут быть использованы в основном в пределах развития конечной морены. Естественные ресурсы вод московской морены составляют  $74000 \text{ м}^3/\text{сут}$  при среднем модуле подземного стока, равном  $0,6 \text{ л/с на 1 км}$ .

7. Депропуск московский ме-жом-ни-й фло-ви-от-ля-и-а-ль-ни-й вodo-но-с-табл. 13. Таблица 13 разви-тия почты на всей тер-

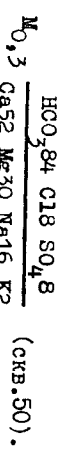
ритории, за исключением ее северо-западной части и небольших участков в северо- и юго-восточных частях листа. Он отсутствует только в районе среднего течения р. Солоница (между г. Нерехта и д. Б.Деревня) и по долине р. Волги между пос. Некрасовское - д. Песчное - д. Уварово. Водоносные породы представлены песками и супесями. По данным ЗВ лабораторных определений, пески являются мелкозернистыми, среднезернистыми и пылеватыми, супеси - легкими. Механический состав наиболее характерных разностей пород приведен в табл. 14.

Таблица 14

Наименование грунта	Количество фракций (в мм), %	Содержание фракций (в мм), %							
		Гравий	Песок	Пиль	Глина				
Песок мелко-зернистый	18	-	3	15	75	2	3	2	
Песок средне-зернистый	3	10	10	18	24	27	8	-	3
Песок пылеватый	2	2	2	4	20	40	14	16	2
Супесь легкая мелкозернистая	14	-	-	2	2	83	8	1	4
То же	1	-	-	2	77	6	10	1	4

Глубина залегания горизонта не превышает 10-17,6 м в юго-восточной части водораздела рек Солоницы и Игорь, и 22,5-33,5 м в долине р. Волги и на водоразделах рек. В районе г. Костромы горизонт вскрывается на глубинах 7-34,5 м. По долинам рек Солоницы, Игорь и их притокам имеются нисходящие родники. Мощность горизонта довольно постоянна на всей площади его распространения и составляет 10-20 м; она резко увеличивается (до 54,7-145,0 м) в древних долинах (скв. 84 и 35). Воды этого горизонта напорные; водоупором в кровле являются моренные суглинки московского оледенения. Высота напора изменяется от нескольких метров до 10-413,2 м, а в древних долинах до 46-100 м (скв. 84 и 35). Из скважины 84 отмечен самоизлив; пьезометрический уровень установлен в скважине 84 отмечен самоизлив; пьезометрический уровень установлен в

на высоте 1,5 м над поверхностью земли. Только в юго-восточной части водораздела рек Солоницы и Игорь, где водоносный горизонт залегает первым от поверхности, он имеет свободную поверхность. Водоупором в подошве являются моренные суглинки днепровского оледенения. В районе деревень Коряжово и Лесочное водоупор отсутствует и воды днепровско-московских флювиогляциальных отложений гидравлически связаны с водами нижнемеловых отложений. Нет водоупорного ложа также на небольших участках около д. Воскресенское и скв. 66, где водоносный горизонт гидрокарбонатно-кальциево-магниевого неогеновых отложений. По данным 41 химического анализа, воды олигосалического горизонта являются пресными, с минерализацией 0,3-0,6 г/л, реже до 1,0 г/л, гидрокарбонатно-кальциево-магниевого типа и характеризуются следующей формулой солевого состава:



Воды являются умеренно жесткими и жесткими, реже очень жесткими (до 16,8 мг·экв/л). Жесткость карбонатная. Вода в колодцах сильно загрязнена и относится к гидрокарбонатно-хлоридно-кальциево-магниевым водам; содержание иона  $\text{Mg}^{2+}$  доходит до 60 и даже 100-160 мг/л (11-30 мг·экв%). Скважиной колонкового бурения 84, пробуренной в долине р. Солоницы у д. Мельниково, в юго-восточной части территории, в днепровско-московских флювиогляциальных отложениях, выполненных древней долину, вскрыты солоноватые, с плотным остатком 1,7 г/л, воды сульфатно-кальциевого типа. Эти воды содержат сульфат-ион в количестве 1012,3 мг/л, т.е. в 60-100 раз больше концентрации его в водах горизонта. Такой состав объясняется притоком высокоминерализованных сульфатных и хлоридных вод из нижнетриасовых и пермских отложений, слагающих борта и основание древней долины. В процессе проведения откачки химический состав воды изменился: увеличилась общая минерализация воды до 2,3 г/л и содержание сульфат-иона до 1438,6 мг/л, т.е. почти в 1,5 раза по сравнению с его первоначальным содержанием; изменился и тип воды - на сульфатно-кальциево-натриевый. Увеличение минерализации воды в процессе откачки (фильтр находится в нижней части водоносного горизонта) объясняется усилением притока высоконапорных соленых сульфатных и хлоридных вод из нижнетриасовых и пермских горизонтов. Воды горизонта, по данным бактериологических анализов, пригодны для питья. Коли-титр равен или более 500, коли-индекс меньше 2. Среднее содержание урана в воде данного горизонта составляет  $(1-3) \cdot 10^{-6}$ , радио  $(3-6) \cdot 10^{-12}$  г/л. Аномальных

значений воднорасторимых солей радиоактивных элементов не обнаружено. По нормам ГОСТ 2874-54 и ГОСТ 2761-57 вода притопна для хозяйствственно-питьевых нужд. Исключение составляют воды в районе скв.84, где по содержанию плотного остатка (свыше 1 г/л) и жесткости (свыше 7 мг.экв/л) воды непригодны для хозяйствственно-питьевых целей. Водоносный горизонт опробован пробами и опытными откачками из скважин колонкового и ручного бурения (табл.15).

Таблица 15

№ скважины	Глубина залегания края водоизмещающей породы	Статический подъем воды во- доносного горизонта, м	Интервал опробования, м	Понижение дебита, м	Удельный дебит, л/с	Коэффициент фильтрации, м/сут		
84	Песок мелкозернистый	101,3-153,2	+1,8	149,2-149,8	6,7	31,5	0,2	2,9
35	Песок тонкозернистый	43,9-148,0	2,2	108,5-117,5	1,2	74,0	0,02	0,1
34	Песок тонкозернистый	46,0-65,0	+1,0	49,6-57,4	2,8	28,4	0,1	0,7
38	Песок разнозернистый с гравием и галькой	20,6-39,4	20,6	34,6-38,3	1,8	1,7	1,1	21,7
37	Песок тонкозернистый	5,4-37,0	5,4	21,7-28,7	1,5	6,7	0,2	1,1
62	Песок тонкозернистый	27,9-47,2	12,8	36,4-45,3	1,3	5,0	0,3	2,3

Как видно из таблицы, удельные дебиты скважин в зависимости от литологии водоизмещающих пород изменяются от 0,02 до 1,1 л/с, а коэффициенты фильтрации - от 0,1-2,9 до 21,7 м/сут. Водобильность отложений горизонта охарактеризована также данными 37 откачек сторонних организаций. На основании этих данных можно проследить изменение водообильности горизонта по площади, что вызвано сменой литологического характера водоизмещающих пород. Наименьшие удельные дебиты скважин порядка 0,03-0,1 л/с отмечены в юго-восточной части территории, где водоносные породы

представлены преимущественно глинистыми песками и супесями. Наибольшие - 0,6-1,7 л/с - в районе г.Костромы и по долине р.Волги у деревень Вятское - Федяево - Курево, где среди водоносных флювиогляциальных отложений имеются прослои разнозернистых гравелистых песков и гравийно-галечниковых отложений. На остальной площади развития водоносного горизонта удельные дебиты скважин составляют 0,1-0,3 л/с. Притопление горизонта происходит за счет инфильтрации атмосферных осадков и, возможно, перелива вод из выпадающих спорадически обводненных стулников московской морены; разгрузка осуществляется по склонам долин рек Кисмы, Тунгушонки, Солоницы и др. в виде нисходящих родников, дебиты которых составляют 0,03-0,5 л/с. На пойме р.Ниагами отмечен восходящий родник (рол.3) из межморенных отложений, дебит которого составляет 1,2 л/с. Частично разгрузка горизонта происходит за счет отока вод в близлежащие водоносные горизонты верхнечетвертичных и современных отложений. Население использует воды этого горизонта только по склонам долин и в юго-восточной части водораздела рек Солоницы и Ильгорь, на участках с неглубоким залеганием вод, где последние вскрываются шахматными колодцами. Горизонт имеет практическое значение для мелкого водоснабжения. Естественные ресурсы его составляют 16600 м<sup>3</sup>/сут при среднем модуле стока 0,9 л/с на 1 км<sup>2</sup>.

8. Днепровский подиоренний флювий оголяющий в одиночный горизонт ( $\text{ФФДН}$ ) залегает в виде разобщенных мелких участков на водоносных горизонтах в отложениях нижнего мела или неогена. На карте показаны только наиболее крупные плояди развития горизонта в юго-западной части территории, между деревнями Яковлево и Никитино и вблизи восточной границы территории (на основании материалов Расловской партии Костромской гидротектонической экспедиции). Глубина залегания горизонта изменяется вблизи речных долин от 18 до 25 м и dochходит до 70-86 м на водоразделах рек. Водоизмещающие породы представлены разнозернистыми песками с гравийно-галечниковыми прослойками. В скв.51 пески прослеживаются с глиниами и имеют подчиненное значение. Мощность водоносных пород не превышает 3-5 м и только в скв.75 в юго-западной части территории мощность составляет 15-20 м. Горизонт залегает преимущественно под суглинками днепровского оледенения, которые служат водупором в кровле. В юго-западной части территории водоупорная кровля местами отсутствует и горизонт гравийно-глинистых связанных с юго-западным горизонтом межморенных флювиогляциальных от-

ложений. Водоупорное ложе отсутствует на всей площади распространения описываемого горизонта и последний залегает непосредственно на водоносных горизонтах нижнемеловых или неогеновых отложений, с водами которых он также гидравлически связан. Воды горизонта напорные; высота напора от 11,6–14,0 до 44,47 м (скв. 51, 70 и др.) и даже до 65 м (скв. 49). Абсолютные отметки пьезометрического уровня изменяются от 97 м (скв. 44) до 112,5 м (скв. 51) пресная, с плотным остатком 0,2 г/л, гидрокарбонатно-кальциево-магниевого типа; формула ее солевого состава следующая:

$M_{O,2}$   $\frac{HCO_3}{3}$   $CaCO_3$   $Na_2CO_3$   $CaCl_2$

Общая карбонатная жесткость воды 3,8 мг\*экв/л. Ввиду наличия водоупора в кровле горизонт изолирован от загрязнения с поверхности, и в его водах отсутствуют ионы  $Fe^{++}$ ,  $Fe^{+++}$ ,  $NH_4^+$ ,  $NO_2^-$  и  $NO_3^-$ . Среднее содержание урана составляет  $(0,6-3,0) \cdot 10^{-6}$  г/л, радиоактивных элементов не обнаружено. Водообильность горизонта характеризуется двумя откачками из скважин, пробуренных Меливодстром (г. Ярославль). Результаты откачек приведены в табл. 16.

Таблица 16

№ сква-жины	Водоемеща-щая порода	Глубина за-ливания кровли и подошвы водоносного горизонта, м	Ста-тиче-ский уро-вень, м	Интер-вал оп-робова-ния, м	Де-ни-жение, м	Удель-ный де-бит, л/с	Содержание фракций (в мм), %									
							Наименова-ние грунта	Коли-чество гра-ника-лизов	2	2-1	1-0,5	0,5-0,25	0,25-0,1	0,1-0,05	0,05-0,005	менее 0,005
68	Песок разно-зернистый	59,0-75,0	45,0	63,1-68,9	0,2	2,8	Песок мелко-зернистый	13	-	-	6	5	82	4	1	2
49	Песок сред-незернистый	95,0-III,0	30,0	97,0-109,0	1,1	42,0	То же	9	1	20	14	10	51	1	1	2
							Супесь легкая	4	-	2	8	25	60	-	1	4

Горизонт получает питание на водораздельных участках в тех местах, где размыта водоупорная кровля, за счет перелива вод из вышележащего водоносного горизонта в меломоренных отложениях. Разгрузка происходит в долинах рек Волги, Солоницы и др. Местное население воды горизонта не использует, ввиду глубокого их заполнения. Для сельского водоснабжения горизонт имеет практическое

значение только в юго-западной части территории, где Меливодстрой (г. Ярославль) передает животноводческим фермам скважины, пробуренные как на водоносный горизонт нижнемеловых отложений, так и на горизонт днепровских полморенных флювиогляциальных отложений.

9. Н е о г е н о в ы й в о д о н о с н ы й г о р и - з о н т (Н) развит в центральной части территории, где кровля его находится на глубине от 16 до 42,5-50 м. Водоемещающие породы представлены песками, реже супесями. По данным 26 гранулометрических анализов, пески являются мелкозернистыми, супеси легкими мелкозернистыми (табл. Г7).

Таблица 17

Наименование грунта	Количество гравийных гранул из 2	Содержание фракций (в мм), %						
		2-1	1-0,5	0,5-0,25	0,25-0,1	0,1-0,05	0,05-0,005	менее 0,005
Песок	2	—	—	—	—	—	—	
Песок мелко-зернистый	13	—	—	6	5	82	4	
То же	9	1	20	14	10	51	1	
Супесь легкая	4	—	2	8	25	60	—	

Водоносные отложения имеют мощность 15-20 м, и только в скв. 55 и 59 мощность увеличивается до 48-60 м, а у д. Ср. Кувакино уменьшается до 9 м. Горизонт перекрыт суглинками днепровского оледенения, которые местами служат водоупорной кровлей. Воды его на значительной площади развития горизонта являются напорными, с величиной напора до 18,6 м (скв. 66), местами самоизливающимися. Пьезометрический уровень в скв. 66 установлен на высоте 1,6 м над поверхностью земли. На междууречье Солоницы и Иатори воды безнапорные и залегают на глубинах 17,6-36,7 м. Абсолютные отметки уровня вод - 109,8-15,6 м и только в районе д. Кувакино повышаются до 126 м. Водоупором в подошве горизонта являются юрские глины. На водоразделе рек Кубань и Черная, а также у пос. Бурмакино водоупор в подошве отсутствует и водоносный горизонт неогеновых отложений залегает непосредственно на водоносном горизонте нижнемеловых отложений, что обуславливает наличие между ними гидравлической связи.

По данным восьми химических анализов, воды горизонта являются пресными, с плотным остатком 0,2–0,4 г/л, гидрокарбонатно-кальциево-магниевого типа и характеризуются следующей формулой солевого состава:

M<sub>0,3</sub> Ca<sub>58</sub> Mg<sub>41</sub> Na<sub>1</sub>  
HCO<sub>3</sub><sub>4</sub> Cl<sub>3</sub> SO<sub>4</sub><sub>3</sub>  
(скв. 59).

Вода умеренно жесткая, местами загрязнена с поверхности, о чем свидетельствует содержание иона №<sub>3</sub> в количестве до 8–30 мг/л, или 2,7–8 мг·экв%. Воды неогеновых отложений, по данным 4 бактериологических анализов, пригодны для питья: коли-типер более 333 или 500, коли-индекс менее 3. Среднее содержание урана в воде составляет (1–3) · 10<sup>-6</sup> г/л, радия (3–6) · 10<sup>-12</sup> г/л. Аномальных значений воднорастворимых солей радиоактивных элементов не обнаружено. Данные химического и бактериологического анализа воды соответствуют нормам ГОСТ 2874–54 и ГОСТ 2761–57, и, следовательно, вода неогеновых отложений пригодна для хозяйствственно-питьевых нужд.

Водоносный горизонт отработан тремя опытными и тремя пробными откачками, данные которых приведены в табл. 18.

Таблица 18

№ сква-жины	Водоме-щающая порода	Глубина залега-ния кроили и подо-швы во-доносо-го гори-зонта, м	Став-тический про-бова-ний, м/с	Интервал опро-боя, л/с	Де-же-десит, м/с	Ло-ни-десит, м/с	Удель-коэффи-циент фильт-рации, м/сут	Коэффи-циент фильт-рации, м/сут
54	Песок круп-но- и гру-бозернистый	23,2-40,0	23,2	29,5-37,5	0,9	2,0	0,5	5,0
66	Песок с галькой	17,0-28,0	+1,6	21,0-23,9	6,4	4,0	1,6	29,0
56	Песок сред-незернистый	10,5-25,0	10,5	18,0-22,0	1,5	4,1	0,4	4,9
57	Песок гра-велюстистый с галькой	17,6-38,5	17,6	26,0-29,2	2,6	1,4	1,9	29,1
77	Песок тон-ко- и мелко-зернистый	24,3-45,0	23,2	34,0-38,1	1,3	6,3	0,2	2,6
59	Песок раз-нозернистый	48,4-85,0	36,7	77,4-81,2	2,4	6,7	0,4	5,6

Водоносный горизонт имеет практическое значение для водоснабжения колхозных ферм и небольших населенных пунктов ввиду достаточной водообильности, неглубокого залегания отложений и значительной мощности водоносных пород.

Естественные ресурсы горизонта составляют 20100 м<sup>3</sup>/сут при среднем модуле стока 1,0 л/с на 1 км<sup>2</sup>.

Ю. Нижнемеловой водоснабжительный го-р и з о н т (Сг<sub>1</sub>) развит по всей изученной территории, за исключением древних долин и района водораздела рек Солонки и Черной. Он приурочен к отложениям валанжинского, готерив-барремского и аптского возрастов. Кровля горизонта залегает на различных глубинах от поверхности земли – от нескольких метров до 70–80 м. Наиболее близкое залегание горизонта (от 1,5 до 17–18 м) наблюдается в долине р. Солонки, между д. Гзино и г. Нерехта, по долине р. Волги, где у д. Новодашково он является первым от поверхности водоносным горизонтом, и севернее г. Костромы. Наиболее глубокое залегание (70–80 м) отмечается в северо-западной (центральная часть Московской синеклизы) и юго-западной частях территории. Водомещающими породами являются пески чисто-, мелко- и средне-зернистые и алевриты. По данным 91 гранулометрического анализа грунтов, водоносные породы в основном представлены мелкозернистыми песками, легкими и тяжелыми супесями (табл. 19).

Таблица 19

Наименование грунта	Коли-чество гравийного	Содержание фракций (в мм), %					
		Песок		Глыбы глины			
Песок мелко-зернистый	4	—	—	—	40	40	18
То же	37	—	—	—	85	10	4
Супесь легкая мелкозернистая	31	—	—	—	70	10	16
Супесь тяжелая мелкозернистая	15	—	—	—	45	40	15
То же	4	—	—	—	70	4	10

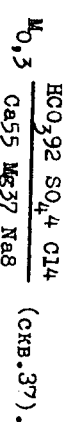
Мощность водосодержащих пород изменяется от нескольких метров (болееи древних долин) до 39-63 м (в южной части территории листа). Наибольшая их мощность (78 м) отмечена в северо-западной части территории (центральная часть Московской синеклизы).

Водоупорная кровля представлена суглинками московского или днепровского оледенения.

Она отсутствует на следующих участках: между деревнями Лесочное и Корнико (см. гидрологический разрез по линии А-Б), на водоразделе р.Кубань и ложбины, занятой Косынским болотом (между д.Иванниково и д.Матвеевское), в юго-западной части территории, в пределах площасти развития днепровских подмеренных флювиогляциальных и неогеновых отложений, и в ряде мест долин рек Волги и Солоницы. В местах отсутствия водоупора

горизонт имеет гидравлическую связь с вышележащими водами неогеновых, средне- и верхнечетвертичных отложений. Водоупор в подошве водоносных отложений этого горизонта представлен регионально

выдержанной толщей верхнеиерских глин мощностью 20-30 м и отсутствует только в районе пос.Бурмакино, где эти глины размыты. Водоупоры горизонта напорные, причем наибольшие напоры наблюдаются в западной и южной частях территории. Величина напора изменяется от 14-19 до 45-61 м. К долинам рек Солоницы и Волги в результате дренажного влияния последних напоры снижаются до нескольких метров. Абсолютные отметки пьезометрического уровня на водоразделах рек изменяются в пределах от 105-115 м в северо-западной до 115-126 м и редко до 136 м в южной части территории листа. В долинах рек Волги и Солоницы пьезометрические уровни снижаются до отметок 85-90 м. По данным 20 химических анализов воды горизонта пресные, с плотным остатком 0,2-0,4 г/л, гидрокарбонатно-кальциево-магниевого типа, характеризуются следующей формулой солового состава:



Воды относятся к мягким и умеренно жестким; с поверхности не загрязнены - ионы железа, азотной и азотистой кислот отсутствуют. По данным бактериологических анализов, вода вполне пригодна для питья. Коли-титр составляет более 500, коли-индекс - меньше 2. Среднее содержание урана в воде составляет  $(1,6) \cdot 10^{-7}$  г/л, радиоактивных элементов в воде не обнаружено. Вода этого горизонта соответствует нормам ГОСТ 2874-54 и ГОСТ 2761-57 и пригодна для хозяйствственно-питьевых целей.

Горизонт опробован опытными и пробными откачками, данные которых приведены в табл.20.

Таблица 20

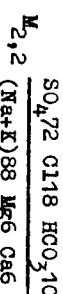
№ сква-жилы	Водовмещающая порода	Глубина залегания кровли подошвенно-горизонта, м	Ста-ти-ческий подъем, м	Интервал опробова-ния, м	Дебит, л/с	Понижение, м	Удельный дебит, л/с	Коэффициент фильтрации, м/сут
42	Песок мел-козернистый и тонкозернистый	51,8-93,0	8,1	70,7-74,3	0,4	26,0	0,02	0,2
27	Песок мел-козернистый	47,2-42,5	17,2	21,2-26,8	0,3	7,8	0,04	1,7
75	Песок мел-козернистый	29,1-69,0	29,1	56,5-64,5	0,2	9,9	0,02	0,3
64	Песок тон-ко- и мел-козернистый	19,5-39,0	19,5	28,0-35,4	1,3	6,1	0,2	2,0
70	То же	69,1-109,0	25,2	92,2-100,9	0,2	40,0	0,01	0,1
72	Песок мел-ко- и тон-козернистый	73,3-118,9	12,5	95,6-101,9	0,6	42,5	0,01	0,1

Как видно из таблицы, водообильность нижнемеловых отложений ненелика, удельные дебиты скважин составляют 0,01-0,04 л/с и лишь скв.64 достигает 0,2 л/с. Коэффициенты фильтрации, вычисленные по данным откачек, равны 0,1-2,0 м/сут. Водообильность отложений характеризуется также многочисленными откачками сторонних организаций. По их данным удельные дебиты скважин изменяются от 0,04 до 0,1 л/с и реже достигают 0,3-0,6 л/с. Питание водоснабжения горизонта происходит на водоразделах рек за счет перелива вод из вышележащих четвертичных горизонтов; разгрузка осуществляется главным образом за пределами изученной территории. Частично водонапорный горизонт дrenируется и на территории листа (в долях рек Волги и Солоницы) через водопроницаемые четвертичные отложения.

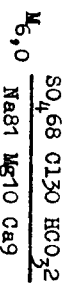
Водоносный горизонт меловых отложений имеет практическое значение для малого централизованного водоснабжения. Естественные ресурсы водоносного горизонта нижнемеловых отложений составляют  $6900 \text{ м}^3/\text{сут}$  при среднем модуле подземного стока  $0,4 \text{ л}/\text{с на 1 км}^2$ .

II. Нижнетриасовый водоносный комплекс ( $T_1$ ) развит на всей территории исследования и залегает на глубине от  $60 \text{ м}$  (г. Кострома) до  $120$ - $130 \text{ м}$  (северо-западная часть территории). Абсолютные отметки кровли отложений изменяются от  $+63\ldots+70 \text{ м}$  до  $-20\ldots-35 \text{ м}$ . В древних долинах, где значительная часть толщи триаса размыта, глубина залегания кровли нижнетриасовых отложений dochodit до  $156\ldots257 \text{ м}$  и находится на абсолютных отметках  $-54\ldots-110 \text{ м}$ . В скв. 45 вода приурочена к редким и тонким прослойям и линзам песчаников и мергелей, в скв. 79 - к прослойям глинистых песков мощностью до  $3,0\ldots3,8 \text{ м}$ . В других скважинах вода задерживается в прослойях песков и алевритов мощностью  $0,1\ldots4 \text{ м}$ . Водоносные прослойки залегают среди толщи глин. Воды нижнетриасовых отложений обладают напором, высота которого составляет  $82\ldots187 \text{ м}$ , местами (скв. I4) даже самозлив. Высота пьезометрического уровня в последнем случае составляет  $1,8 \text{ м}$  над поверхностью земли.

Химический состав воды приводится по данным скв. 45 и I4. Скважиной 45, пробуренной ГУДР на восточной окраине с. Мал. Соли, вскрыты минерализованные воды с плотным остатком  $2,4 \text{ г}/\text{л}$ , сульфатно-натриевого типа. Формула солевого состава:

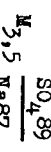


Общая жесткость  $3,9 \text{ мг-экв}/\text{l}$ , карбонатная -  $3,4 \text{ мг-экв}/\text{l}$ . В воде содержится бор в количестве  $2,56\ldots2,64 \text{ мг}/\text{l}$  и фтор -  $0,25 \text{ мг}/\text{l}$ . Другие элементы галогенной группы (брон, йод) и вредные для здоровья человека примеси (медь, цинк, свинец, мышьяк и др.) не обнаружены. Колонковой скв. I4, пробуренной Костромской партией в борьке к северо-западу от г. Костромы (д. Оганино), вскрыты воды триаса с более высокой ( $6 \text{ г}/\text{l}$ ) минерализацией. Они относятся к сульфатно-хлоридно-натриевому типу. Химический состав их отображен в следующей формуле солевого состава:



Общая жесткость вод составляет  $22,9 \text{ мг-экв}/\text{l}$ . Жесткость карбонатная. Наличие минерализованных вод в триасовых отложениях

г. Костромы было известно еще в начале XX века, когда скважиной, пробуренной на фабрике льняной мануфактуры и на высоте вином складе города, были вскрыты сульфатно-натриевые воды с остатком  $2,7\ldots3,5 \text{ г}/\text{l}$ . Формула Курлова их:



Водообильность отложений характеризуется тремя пробными откачками, проведенными из скв. I4, 79, 45, данные которых приведены в табл. 21.

Таблица 21

№ скважины	Водовмещающая порода	Высота напора, м	Интервал опробования, м	Дебит, л/с	Понижение, м	Удельный дебит, л/с
79	Песок мелко-зернистый	186,6	237,2-240,3	0,9	14,0	0,07
45	Песчаные прослойки среди глин	82,0	186,0-115,0	0,8	12,6	0,06
I4	То же	114,5	112,7-191,7	1,3	62,0	0,02

Питание и разгрузка вод происходит в основном за пределами изученной территории. Частичная разгрузка осуществляется в древней долине р. Солоницы в отложениях поймы и надпойменных террас реки и в днепровско-московские межморенные флювиогляциальные отложения, причем происходит засоление грунтовых вод. Воды нижнетриасовых отложений не имеют практического значения для хозяйственного-питьевого водоснабжения ввиду их высокой минерализации.

12. Казанская водоносная тектоника (Р. К.) вскрыта только скв. 45. Он залегает в интервалах глубин  $338,5\ldots369,0 \text{ м}$  и имеет мощность  $30,5 \text{ м}$ . Водовмещающими породами являются доломитизированные, окременные и затяжлованные известники. Воды напорные, с высотой напора около  $340 \text{ м}$ . Глубина пьезометрического уровня их  $5,4 \text{ м}$  (абс. отметка  $96,6 \text{ м}$ ). По данным химических анализов, воды казанских отложений являются высоко минерализованными, с сухим остатком  $37,7 \text{ г}/\text{l}$ . Они содержат бром ( $7,5 \text{ мг}/\text{l}$ ) и бор ( $0,4 \text{ мг}/\text{l}$ ).

По данным желонирования, известники очень слабо обводнены - удельный дебит скважины равен  $0,0002\ldots0,003 \text{ л}/\text{s}$ . Ввиду высокой

минерализации и слабой водообильности горизонт практического значе-  
ния для водоснабжения не имеет.

13. К а м е н н о у г о л ь н о - н и ж н е п е р м с к и й  
в о д о н о с н ы й к о м п л е к с ( $C-P_1$ ) вскрыт скв.45 в  
интервале глубин 369-830 м и имеет мощность 461 м. Водоимещающие  
породы представлены мелко- и микрокристаллическими известняками  
и доломитами плотными, сильно загипсованными и окремененными с  
редкими крупными кавернами.

Водоносный комплекс состоит из двух карбонатных водоносных  
толщ, которые в интервале глубин 718-738 м разделены глинами ве-  
рейского горизонта. Глины М.А.Гатальский (1954 г.) рассматрива-  
ет в качестве регионального водоупора.

В состав верхней толщи входят карбонатные породы среднего  
и верхнего карбона и нижней перми. Воды комплекса напорные, само-  
изливающиеся. Пьезометрический уровень остановился на высоте  
0,6 м над поверхностью земли (абс. отметка - 102,6 м).

Химический состав вод выражается следующей формулой солево-  
го состава:

$$Br=0,2; M_{45,5} \frac{Cl97}{Na85} \frac{Sav}{Mg6 K1} \frac{SO43}{}$$

Как видно из формулы, воды являются рассолами хлоридно-натриево-  
го типа. Общая жесткость равна 353,9 мг-экв/л, карбонатная -  
128 мг-экв/л. Воды содержат бор - 1,77 мг/л, бром - 7,5 мг/л,  
фтор - 1,63 мг/л. Вредные примеси (медь, цинк, свинец, мышьяк)  
и юд не содержатся.

В результате желонирования изучена водообильность только  
верхней части комплекса (асельский водоносный горизонт). Макси-  
мальный дебит скважины составил 0,25 л/с при понижении 89,1 м.  
Удельный дебит - 0,003 л/с. М.А.Гатальский (1954 г.) отмечает,  
что в г.Ярославле из нижней карбонатной толщи наблюдался самоиз-  
лив с дебитом до 30 л/с. Каменноугольно-нижнепермский водоносный  
комплекс практического значения для водоснабжения не имеет вви-  
ду высокой минерализации воды.

14. В е р х н е д е в о н с к и й в о д о н о с н ы й  
к о м п л е к с ( $D_3$ ) вскрыт скв.45 и залегает в интервале глу-  
бин 830-1435 м. Мощность комплекса - 605 м. Водоимещающие породы  
представлены в верхней части доломитами, в нижней - песками и  
известняками. Они переслаиваются с глинами, алевролитами и мер-  
гелиями.

Характеристика водоносного горизонта приводится по данным  
Любимской опорной скважины ввиду того, что в скв.45 опробование  
комплекса не проводилось.

В отработанных интервалах глубин 830-840, 1022-1030, 1162-  
1164 и 1396-1401 м вскрыты высоконапорные сильно минерализован-  
ные (рассолы) воды. С глубиной высота напора воды увеличивается,  
а отметки пьезометрических уровней снижаются. В зависимости от  
глубины залегания отработанного интервала глубина залегания  
статического уровня колеблется в пределах от 9,5 до 137 м (абс.  
отметки от +92,5 до -35 м), а напоры составляют 820-1060 м.

В опробованных интервалах 1022-1030, 1162-1164 и 1396-1401 м  
вскрыты рассолы хлоридно-натриевого типа.  
Формула Куррова:

$$Br=0,7; M_{38,1} \frac{Cl99}{(Na+K)75} .$$

Удельный вес воды составляет 1,1613-1,1668 г/см<sup>3</sup>. Температура  
воды, измеренная максимальным ртутным термометром на глубине  
1000 м, составляет 23,5°C, на глубине 1250 м - 32,4°C.  
Воды комплекса нетроподны для питьевого водоснабжения, но  
могут быть использованы для бальнеологических целей.

15. С р е д н е о р д о в и к с к о - с р е д н е д е -  
в о н с к и й в о д о н о с н ы й к о м п л е к с ( $O_2-D_2$ )  
вскрыт скв.45 и приурочен к отложениям кужерского и идаверско-  
го горизонтов среднего ордовика и пиринского, наровского и ста-  
рооскольского горизонтов среднего девона. Водоимещающая толща  
залегает в интервале глубин 1435-1817 м и представлена доломита-  
ми, известняками и песчаниками. Среди последних встречаются про-  
слой глин мощностью до 15 м. Общая мощность комплекса 382 м.  
Гранулометрический состав, определенный по 12 образцам, показал  
следующее содержание фракций (%): 0,5-0,25 мм - 0,1-1,2;  
0,25-0,1 мм - 0,4-4%; 0,1-0,01 мм - 20,4-44; 0,01 мм - 17. Пе-  
ристость - 5-18%. Проницаемость - 0,1-3,7 мл/мин.

Водоносный комплекс опробован в интервале 1529-1680 м. Глу-  
бина пьезометрического уровня - 118,9 м (абс. отметка - 16,9 м).  
Высота напора - около 1500 м.

По химическому составу воды комплекса хлоридно-натриевые с  
минерализацией 252,2 г/л. Формула солевого состава:

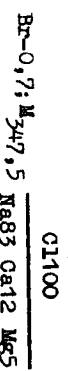
$$Br=0,9; B=0,05; M_{252,2} \frac{Cl100}{(Na+K)70 Sav1 Mg9} .$$

Удельный вес воды - 1,184 г/см<sup>3</sup>. Содержание в воде йода - 2,5 мг/л, бора - 45,3 мг/л и брома - 932,7 мг/л. Температура воды, замеренная на глубине 1750 м, равна 43,5°C.

Воды практически пригодны только как источник химического сырья и для бальнеологических целей.

16. Т а л л и н с к и й в о д о н о с н ы й г о р и -  
з о н т (0216) вскрыт скв.45 и залегает в интервалах глубин 1817-1863 м. Мощность его - 46 м. Он приурочен к отложениям таллинского горизонта, водовмещающие породы его представлены мелкокристаллическими доломитами и известняками. Горизонт опробован в интервале 1820-1836 м. Глубина залегания пьезометрического уровня - 124,7 м (абс.отм. - 22,7 м). Высота напора - около 1700 м.

По химическому составу воды горизонта хлоридно-натриевые с минерализацией 347,5 г/л. Формула солевого состава:



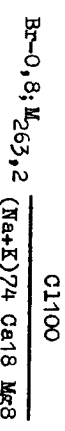
C1100

Содержание в воде йода - 1,9-0,3 мг/л; бора - 26,1-25,8 мг/л; брома - 854,3-750,9 мг/л. Температура воды, замеренная максимальным ртутным термометром на глубине 1910 м, равна 47,5°C, а на глубине 1980 м - 51,4°C. Растворенные в воде газы содержатся в количестве 84,8-87,8 нем<sup>3</sup>/л, в том числе азота 75,7-80,5 нем<sup>3</sup>/л.

Химический состав газа (в объемных %): CO<sub>2</sub> - 3,9-7,8; CH<sub>4</sub>+T.U. - 8,3-9,9; N<sub>2</sub> - 75,7-80,5; H<sub>2</sub> - 3,7-8,2; He - 1,7; Ar - 0,4. 0 подобility водоносного комплекса можно судить по данным откачки, проведенной компрессором. Дебит скважины - 7,3 л/с (633 м<sup>3</sup>/сут).

18. С р е д н е к е м б р и й с к и й в о д о н о с н ы й  
к о м п л е к с (04) вскрыт скв.45, залегает в интервале глубин 2000-2079,5 м и приурочен к отложениям тискинского горизонта среднего камбрия. Мощность горизонта - 79,5 м. Водовмещающими породами являются мелкозернистые пески и песчаники. Гранулометрический состав, определенный по одному образцу, представлен следующими фракциями (в %): 10-0,25 мм - 27; 0,25-0,1 мм - 30; 0,1-0,01 мм - 35; 0,01 мм - менее 0,001 мм - 17. Опробование водоносного комплекса проведено в интервале глубин 2017-2047 м. Пьезометрический уровень залегает на глубине 87 м (абс. отметка +15 м). Высота напора - около 1900 м.

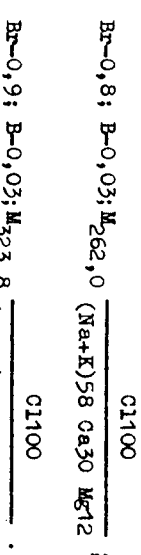
По химическому составу воды горизонта хлоридно-натриевые с минерализацией 263,2 г/л. Формула солевого состава:



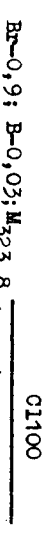
C1100

Удельный вес воды, приведенный к 20°C, - 1,1923 г/см<sup>3</sup>. Содержание в воде йода - 7,9 мг/л; бора - 20,6 мг/л; брома - 787,4 мг/л. Количество растворенного в воде газа равно 84,5 нем<sup>3</sup>/л, в том числе азота - 72,1 нем<sup>3</sup>/л. Химический состав газа (в объемных %): CO<sub>2</sub> - 0,2; CH<sub>4</sub>+T.U. - 10,8; N<sub>2</sub> - 85,3; He - 2,0; Ar - 0,3; H<sub>2</sub> - 1,4. Температура воды, измеренная максимальным ртутным термометром на глубине 2025 м, - 52,8°C.

Формулы солевого состава:



C1100



C1100

Опробование горизонта проведено в интервалах глубин 1920-1926 и 1975-1985 м (пакерортско-леэстский водоносный горизонт). Пьезометрический уровень составляет 137 м (абс.отметка - 35 м); высота напора - около 1850 м.

По химическому составу воды комплекса хлоридно-натриево-кальциевые и хлоридно-натриевые с минерализацией 262,0-323,8 г/л.

Судя по данным откачки, проведенной компрессором (интервал отпробования 2017–2047 м), комплекс водообильный: дебит скважины – 4,1 л/с (364 м<sup>3</sup>/сут).

Водоносный комплекс изолирован от нижележащих водоносных комплексов региональным водоупором, представленным глинами лонготавской свиты (Ст<sub>1</sub> /п?), которые носят название "синих" глин.

Воды комплекса не могут быть использованы для питьевого водоснабжения, но пригодны для бальнеологических целей и как источник химического сырья.

ИЖНЕКЕМБРИЙСКИЙ ВОДОНОСНЫЙ КОМПЛЕКС (Ст<sub>1</sub>) вскрыт скв.45 в интервале глубин 2227–2329 м. Общая мощность комплекса – 102 м. Вода приурочена к отложениям ломоносовской свиты нижнего кембра. Водовмещающие породы представлены алевролитами и песчаниками, среди которых присутствуют простые глины.

Гранулометрический состав водовмещающих пород определялся по восьми образцам. Содержание фракций составляет (в %): 0,01–0,001 мм – 13–30; 0,1–0,01 мм – от 50 до 80; 0,25–0,1 мм – 0,8–21,8. Пористость – 8–9%. Проницаемость одного образца равна 1,092 мд, пяти образцов >0,1 мд и двух образцов >0,01 мд.

Водоносный комплекс отделен от вышеупомянутых водоносных горизонтов и комплексов региональным водоупором, представленным толщей "синих" глин лонготавской свиты нижнего кембра (Ст<sub>1</sub> /п?). Глины плотные, аргиллитоподобные, сланцеватые, в верхней части толщи с прослойками алевролитов и песчаников, залегают в интервале глубин 2079,5–2227 м и имеют мощность 147,5 м.

Отпробование нижекембрийского водоносного комплекса в данной скважине не проводилось. Но комплекс был отпробован в Переславль-Залесской опорной скважине в интервале глубин 1559–1571 м, где вскрыты хлоридно-натриевые воды с минерализацией 224 г/л. Содержание йода составляет 14,5 мг/л и брома – 762 мг/л.

Воды комплекса непригодны для питьевого водоснабжения, но практически могут быть использованы как источник химического сырья (бром) и для бальнеологических целей.

ИЖНЕКЕМБРИЙСКИЙ ВОДОНОСНЫЙ КОМПЛЕКС (Ст<sub>1</sub>) вскрыт скважиной № 101-1,01 в интервале глубин 2329–2798,5 м и приурочен к отложениям вендской и волжской серий. Вскрыта мощность комплекса – 469,5 м. Водовмещающими породами являются пески, песчаники и алевролиты, которые переслаиваются с глинами.

По данным гранулометрических анализов (девять образцов), основной является фракция 0,1–0,01 мм, содержание фракций 0,01–

0,001 мм (в %) составляет 10–30, 0,25–0,1 мм – 5–20. Пористость – 8–9%. Проницаемость < 0,1 мд.

Отпробование водоносного горизонта в скв.45 не производилось, поэтому характеристика верхнепретерозойского водоносного комплекса приводится по данным Солигаличской и Переславль-Залесской опорных скважин.

В Солигаличской скважине в отпробованных интервалах глубин 2108–2111 и 2265–2408 м вскрыты рассолы хлоридно-кальциево-натриевого типа с минерализацией от 265,4 до 270,1 г/л и удельным весом 1,1871–1,1901 г/см<sup>3</sup>. Содержание брома – 1485,2–1591,7 мг/л. Глубина залегания пьезометрического уровня составляет 222,5 и 227,3 м, а высота напора – 1875,6 и 2037,6 м. Дебит скважины при отпробовании песчаников, залегающих в интервале 2108–2111 м, составляет 28 м<sup>3</sup>/сут (0,32 л/с) при понижении на 56,1 м. В Переславль-Залесской скважине отпробованы интервалы 1788–1800, 1976–1995, 2027–2033 и 2041–2062 м. Из всех интервалов получены рассолы с минерализацией 240–245 г/л. Содержание в воде йода – 20–23 мг/л, брома – 691–750 мг/л. Среди растворенных газов (в %) присутствуют CH<sub>4</sub> – 3,2–11, C<sub>2</sub>H<sub>6</sub>+B – 0,04–1,15, Ar – 0,14–0,18, Ne – 0,62, H<sub>2</sub> – 0,59–1,3.

Воды комплекса могут быть использованы как источник химического сырья (бром и др.), для бальнеологических целей.

## ОСНОВНЫЕ ГИДРОГЕОЛОГИЧЕСКИЕ ЗАКОНОМЕРНОСТИ

### Формирование и гидрохимическая зональность подземных вод

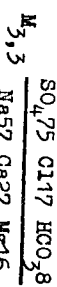
Условия питания и формирования подземных вод обуславливают наличие вертикальной гидрохимической зональности, которая выражается в смене (с глубиной) пресных гидрокарбонатно-кальциево-магниевых вод, минерализованными водами сульфатно-натриевого типа и глубже – хлоридно-натриевыми рассолами. К пресным гидрокарбонатно-кальциево-магниевым водам с плотным остатком менее 1 г/л относятся воды четвертичных, неогеновых и нижнемеловых отложений. Низкая минерализация и гидрокарбонатный тип воды свидетельствует о застagnии этих вод в зоне интенсивного водообмена.

Воды сульфатного типа находятся на больших глубинах, чем гидрокарбонатно-кальциево-магниевые воды, а именно – в нижнегризовых отложениях. Абсолютное количество гидрокарбонатов кальция в них остается примерно таким же, но общее содержание солей увеличивается за счет сульфатов и хлоридов. Общая сумма солей со-

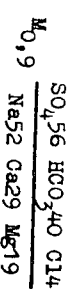
ставляет  $\Gamma_{1,8-6}$  г/л. Сульфатные воды залегают в зоне затрудненного или замедленного водообмена. Они сменяются с глубиной хлоридно-натриевыми водами, которые характеризуются значительной минерализацией (от 37 до 214 г/л).

По разрезу изученной территории отмечается смена гидрохимических типов вод с постоянным нарастанием их общей минерализации, что соответствует общей гидрохимической вертикальной зональности, характерной для подземных вод Русской платформы. С нарастанием общей минерализации и преобладающим нарастанием иона натрия растет и содержание иона кальция. Абсолютное содержание сульфатов увеличивается с глубиной и в сульфатном типе вод их меньше, чем в вышеупомянутых хлоридно-натриевых водах.

В общей схеме гидрохимической зональности наблюдается химическая аномалии, которые приурочены к водоносным горизонтам четвертичных отложений. Такие аномальные по химическому составу воды встречены по долине р.Солоницы, западнее д.Михеевское, у д.Гзино, пос.Некрасовское и по долине р.Волти, в районе пос.Красный Профинтерн. По данным бурения поперечного створа через долину р.Солоницы, западнее д.Михеевское, отмечается **увеличение минерализации вод и изменение химического состава их с глубиной** (рис.8). Скважинами 83 и 84 в отложениях древней долины вскрыты соленоватые воды сульфатно-натриево-кальциевого типа с плотным остатком  $2,3-3,3$  г/л. Содержание иона натрия составляет  $\Gamma_{19,7}-670,7$  мг/л,  $SO_4^{2-}$  –  $1438,6-1836,9$  мг/л. Формула солевого состава вод:



В результате более сильного разбавления этих смешанных вод пресными гидрокарбонатно-кальциево-магниевыми водами происходит опреснение их. Скважиной 82 (по этому же створу) в вышеупомянутых глинистых отложениях московского оледенения вскрыты сульфатно-гидрокарбонатно-натриево-кальциевые воды с плотным остатком  $0,9$  г/л. Содержание в них ионов  $Na^+$  составляет  $\Gamma_{72,3}$  мг/л,  $SO_4^{2-}$  –  $395,0$  мг/л. Формула солевого состава их:



По этому же створу (скв.80 и 84), но выше по разрезу, а именно, в аллювиальных отложениях р.Солоницы и в отложениях верхней части древней долины, грунтовые воды имеют гидрокарбонатно-каль-

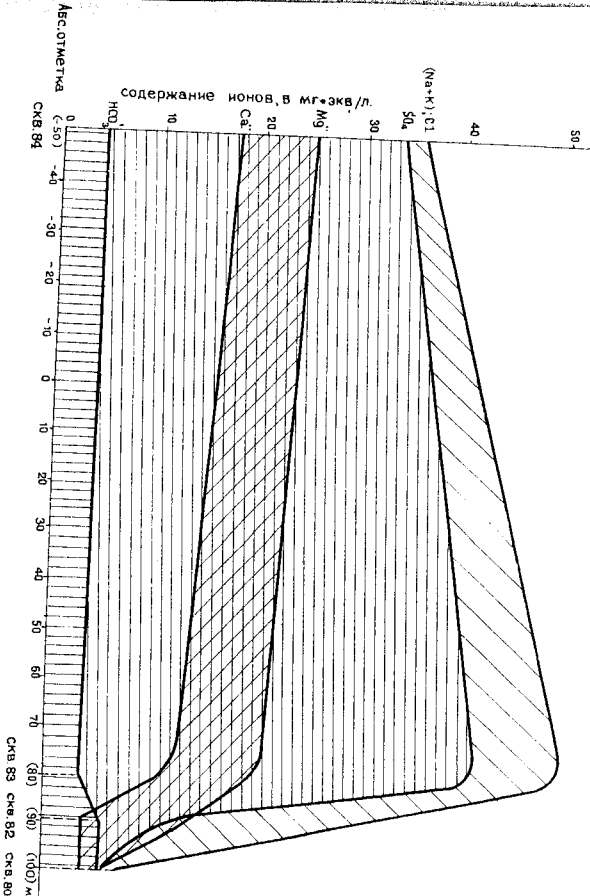


Рис.8. Гидрохимическая зональность подземных вод в вертикальном разрезе долины р.Солоницы.  
Составили А.А.Медем, А.И.Евсеевков,  
Н.И.Кусалова, 1957 г.

циево-магниевый состав и плотный остаток 0,3–0,4 г/л. Формула солевого состава их:

НСО<sub>2</sub>87 С110 SO<sub>4</sub><sup>2-</sup>  
М<sub>0,4</sub> Са51 №54 №15.

Ниже по течению р.Солоницы в районе д.Гзино местная гидрохимическая аномалия, вызванная подтоком минерализованных высоконатронных вод из нижнетриасовых отложений, наблюдается на участке скважины ручного бурения 48, в вертикальном разрезе которой пресные (0,3 г/л) гидрокарбонатно-кальциево-магниевые воды сменяются с глубиной солоноватыми (2,0 г/л) гидрокарбонатно-натриевыми водами. С глубиной по скважине отмечается увеличение содержания ионов Cl' и Na' в 30 раз, в то время как гидрокарбонатного иона всего в 5 раз.

Особенно сильный подток высокоминерализованных вод из пермских и нижнетриасовых отложений в вышеупомянутые четвертичные отложения наблюдается в нижнем течении р.Солоницы. У бывшего посада Бол.Соли (ныне пос.Некрасовское) и с.Мал.Соли еще в далеком прошлом были известны родники соленых вод, которые выходили также вблизи г.Нерехты. Они были описаны И.И.Горским (1926), С.Н.Никитиным (1904), а впоследствии о них упоминается в работах М.А.Гатальского (1950 г.). На протяжении нескольких столетий посад Бол.Соли, с.Мал.Соли и г.Нерехта были известны как место соленования и имели большое значение в соляной промышленности северной части Европейской России. Впоследствии посад Бол.Соли стал известен также как курорт с минеральной водой. Добыча рассолов производилась не только из родников, но и из колодцев, глубина которых составляла 2–16 м. По данным анализа воды одного из колодцев, проведенного в военно-медицинской академии профессором А.П.Дианиным (И.И.Горский, 1928), минерализация вод составила 17,3 г/л, а содержание Cl' – 7,4 г/л. В 1917 г. вблизи соленых колодцев (у посада Бол.Соли) была проходена скважина глубиной до 47 сажень (100,6 м). По данным анализа пробы воды, отобранный с глубины 6,5 сажень, сухой остаток составил 20,9 г/л. Соляной промысел в районе пос.Некрасовское и с.Мал.Соли постепенно прекратился. Основной причиной прекращения солеваренного промысла в этом районе является ослабление концентрации рассолов, так как фильтрация вод из пермо-триасовых отложений происходит очень медленно, а коллекторы соленых вод в четвертичных песках за 600–700 лет эксплуатации могли истощиться. В 30-х годах при проведении инженерно-геологических исследований по туровскому ство-

ру на р.Волге (Б.Д.Леонов, 1948 г.), соленые родники не были обнаружены. Когда и при каких обстоятельствах прекратили они свое существование—неизвестно, вероятно, они засилили весенними паводками.

Вблизи с.Мал.Соли, на пойме р.Солоницы, там, где раньше выходили на поверхность соленые родники и были солеварни, Нерехтской партией пробурена ручная скв.З0, которая соленых вод не вскрыла. По данным химических анализов, с глубиной отмечается только увеличение содержания иона Cl' в 3 раза и изменение типа воды с гидрокарбонатно-сульфатно-натриево-кальциевого на гидрокарбонатно-хлоридно-натриевый. Минерализация вод не превышает 0,6–0,7 г/л.

В пос.Некрасовское на бальнеологическом курорте был пробурен ряд скважин, которые вскрыли соленые воды в древней долине р.Солоницы. По данным этих скважин, четко прослеживается местная вертикальная гидрохимическая зональность, вызванная подтоком вод из отложений нижнего триаса и особенно из перми. Она заключается в смене с глубиной химического типа воды с сульфатно-хлоридного на хлоридный и увеличении минерализации с 3,6 до 26,8–29,6 г/л.

Так, скважинами, пробуренными в 1917 г. и несколько позднее приведенными в работе Е.Е.Альтовской (1948 г.), на глубине 6,9 м в аллювиальных верхнечетвертичных отложениях вскрыты сульфатно-хлоридно-натриевые воды с плотным остатком 3,6 г/л. Формула Курлова их:

SO<sub>4</sub><sup>2-</sup>51 С142  
М<sub>3,6</sub> №91

На глубине 52,9–100,7 м в днепровско-московских флювиогляциальных отложениях вскрыты хлоридно-натриевые воды с плотным остатком 26,8–29,6 г/л. Формула Курлова их:

С182  
М<sub>26,8</sub> №77

Скважиной, пробуренной на курорте в 1957–1959 гг. ГУДР с целью эксплуатации минеральных вод, вскрыты в днепровско-московских флювиогляциальных отложениях, выполняющих дренажную долину, только сильно минерализованные воды. По данным химического анализа пробы воды, отобранный в октябре 1962 г. с глубины 120 м и проанализированной в лаборатории Костромской экспедиции, воды являются хлоридно-сульфатно-натриевыми с плотным остатком 16,5 г/л. Формула солевого состава их:

С172 SO<sub>4</sub>27 HCO<sub>3</sub>1  
№16,5 №16 №15

Воды очень жесткие, с общей жесткостью 84,6 мг-экв/л. Они используются в бальнеологических целях, для лечения желудочных заболеваний. Аномальные по химическому составу воды вскрыты также скв.43 в районе пос.Красный Профинтерн, где имеется крупный краш-мало-паточный завод. Шалитие таких вод является здесь следствием не только сильного загрязнения их с поверхности отходами завода, но и подтека минерализованных вод из пермских и триасовых отложений. На подтек минерализованных вод в данном районе указывал еще С.Н.Никитин (1904 г.), который обследовал соленые родники, выходившие в то время на поверхность по правому берегу р.Волти, против пос.Красный Профинтерн. Впоследствии эти родники также прекратили свое существование. Воды, вскрытые скв.43, являются сульфато-гидрокарбонато-кальциевыми с плотным остатком I,8-2,8 г/л. Содержание в них иона Cl<sup>-</sup> составляет 213-231 мг/л, SO<sub>4</sub><sup>2-</sup> - 523-658 мг/л и Na<sup>+</sup> - 353 мг/л. Отмеченные аномалии химического состава вод четвертичных отложений связаны с дренирующим действием древней долины р.Солоницы, по которой происходит подъем высоконапорных сильно минерализованных вод из нижнетриасовых и пермских отложений. Восходящий ток минеральных вод с глубины происходит сначала по мелким трещинам сильно трещиноватых глин перми и триаса, затем - сквозь рыхлые четвертичные образования, которые выполняют древнюю долину. Подъем вод происходит очень медленно; скорость его зависит от наимен и мощности слабопроницаемых суплинистых пород, выполняющих наряду с песчаными образованиями древнюю долину. По мере подъема этих вод происходит постепенное разбавление их пресными водами. Поэтому с глубиной наблюдается постепенное нарастание концентрации ионов Cl<sup>-</sup> и Na<sup>+</sup>, увеличение минерализации и смена типа вод.

На исследованной территории достаточно четко выделяются три гидродинамические и соответствующие им гидрохимические зоны (по Н.К.Игнатовичу, 1944).

Зона с юго-западомена прослеживается в пределах глубин, испытавших влияние дренажа рек-ради. Она охватывает четвертичные, неогеновые и нижнемеловые водоносные горизонты. В ней формируются пресные гидрокарбонато-кальциевые и кальциево-магниевые воды с минерализацией до 1 г/л. Мощность зоны не превышает 200-250 м.

Зона заструженного зоуденного зоуда (затрудненной циркуляции) расположается ниже местного бассиса эрозии, в пределах нижнетриасового и пермских водоносных горизонтов и комплексов. В этой зоне дренирующее воздействие, хотя и слабое, оказывает не только гидрогравитационная сеть, но и древние долины. Здесь формируются сульфато-хлоридные и хлоридно-натриевые воды с минерализацией до 100 г/л (М.А.Гагальский, 1954 г.). Нижней границей зоны служит поверхность гипсово-антидоровой толщи.

Зона весьма затрудненного в осаждения охватывает каменноутольные, девонские, кембрийские и верхнетретровозайские водоносные комплексы, содержащие мало изменяющиеся с глубиной хлоридно-натриевые рассолы с минерализацией до 214 г/л.

Гидротермическая зональность. На рассматриваемой территории в пределах изученных в гидрогеологическом отношении глубин (до 100-150 м) температура подземных вод ниже пояса постоянных температур колеблется от 5 до 70°C; воды по классификации Ф.Л.Саваренского относятся к холдным (до 20°C). Нижняя граница зоны холдных вод по данным термокартата в скв.45 залегает на глубине около 750 м (температура 19,2°C).

В зону холдных вод входит, таким образом, водоносные горизонты и комплексы четвертичных, неогеновых, нижнемеловых, нижнетриасовых, верхне- и нижнепермских и каменноутольных отложений.

Ниже зоны холдных вод развиты гидротермальные воды (табл.22); до глубины примерно 1400 м - теплые воды, до глубины 1700 м - горячие и глубже - очень горячие воды.

Таблица 22

№ п/п	Глубина ступенчатого термометра, м	Среднее показание термометра, °C	№ п/п	Глубина ступенчатого термометра, м	Среднее показание термометра, °C
1	200	14	7	1500	39,2
2	280	17,7	8	1750	43,5
3	500	15,5	9	1910	47,5
4	750	19,2	10	1980	51,4
5	1000	23,5	II	2025	52,8
6	1250	32,4			

## НАРОДНОХОЗЯЙСТВЕННОЕ ЗНАЧЕНИЕ ПОДЗЕМНЫХ ВОД

В настоящее время водоснабжение сельских населенных пунктов базируется на использовании преимущественно грунтовых вод шахматными колодцами, в пределах моренной равнины — вод гляциальных и флювиогляциальных отложений, на остальной территории — аллювиальных и озерно-аллювиальных.

Водоснабжение наиболее крупных населенных пунктов — г. Костромы, г. Нерехты и пос. Некрасовское основано на использовании реки Костромы — животноводческих ферм производится за счет подземных вод. Бурение скважин для водоснабжения осуществляется Мелиловолстромом Ярославской и Костромской областей, а в последние годы Костромской экспедицией Второго гидрогеологического управления.

Наиболее перспективными для водоснабжения мелких населенных пунктов и колхозных ферм являются следующие водозонные горизонты:

1. Водоносный горизонт верхнечетвертичных озерно-аллювиальных отложений имеет практическое значение для водоснабжения на участках деревень Новодашково — Песочное — пос. Красный Профинтерн — Курево, д. Лантусово и к северу от г. Костромы (деревни Оганино, Слободка), т.е. там, где горизонт имеет максимальную мощность и водоизмещающие породы представлены песчаными и гравийными отложениями. Максимальный удельный дебит скважин, вскрывающих этот горизонт, по данным оточек составляет 26—225 м<sup>3</sup>/сут. Ввиду отсутствия надежного водоподпора в кровле горизонта и возможности затягивания его с поверхности при эксплуатации скважин для водоснабжения необходимо организовать зону строгой санитарной охраны.

2. Водоносный горизонт днепровско-московских межморенных флювиогляциальных отложений имеет практическое значение только в юго-восточной части водораздела рек Солоницы и Ипюри, где он является первым от поверхности водоносным горизонтом, а также на участке д. Бакшайка — г. Кострома, севернее г. Костромы и по долине р. Волги в районах деревень Вятское, Федяево-Курево. Удельные дебиты скважин здесь составляют 50—150 м<sup>3</sup>/сут. На этот водоносный горизонт пробурены и сланы в эксплуатацию для водоснабжения поселков и животноводческих ферм скважины в деревнях Воскресенское, Коряжко, Ушаково, Песочное и в узкозе г. Костромы.

3. Водоносный горизонт неогеновых отложений имеет практическое значение для водоснабжения на всей площасти своего распространения. Удельный дебит скважин, вскрывающих водоносный горизонт, составляет 20—165 м<sup>3</sup>/сут. На этот горизонт пробурены и сланы в

эксплуатацию скважины в деревнях Косманино, Неверово, Челпаново, Матвеево, Кононово и Терьково.

4. Водоносный горизонт нижнемеловых отложений для водоснабжения поселков и животноводческих ферм имеет практическое значение также на всей площасти своего развития, но особенно в юго-западной части территории, где отсутствуют другие перспективные для водоснабжения водонесные горизонты. Для водоснабжения на этот горизонт пробурены и сланы в эксплуатацию скважины в деревнях Бакшина, Татарское и на птицефабрике г. Нерехты. Удельные дебиты скважин, вскрывших горизонт, составили 4—12 м<sup>3</sup>/сут. Воды этого горизонта используются для водоснабжения сельскохозяйственных ферм и мелких населенных пунктов буровыми скважинами Мелиловолстроя Костромской и Ярославской областей, особенно в южной части территории.

### ЛИТЕРАТУРА

#### ОПУБЛИКОВАННАЯ

А н у ш к и н А. Минеральные источники в пределах Костромской губернии и Солигалицкий курорт. Кострома, 1905.

Б а к и р о в А.А. Геологическое строение и перспективы нефтегазоносности палеозойских отложений Среднерусской синеклизы. М.-Л., 1948.

Б а к и р о в А.А. Проблема нефтегазоносности центральных районов Русской платформы в свете учения И.М. Губкина. — В кн.: Сб. геол. работ, посвящ. памяти акад. И.М. Губкина, М.-Л., 1948.

Б а л т и й с к а я А.А., В е л и к о в с к а я Е.М., Г л и к о О.А. Геологическая карта СССР масштаба 1:1 000 000, лист 0-37. М., 1940.

Б л о м Г.И. Нижнетриасовые отложения Волго-Вятского междуречья. — Пр. ВИГИИ, вып. XXIX, М., 1960.

Б л о м Г.И., И г н а т ь е в В.И. Стратиграфическая схема нижнетриасовых отложений бассейна верхней Вятки. — Уч. зап. Каз. Ун-та, т. II, кн. 8, 1955.

Б о г о м о л о в Г.В. и др. Подземные воды центральной и западной частей Русской платформы. (Палеозой). Минск, 1962.

Б р у н с Е.П., Д у б я н с к и й А.Я., З о р и ч е - в а А.М. и др. Геологическая карта Русской платформы со снятым покровом мезозойских и кайнозойских отложений. Масштаб 1:2 500 000. М., 1959.

- В е й д е н б а у м М.А. Ярусы, зоны и петрографические горизонты коренных и постгнейтических напластований в пределах №1 листа общей геологической карты Европейской России. - Тр. Костр. научн. об-ва по изучен. местн. края, вып.36, Кострома, 1925.
- Г е о л о г и я С С С Р . Т. IУ, ч. I, М.-Л., 1948.
- Г е р а с и м о в П.А. Руководящие ископаемые мезозоя центральных областей европейской части СССР. М., 1955.
- Г и д р о л о г и ч е с к и й г е о л о г и ч е с к и й ежегодник 1960 г. Т. 4, вып. I-3, Л., 1963.
- Г о р д е е в Д.И. Основные элементы тектоники Ил. Изв. МГРГ, т.П., вып.3-4. М.-Л., 1934.
- Г о р д е е в Д.И. Подземные воды Ивановской и Ярославской областей. Гидрогеология СССР, вып.4, кн.2, М.-Л., 1941.
- Г о р с к и й И.И. О соляных источниках губерний Вологодской, Костромской, Ярославской, Нижегородской и Владимирской. Теол. ком. Мат-лы по общей и прикладной геологии, вып.26, Л., 1926.
- Д а н ъ ш и н Б.М. Геологическая карта СССР масштаба 1:1 000 000, лист 0-37 (Иваново). М., 1940.
- Д е в о н с к и е отложения центральных областей Русской платформы. Под ред. М.Ф.Филипповой. Л., 1958.
- Е р е м и н Г.Г. Некоторые данные по зависимости гидрологического режима верхней Волги от метеорологических элементов. - Изв. Костромск. научн. об-ва по изуч. местн. края, № 1. Кострома, 1930.
- Е ф р е м о в И.А. О развитии пермской фауны СССР и разделении континентальной перми на стратиграфические зоны. - Изв. АН СССР, отд. биологии. № 2, 1939.
- И в а н о в А.П. Геологическое описание фосфоритоносных отложений по рекам Нева, Желвата, Волте в пределах Костромской губ. и по р. Волте в пределах Тверской и Ярославской губ. - Тр. Комиссии сельскохоз. ин-та по иссл. фосфоритов, вып.Л., М., 1910-1913 гг.
- И г н а т ь е в В.И. Нижнетриасовые отложения бассейна р. Ветлуги. - ДАН СССР, т.106, № 1, 1956.
- И л ь х о в с к и й Р.А. О "зеленовских" песках и миоценовых отложениях Подмосковья. - Мат-лы по геол. и пол.иск. центр. р-нов европейской части СССР, вып.У, М., 1962.

ризонты коренных и постгнейтических напластований в пределах №1 листа общей геологической карты Европейской России. - Тр. Костр. научн. об-ва по изучен. местн. края, вып.36, Кострома, 1925.

В е й д е н б а у м М.А. Береговые обнажения р. Волги от устья р. Солоницы до с. Красные Помни. - Тр. Костр. научн. об-ва по изучен. местн. края, вып. XXXVI, Кострома, 1925.

Г е о л о г и я С С С Р . Т. IУ, ч. I, М.-Л., 1948.

Г е р а с и м о в П.А. Руководящие ископаемые мезозоя центральных областей европейской части СССР. М., 1955.

Г и д р о л о г и ч е с к и й г е о л о г и ч е с к и й ежегодник 1960 г. Т. 4, вып. I-3, Л., 1963.

Г о р д е е в Д.И. Основные элементы тектоники Ил. Изв. МГРГ, т.П., вып.3-4. М.-Л., 1934.

Г о р д е е в Д.И. Подземные воды Ивановской и Ярославской областей. Гидрогеология СССР, вып.4, кн.2, М.-Л., 1941.

Г о р с к и й И.И. О соляных источниках губерний Вологодской, Костромской, Ярославской, Нижегородской и Владимирской. Теол. ком. Мат-лы по общей и прикладной геологии, вып.26, Л., 1926.

Д а н ъ ш и н Б.М. Геологическая карта СССР масштаба 1:1 000 000, лист 0-37 (Иваново). М., 1940.

Д е в о н с к и е отложения центральных областей Русской платформы. Под ред. М.Ф.Филипповой. Л., 1958.

Е р е м и н Г.Г. Некоторые данные по зависимости гидрологического режима верхней Волги от метеорологических элементов. - Изв. Костромск. научн. об-ва по изуч. местн. края, № 1. Кострома, 1930.

Е ф р е м о в И.А. О развитии пермской фауны СССР и разделении континентальной перми на стратиграфические зоны. - Изв. АН СССР, отд. биологии. № 2, 1939.

И в а н о в А.П. Геологическое описание фосфоритоносных отложений по рекам Нева, Желвата, Волте в пределах Костромской губ. и по р. Волте в пределах Тверской и Ярославской губ. - Тр. Комиссии сельскохоз. ин-та по иссл. фосфоритов, вып.Л., М., 1910-1913 гг.

И г н а т ь е в В.И. Нижнетриасовые отложения бассейна р. Ветлуги. - ДАН СССР, т.106, № 1, 1956.

И л ь х о в с к и й Р.А. О "зеленовских" песках и миоценовых отложениях Подмосковья. - Мат-лы по геол. и пол.иск. центр. р-нов европейской части СССР, вып.У, М., 1962.

К а м е н н о у г о л ь н ы е отложения центральных областей Русской платформы. Пол. ред. Н.С. Ильиной. М.-Л., 1958.

К у н и В. Некоторые данные по санитарной характеристике водоснабжения г. Костромы. - Тр. Костр. научн. об-ва по изуч. местн. края, № 2-3. Кострома, 1930.

К у н и В. Литьевая вода г. Костромы. - Тр. Костр. научн. об-ва по изуч. местн. края, вып. XI. Кострома, 1919.

Л е в и н А.М. Курорт "Большие Соли". "Хозяйство ИГ", № I-2. Иланово-Вознесенск, 1931.

М а к а р о в а Т.В. Пермские отложения центральных областей Русской платформы. Под ред. В.И. Носаль. Л., 1957.

М а р к о в К.К. Положение границ ледникового покрова в европейской части СССР в последнюю (валдайскую) ледниковую эпоху. - Пробл. физ. географии, вып. 9, 1940.

М и л а п е в и ч К.С. Геологические исследования, проведенные летом 1878 г. в юго-западной части Костромской губернии. - Мат-лы для позн. геол. России. Т.Х, 1880.

М о с к в и т и н А.И. Вюрмская эпоха (неоплейстоцен) европейской части СССР. М., 1950.

М о с к в и т и н А.И. Молого-Шекснинское межледниковое озеро. - Тр. ин-та геол. наук АН СССР, вып. 88, теол. сер., № 26, 1947.

М о с к в и т и н А.И. Путеводитель экскурсий Советания по стратиграфии четвертичных отложений. М., 1954.

М о с к в и т и н А.И. Соотношение надпойменных террас р. Волги и древних трангрессий Каспия с оледенениями. - ДАН СССР, 1961.

Н е й ш т а д т М.И. История лесов и палеогеография СССР в голоцене. М., 1957.

Н е ч и т а й л о С.К. и др. Геологическое строение центральных областей Русской платформы в связи с оценкой перспектив их нефтегазоносности. Л., 1957.

Н и ж н е п а л е о з о о л и с т и к и е отложения центральных областей Русской платформы. Под ред. З.П. Ивановой. Л., 1957.

Н и к и т и н С.Н. Геологические наблюдения по линиям Ржев - Вязьма и Ярославль - Кострома. - Изв. Геол. ком., т.ХIII.

Протоколы. Слб., 1904.

Н и к и т и н С.Н. О водоснабжении г. Костромы. - Изв. Геол. ком., т.ХIII, № 3. Протоколы, стр. 17-18. Слб., 1904.

Н и к и т и н С.Н. Общая геологическая карта России, лист 56. - Тр. Геол. ком., т. I, № 2. Слб., 1884.

А к и м о в И.К. Технический проект организации водохранилища Горьковской ГЭС. Том I - Защита Костромской низины. 1952, ГИДРЭЛ.

А л ь т о в с к а я Е.Е., П у л ь х р и т у д о в а Е.М. Сводная гидрогеологическая карта СССР масштаба 1:500 000, лист 0-37 (Ярославль), М., 1959.

П о п о в В.В. Геологическое строение и гидрогеологические условия долины р.Волги от Ярославля до Костромы. Изв. Моск. геол. разн., треста, т.П., вып.3. М.-Л., 1934.

П ч е л и н Н.С. Отчет о поездке на минеральные воды "Большие Соли". "Курортно-санитарное дело", № 5, 1929.

С и н ц о в И.Ф. О буровых и коланных колодцах казенных винных складов. Колодцы Вологодской, Костромской и Ярославской губерний. Записки Минералогич. об-ва, т.XIV, вып.1, 1910.

С м и р н о в В. Пункты нахождения костей крупных ледниковых ископаемых в Костромской губернии. - Тр. Костромск. науч. об-ва по изуч. местн. края, вып.ХI. Кострома, 1919.

С о к о л о в Н.Н. О реандре Костромского Поволжья. - Тр. Института почв им.Докучаева, вып.3-4. М., 1930.

С о л о в ь е в В.К. К вопросу о стратиграфии нижнего триаса Поволжья. ДАН СССР, 1956, т.110, № 3.

С о м о в Е.И. Геологическое строение северной части Ярославской области. Общая геологическая карта европейской части СССР, лист 56. Вып.2. Восточная половина. М.-Л., 1939.

С о ш к и н а Е.Д., С а п р и к и н а Н.А. Очерк гидрогеологического строения Костромской низины и примыкающего к ней восточного водораздельного плато. - Тр. Костр. науч. об-ва по изуч. местного края, вып.36. Кострома, 1925.

Ш и к С.М. О самостоятельности московского оледенения. - ДАН СССР, 1957, т.117, № 2.

#### Ф о н д о в а я х /

А б р а м о в Г.В. и др. Отчет о работах геологосъемочной партии 1959 г. (южная часть листа 0-37-ХХIX) 1960. М., Центр-геология.

А б р а м о в Г.В. и др. Геологическое строение бассейнов верхних течений рек Лахости, Солоницы и Уводи. Отчет Ивановской геологосъемочной партии. Иваново, 1962. Сокзгеофонд, Центргеология.

Х/ Материалы, местонахождение которых не указано, хранятся в объединении Центргеология.

А к и м о в И.К. Технический проект организации водохранилища Горьковской ГЭС. Том I - Защита Костромской низины. 1952, ГИДРЭЛ.

Сводная гидрогеологическая карта, масштаб 1:500 000, лист 0-37-Г (Ярославль), М., 1948-1949. Сокзгеофонд, Центргеология.

Б и б и к о в а А.В. Гравиметрическая карта СССР масштаба 1:1 000 000, лист 0-37 (Ярославль). М., 1964. ВНИГИМ.

Б и р и н а Л.М. Обработка и обобщение материалов оторванных скважин Любимской, Шарьинской, а также разведочных скважин. М., 1954. ВНИГИМ.

Б л о м Г.И. Геологическое строение бассейна среднего течения р.Кобры (отчет о геологической съемке масштаба 1:200 000), Горький, 1954. Средне-Волжское геологическое управление.

Б л о м Г.И. Геологическое строение среднего течения р.Керженца (краткий отчет о геологической съемке масштаба 1:200 000). Горький, 1953, Средне-Волжское геологическое управление.

Б о л ь ш а к о в а П.А. и др. Государственная геологическая карта масштаба 1:200 000 (лист 0-37-ХХУ). М., 1963, Гидро-спецгеология.

Б о р о д я е в Г.Я. и С о к о л о в а Е.Е. Отчет о геологической съемке Ярославской партии в районе г.Ярославля. М., 1941. Сокзгеофонд.

Б о л . С о л и . М ., И н с т и т у т к у р о р о л о г и и , 1953.

В а с и л ь е в В.А. Отчет о результатах бурения структурно-картировочной скв.З-к в районе с.Мал.Соли Ярославской области. М., 1962. Центргеология.

В л а с о в а И.И., С о к о л о в В.Л. Отчет о работах опытной аэромагнитной партии 25/57 на листах 0-37, 0-38, 0-39, К-37, К-38, К-39, К-40, М-38, М-39, М-40, Л-36, Л-37. Ст.Поваровка, 1958. Сокзгеофонд.

В о л к о в К.Ю. и др. Отчет о результатах работ тематической партии по изучению нефтегазоносности территории ГУДР (постоянно на 1.Ул.1964 г.). М., 1964. Центргеология.

Г а т а л ь с к и й М.А. Гидрогеологические условия Ярославской, Костромской, Ивановской, Горьковской и Кировской областей РСФСР и прилегающих к ним районов, в связи с поисками нефти. М., 1950, ВНИГИМ.

Г а ф а р о в Р.А. Отчет об аэромагнитной съемке АТ в северной части Русской платформы за 1956 г. Л., 1956. Сокзгеофонд.

Гордеев Д.И. Заключение о возможности получения подземной воды в окрестностях ст. Бурмакино Сев.Д. 1934.

Гордеев Д.И. Карта коренных пород ИПО масштаба 1:420 000 и пояснительная записка к карте. Иваново, 1933. Центр-геология.

Гурич Н.П. Отчет о работе Ивановской гравиметрической партии 18/59 в Ивановской, Владимирской, Московской, Ярославской, Костромской областях. М., 1960. Союзгеофонд, Центр-геология.

Дежанова Ю.С. Отчет о работе центральной группы гравиметрических партий в 1958 г. в Ивановской, Владимирской и Горьковской областях. М., 1959. Союзгеофонд.

Добруцкая Н.А. и др. Стратиграфия палеозойских, мезозойских и кайнозойских отложений Костромского Полесья, Волго-Унинского междуречья и верховьев р. Ветлуги по данным микрофаунистического и спорово-пыльцевого анализа (отчет лингвостратиграфической партии за 1962-1964 гг.). М., 1964. Гидроспецгеология.

Донабедов А.Т. Региональная геофизика СССР, масштаб 1:1 000 000, лист 0-37. М., 1947. Союзгеофонд.

Евсеников А.И., Медем А.А., Кусало - в а. Н.И. Геологическое строение и гидрогеологические условия территории листа 0-37-ХШ (Отчет Нерехтской гидрогеологической партии). М., 1964. Гидроспецгеология, Союзгеофонд, Центр-геология.

Егоров В.Д. Отчет об электроразведке минеральных вод у с. Большой Соли Ивановской области. М., 1932. Центр-геология.

Еремина В.М. Отчет о результатах бурения Некрасовской параметрической скв. З-р в Некрасовском районе Ярославской области. М., 1965. Центр-геология.

Еремина В.М. Отчет о структурно-картировочном бурении по Некрасовской площади в 1964 г. М., 1965, Центр-геология.

Зандер В.Н. и др. Отчет об аэромагнитных работах в пределах центральной и западной части Русской платформы в 1959 г. Л., 1960. Союзгеофонд, Центр-геология.

Иванов П.Н., Велиская Е.П. Отчет о результатах рекогносировочных геодинамических работ МОВ на Большесольской площасти в 1964 г. (Центральная комплексная геофизическая экспедиция ГУГР). М., 1964, Центр-геология.

Ильина Н.С., Рухт Д.Я. Геологическое строение и перспективы нефтегазоносности центральных областей Русской платформы. Отчет по теме 600 за 1960-1963 гг. М., 1963, ВНИИГИ.

Кабанов О.М. и др. Отчет о работе Костромской гравиметрической партии в 1959 г. Л., 1960. Союзгеофонд.

Карпов П.А. Отчет о работе Любимской электроразведочной партии 16/51 в Ярославской, Вологодской и Костромской областях в 1951 г. М., 1952, Союзгеофонд, ВНИИГИ, Центр-геология.

Кашлачев А.И. Отчет по инженерно-геологической съемке г. Костромы и ее окрестностей. Иваново, 1932. Фонды Обзо.

Кибаль Л.Б. и др. Отчет о работах сейсморазведочной партии 1/61 по профилю Загорск - Мал. Соли. Карагта, 1962. Центр-геология, Союзгеофонд.

Кибаль Л.Б. и др. Отчет о работах сейсморазведочной партии 1/62 в Ярославской и Вологодской областях в 1962 г. М., 1963. Центр-геология, Союзгеофонд.

Лено Б.Д. Отчет об инженерно-геологических исследованиях по Туровскому створу на р. Волге (к схеме исследований Средней Волги). М., 1964, Союзгеофонд.

Пирогова Е.М. и др. Комплексная геологическая карта масштаба 1:500 000, лист 0-37-Г (Ярославль). М., 1947-1949. Центр-геология.

Писарева В.В. Интерстадиальные образования Московского оледенения и некоторые вопросы стратиграфии четвертичных отложений западной части Костромской области. М., 1963. Гидро-спецгеология.

Пребраженский Н.А. Материалы по соленым подземным водам Ивановской промышленной области. М., 1928. Центр-геология.

Родионов Н.В. Окончательный отчет о работах Плесского Костромской партии в долине р. Волги между г. Костромой и г. Плесом, в связи с проектируемой плотиной на р. Волге у г. Кинешма. М., 1932, Центр-геология.

Запада В.П. Геологическое строение Костромского Полесья на участке от с. Некрасовское до устья р. Кубань. М., 1952, Союзгеофонд, Центр-геология, ВНИИГИ.

Сущалин Н.В. и др. Условия создания подземных хранилищ газа по трассе газопровода Горький - Череповец на участке Иваново - Ярославль. М., 1964. Союзгеофонд, Сокобургаз.

Сутягин В.А. Отчет отряда картировочного бурения Верхне-Волжской экспедиции по работам 1951-1952 гг. в пределах Некрасовского и Бурмакинского районов Ярославской области, Нерехтского и Костромского районов Костромской области. М., 1952, Союзгеофонд, Центр-геология, ВНИИГИ.

## Приложение I

СИСТОМКА МАТЕРИАЛОВ, ИСПОЛЬЗОВАННЫХ ДЛЯ НАНЕСЕНИЯ ПОЛЕЗНЫХ ИСКОПАЕМЫХ НА ГЕОЛОГИЧЕСКУЮ КАРТУ ЛИСТА 0-37-ХIII

Троицкий В.Н. и др. Отчет о результатах работ геоматической партии ГГ/БГ по теме: Анализ и обобщение геофизических материалов по центральным районам Русской платформы. М., 1963. Центргеология.

Утехин Д.Н. и Яковлев М.И. Структурная карта европейской части СССР масштаба 1:1 000 000, лист 0-37 (Иваново). М., 1947. Совгегеолфонд, Центргеология.

Фрucht Д.Л. Геологическое строение Костромского Полога. Объяснительная записка к геологической карте масштаба 1:200 000. М., 1952. ВНИГИМ.

Фрucht Д.Л., Шебалин А.И. Объяснительная записка к сводной геологической и структурной карте масштаба 1:200 000 центральных областей Русской платформы. М., 1954. ВНИГИМ.

Хименков В.Г. Геологическое строение р. Волги от г. Рыбинска до г. Горького. М., 1947. Гидроэнергопроект.

Честиний Е.Г. и др. Отчет о результатах электроразведочных работ методом ГГ и ЗСМ, проведенных в Ярославской области в 1963 г. Центральная комплексная геофизическая экспедиция ГУГР, М., 1964. Центргеология.

Шмидт М.Г. Отчет о работе Ярославской сейсмической партии 3/51 в Некрасовском районе Ярославской области в 1951 г. М., 1962. ВНИГИМ.

Штильмарк В.В. и Гричук В.П. Геологические и гидрогеологические условия снабжения подземными водами г. Костромы. Отчет о работах Костромской гидрогеологической партии МГРГ в 1929—1931 гг. М., 1931. МГУ.

№/п	Фамилия и инициалы автора	Название работы	Год составления	Местонахождение материала и его фондовый или фондовый номер издачи
1	2	3	4	5
1	Варлаховский С.П.	Обзор минерально-сырьевых ресурсов Ярославского административно-экономического района на 01.01.58 г.	1958	Совгегеолфонд, 213330
2	Варлаховский С.П., Коваль А.С., Мотузко В.М.	Справочник минеральных ресурсов местных строительных материалов Ярославской области по состоянию на 01.01.59 г.	1960	Совгегеолфонд, 226616
3	Виноградов С.С.	Отчет о геологоразведочных работах на гравийном районе Д.Басово Борисоглебского района Ярославской области	1937	Центргеология, 3005
4	Громенко М.А.	Отчет о месторождении минеральных красок близ д. Акишино Нерехтинского района Ивановской области	1932	Центргеология, 1543
5	Гинзбург Б.Л.	Отчет о результатах геологоразведочных работ на Воробинском месторождении кварцевых песков	1962	Центргеология, 21682
6	Затрова Л.С.	Краткий обзор минерально-сырьевой базы Ярославской области и баланс запасов полезных ископаемых на 01.01.57 г.	1957	Совгегеолфонд, 203302

I	2	3	4	5
7	Зотраф Ю.К. и Быков В.В.	Из работ Геологической лаборатории Костромского Научного общества	1929	Архив Краеведческого музея г.Костромы То же
8	Зотраф Ю.К. и Быков В.В.	Результаты поискового обследования берегов р.Волги с целью выявления залежей известковых тuffов	1929	Месторождения стулинов
9	Иванов М.А.	Отчет о рекогносцировочном обследовании Верхнегородской Доловьбы на формово-ные пески	1946	Фонды МГУ
10	Ингертов А.В. и Ильина Н.С.	Отчет о выборочно-поисковой разведке гравия в Нерехтском районе Ярославской области	1937	Совгэолфонд
II	Ингертов А.В.	Отчет об эксплуатации и разведке гравия на двух участках карьера Каменка артели "Заветы Ильича" Ярославского областного строительства	1937	МГУ
12	Кашлачев А.И.	Отчет о разведке известковых тuffов под д.Холмеевой и с.Княгининским Нерехтского района	1930	МГУ
13	Киселева О.В., Фонтенелева Г.В.	Обзор минерально-сырьевых ресурсов Костромского административно-экономического района на 01.01.58 г.	1958	Совгэолфонд, 213331
14	Коган И.А.	Полезные ископаемые Костромской области (геолого-экономический обзор)	1957	Совгэолфонд, 203304

I	2	3	4	5
15	Кузнецова А.Ф.	Отчет о поисково-разведочных работах в Некрасовском районе Ярославской области и детальной разведке Красносельского месторождения стулинов	1955	Центргеология, 18474
16	Курочкин Н.П., Прядин А.А.	Отчет по геологоразведочным работам на строительные материалы для Средне-Костромского узла	1944	Центргеология, 9550
17	Ленский И.К.	Отчет о детальной разведке Липовицкого месторождения песков с целью строительства нового завода силикатных изделий для г.Ярославля	1956	Центргеология, 1992
18	Лукьянов В.Д., Кокина З.Д.	Отчет о поисковой разведке на гравий в Костромской области	1950	Совгэолфонд, 150914
19	Огинский И.М.	Отчет о геологоразведочных работах на Бурманниковом месторождении суплинков в Ярославской области	1955	Центргеология, 19117
20	Павлычев В.А.	Отчет о поисках гравийно-валунного материала в Судиславском, Красносельском и Нерехтском районах Костромской области в 1955-1956 гг.	1956	Центргеология
21	Родионов Н.В.	Основательный отчет о работах Целиско-Костромской партии в долине р.Волги между Костромой и Плесом в связи с преграждением плотиной на р.Волге у Кинешмы	1932	МГУ

1	2	3	4	5
---	---	---	---	---

22 Страхов Отчет о геологической ре- 1941

когносировке на доломи-  
ты, балластные пески и  
гравий в районе Ярослав-  
ской жел. дороги

23 Титин В.А. Отчет о разведке Орлов-  
ского месторождения си-  
ликатных песков

24 Титов В.Г. Отчет по разведкам и по-  
искам гравия в Нерехт-  
ском районе Ивановской  
области

1947 Центргео-  
логия,  
11333

1933 Центргеоло-  
гия,  
522

1941 Центргео-  
логия,  
11333

№ по кар- те	Индекс клетки на карте	Наименование месторождения и вид полез- ного ископае- мого	Состояние эксплуата- ции	Тип ме- сторож- дения (К – корен- ное, р – российское)	№ ис- поль- зован- ного мате- риала по списку	
1	2	3	4	5	6	7

#### ГОРНЫЕ ИСКОПАЕМЫЕ

#### Твердые горючие ископаемые

Торф  
Св.нет  
К 26

Большое болото  
Не эксп-  
луатиру-  
ется  
Св.нет  
К 25

Борок  
То же  
" К 26

Дормачиха  
Заболотское  
озеро  
" К 26

Золотое  
Заполот  
" К 26

Зимнее  
Промышлен-  
ность разрабата-  
валось в  
1947–  
1958 гг.

II-2  
III-2  
III-2

Козлы  
Косманино  
Св.нет  
Разрабата-  
ется с  
1907 г. по  
настоящее  
время

Список промышленных месторождений полезных ископаемых,  
показанных на листе 0-37-ХХ Геологической карты  
МАСШТАБА 1:200 000

1	2	3	4	5	6	7
8	I-4	Краснодарское	Св.нет	К	25	
49	III-4	Кубанское	Разрабатывается местными организациями	К	25	
27	III-1	Лялинское	Разрабатывается Ярославским СНХ	К	26	
9	II-2	Матвеевское озерко	Не эксплуатируется	К	26	
5	I-2	Модловское	Не эксплуатируется, в основном выработано и подотплено	К	26	
64	IV-3	Панинская дача	Не эксплуатируется	К	25	
65	IV-3	Ново-Деревенская роща	То же	К	25	
39	III-2	Лиски	Св.нет	К	26	
41	III-3	Степаны	Св.нет	К	26	
61	IV-3	Стоянковское	Выработано Костромским СНХ в 1928 г.	К	25	
50	III-4	Сухоноговское	Разрабатывается Костромским СНХ с 1916 г.	К	25	
51	III-4	Торинское	Не эксплуатируется	К	25	
40	III-2	Черговье	То же	К	26	

СТРОИТЕЛЬНЫЕ И ОГНЕПОРНЫЕ МАТЕРИАЛЫ

Глинистые породы

Глины и суглинки кирпичные

Эксплуатируются кирпичным заводом Упрпромстром Костромского СНХ

Запасы  
1964 тыс.м<sup>3</sup>

1	2	3	4	5	6	7
56	IV-2	Бурмакинское	Эксплуатируется Бурмакинским кирпичным заводом	К	26,1 19,1	Запасы 364 тыс.м <sup>3</sup>
23а	II-4	Жутелевское	Св.нет	К	21, 14	Св.нет
63	IV-3	Кокоскинское	Эксплуатируется с 1935 г. промышленностью "Завет Ильича"	К	13, 14	Запасы 586 тыс.м <sup>3</sup>
52	III-4	Коркинское	Не эксплуатируется	К		
47	III-3	Косынинское (Зоринский участок)	То же	К	14	Запасы 2045 тыс.м <sup>3</sup>
37	III-2	Костромское (Трудовая слобода)	Эксплуатируется кирпичным заводом Костромского СНХ	К	12, 13	Запасы 720 тыс.м <sup>3</sup>
57	IV-2	Кувакинское	Не эксплуатируется	К	1,2, 6,15	Запасы 431 тыс.м <sup>3</sup>
55	IV-1	Орлицы	Не эксплуатируется	К	2	Запасы 46 тыс.м <sup>3</sup>
1	I-1	Островосовское	То же	К	2	Подсчет запасов не производился
19	II-4	Карьер завода "Рабочий металлист"	Эксплуатируется заводом "Рабочий металлист"	К	1,2	Запасы 226 тыс.м <sup>3</sup>
75	IV-4	Арменское	Кирпичным заводом Упрпромстром Костромского СНХ	К	14	Глина используется заводом "Рабочий металлист" для формовочных и стержневых смесей

1	2	3	4	5	6	7
20	П-4	Селишенское	Не эксплуатируется	К 14	Запасы 143 тыс.м <sup>3</sup>	
3	I-1	Фатьяновское	Не эксплуатирует- ся, ранее разра- батывалось с 1929 г.	К 2	Запасы 400 тыс.м <sup>3</sup>	
			0 б л о м о ч н ы е    п о р о д ы			
73	IY-4	Арменское	Галечник и гравий			
			Эксплуатируется местным населени- ем	К II, I0, I4	Запасы – св.нет	
II	П-2	Басовское гра- вийное	Эксплуатируется Ярославским обл- промсоветом	К 1,2, 3,6	Запасы 406 тыс.м <sup>3</sup>	
12	П-2	Басовское пес- чаное	Св.нет	K 2	Запасы спи- саны с ба- ланса	
7	I-4	Болтановское	Эксплуатируется местными органи- зациями	K 18	Запасы 4713 тыс.м <sup>3</sup>	
I3	П-2	Большеольское	То же	K 1,2, 6,24	Запасы 214 тыс.м <sup>3</sup>	
44	Ш-3	Высоковское	Св.нет	K 27	Запасы 2846 тыс.м <sup>3</sup>	
46	Ш-3	Горки	Эксплуатируется местными органи- зациями	K 27	Запасы – св.нет	
2	I-I	Логадьевское	Не эксплуатируется	K 6,16	Запасы – св.нет	
70	IY-4	Луновское	То же	K 27	Запасы 3008 тыс.м <sup>3</sup>	
22	П-4	Мельниковское	"	K 18	Запасы 30 тыс.м <sup>3</sup>	

1	2	3	4	5	6	7
16	П-3	Лагерное	Не эксплуатируется	K 2	Запасы 157 тыс.м <sup>3</sup>	
43	Ш-3	Лялинское	То же	K 2	Запасы 381 тыс.м <sup>3</sup>	
36	Ш-2	Малые Соли	"	K 1,2,	Запасы 6,24	
72	IY-4	Мелеховское	"	K 20,	Запасы 869 тыс.м <sup>3</sup>	
				K 14	Запасы 142 тыс.м <sup>3</sup>	
62	IY-3	Нерехтское I	Не эксплуатируется	K 10,	Запасы – св.нет	
42	Ш-3	Осинниковое	To же	K 2	Запасы 452 тыс.м <sup>3</sup>	
67	IY-3	Пироговское	Не эксплуатируется местным населени- ем	K 10,	Запасы 240 тыс.м <sup>3</sup>	
				K 14,	Запасы 22,	
				K 24	Запасы 26 тыс.м <sup>3</sup>	
48	Ш-3	Путятинское	Не эксплуатируется	K 22	Запасы 6281 тыс.м <sup>3</sup>	
				K 18	Запасы – св.нет	
				K 2	Запасы 10632 тыс.м <sup>3</sup>	
				K 2	Запасы 6481 тыс.м <sup>3</sup>	
				K 2	Запасы 362 тыс.м <sup>3</sup>	
				K 2,24	Запасы 52 тыс.м <sup>3</sup>	

СИСТОМЫ НЕПРОМЫШЛЕННЫХ МЕСТОРОЖДЕНИЙ ПОЛЕЗНЫХ ИСКОПАЕМЫХ,  
ПОКАЗАННЫХ НА ЛИСТЕ 0-37-XX ГЕОЛОГИЧЕСКОЙ КАРТЫ  
МАСШТАБА 1:200 000

I	2	3	4	5	6	7
59	IV-3	Якушевское	Эксплуатируется местным населением	10,14	Запасы не подсчитаны	
58	IV-3	Бекневский карьер	Песок строительный	Не эксплуатируется	K	27
21	II-4	Говядиновское	Эксплуатируется заводом силикатных изделий Костромского СНК	Эксплуатируется	K	14,13
23	II-4	Каримовское	Эксплуатируется	To же	K	2
28	III-1	Липовецкое	Не эксплуатируется	To же	K	17
30	III-1	Орловское	Песок формовочный	Не эксплуатируется	K	23, I,
						2,6
18	II-4	Костромское (карьер завода "Рабочий металлист" с 1942 г.)	Эксплуатируется заводом "Рабочий металлист" с 1942 г.	Не эксплуатируется	K	9,14
32	III-1	Воробинское				
<b>П р о ч и е п о р о д ы</b>						
			<b>Минеральные краски</b>			
54	IV-1	Акишинское	Не эксплуатируется	K	2,4,5	Запасы
						9 тыс.м <sup>3</sup>
29	II-1	Тундровское (Брюховское)	To же	K	2	Запасы
						29 тыс.м <sup>3</sup>

В фронтре прошумеровано 148 стр.

Редактор Н.С.Михеенкова

Технический редактор С.К.Леонова

Корректор Т.А.Ушакова

Сдано в печать 18.10.84.

Подписано к печати 12.12.86.

Тираж 198 экз.

Формат 60х90/16

Печ.л.9,25

Заказ 359 с

Центральное специализированное  
производственное хозрасчетное предприятие  
объединения "Совзагеомонд"